

「A64FXシステム アプリ性能検証WG」 活動報告

片桐孝洋
名古屋大学情報基盤センター

科学技術計算分科会 2022年度会合
「富岳」NEXTへの挑戦～現在から未来へ～
2023年1月20日(金) 分科会、神戸国際会議場
11:25-12:15 (講演 40分, Q&A 10分)

発表内容

- A64FXシステムアプリ性能検討WGの
ご紹介
- 活動事例
- おわりに

発表内容

- A64FXシステムアプリ性能検討WGのご紹介
- 活動事例
- おわりに

活動方針

- スーパーコンピュータ「富岳」が本格運用に迫り、多種のスーパーコンピュータがメニーコアCPUを採用しメニーコア時代に突入している。
- アプリ研究開発者にとっては、いまだに大規模コアの有効利用には様々な困難が伴う。
- その問題解決のためには、コンパイラ等のシステムソフトウェアと協調して性能最適化を行う知識と技術が利用者に求められるほか、システムソフトウェア自体の自動性能チューニングも必要である。
- そこで本WGでは、A64FXのARMプロセッサ環境を対象に、コンパイラ、メッセージ通信ライブラリ、性能解析ツール等の改善点について議論し、そのノウハウの集約と共有を行う。

活動内容

- 以下の3段階に分けて、2年間のWG活動を実施
- 前半3～4回で、A64FXを対象として、**メニーコアプロセッサの性能評価**や**システムソフトウェア改善について議論**する。具体的には、推進委員が所有するアプリケーション等を中心に、現在のA64FXシステムの問題点を洗い出す。また、新しいアプリケーション分野（例えばAI）についても検討する。
- 中盤3～4回で、前半で洗い出された問題点を考慮し、**富士通が提供するコンパイラ等の問題点・課題点に対して評価検討**を行う。最終的には、現存するA64FXシステムのための利用者マニュアル、コンパイラ機能を含めた改善について検討する。
- 後半2回で、**取りまとめた結果を成果物としてまとめ**、2022年度SS研科学技術分科会のイベントにて成果報告を実施
- 成果物として、「**利用者視点によるコンパイラ機能改善**」、「**A64FXプロセッサの利用技術**」等を想定
- 活動の進め方
 - 活動期間：2020年11月～2022年10月
 - 会合開催：年4～5回、計10回

構成員

- 高木亮治 (JAXA) 担当幹事
- 片桐孝洋 (名大) *まとめ役
- 熊畠清(JAXA)、小野先生(九大)、藤田航平(東大地震研)、梅田隆行(名大 宇地研)、前山伸也(名大 プラズマ理論)、小野寺直幸(原子力研)、黒田明義(理研)、望月祐志(立教大学)
- [富士通]井上晃(Uvance Core Technology本部) *まとめ役、
- 山中栄次(UX & FXシステム事業部)、石井邦憲(同左)、原口正寿(同左)、渡邊雄二(同左)、渡辺健介(同左)、内海裕一郎(同左)、野瀬貴史(同左)、後藤理恵(同左)、斎藤佑馬(同左)、鎌塚俊(未来社会&テクノロジ本部)、柴田純(同左)、川島崇裕(同左)、向井優太(同左)、小山謙太郎(同左)、松井秀司(官庁六事)、稻荷智英(同左)、高科勝俊(同左)、笠井良浩(同左)、福本尚人(富士通研究所)、川上健太郎(同左)
- [SS研事務局] 小野寺啓之、松本孝之、棚橋修一、犬束英輔

成果物



A64FXシステムアプリ性能検討WG

FUJITSU
shaping tomorrow with you

A64FXプログラミングガイド 入門編

2022年10月
富士通株式会社

Copyright 2022 FUJITSU LIMITED



目次

FUJITSU

- [A64FX Processor](#)
 - [A64FX Processor Overview](#)
 - [A64FX Processor Specifications](#)
 - [Clock Cycles](#)
 - [High-Speed String \(zfill\)](#)
 - [Power Management](#)
- [A64FX Programming Environment](#)
 - [Programming Environment Overview](#)
 - [C/C++ trad Mode and clang Mode](#)
 - [Two OpenMP Libraries](#)
 - [Compiler Options](#)
 - [Compatibility between Fujitsu and Other Compilers](#)
 - [Migration from Previous Systems](#)
 - [Compiler Runtime Library Main Entrypoints](#)
 - [Fortran Timer Support](#)
 - [Fortran, C/C++ trad Mode Debugging Functions](#)
 - [Rage Page](#)
 - [CPU Performance Analysis Report for Tuning](#)

Copyright 2022 FUJITSU LIMITED

発表内容

- A64FXシステムアプリ性能検討WGのご紹介
- **活動事例**
- おわりに

事例の紹介

- ・全ての事例は時間的に紹介できないので、発表者（片桐）の主観で選んだ、事例を紹介
- ・問答形式
 - ・アプリ開発者による問題提起
 - ・富士通のグループによる調査結果提示

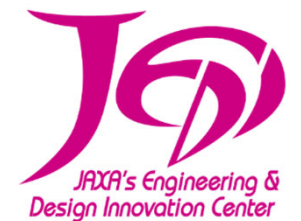
事例)

小回転ループで
性能低下の可能性

乱流燃焼コード LS-FLOW HO (LSHO) 性能改善調査



JAXA 研究開発部門 第三研究ユニット
熊畠 清

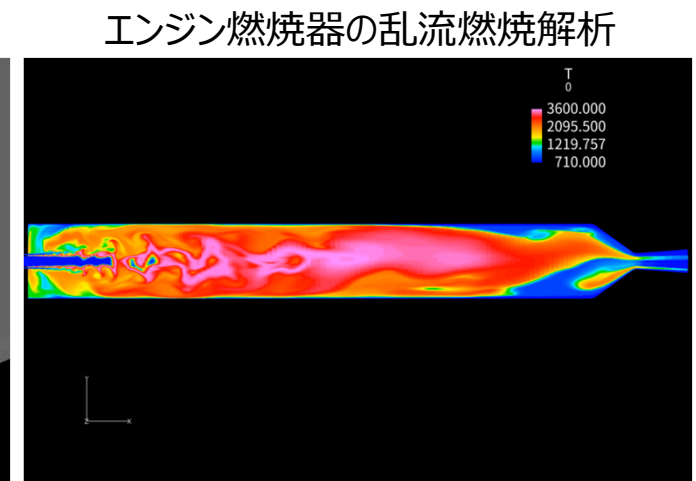
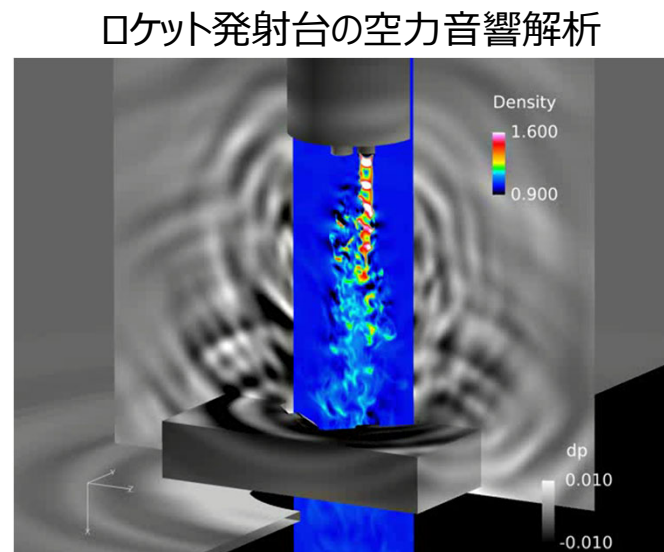


2021.3.25(Thu)

Scientific System研究会 第3回 A64FXシステムアプリ性能検討WG

- アプリ概要
 - LS-FLOW-HO
 - Flux Reconstruction Method
- 性能について直面した問題
 1. 配列代入
 2. スレッド間のインバランス
 3. インライン展開
 4. 重複した処理
- 性能の観点から見た、今後検討するべき点

- JAXA 研究開発部門 第三研究ユニットで開発している高次精度の流体・燃焼解析ソルバー[1]
- 有限体積法に基づき、高次精度を達成するため Flux-Reconstructionメソッド[2][3]を採用
 - セルは次数に応じた数の内点(SP)と境界面での点(FP)を持つ
 - セル内SPの情報からセル内局所Fluxを求め、セル間で連続するように修正(Reconstruction)

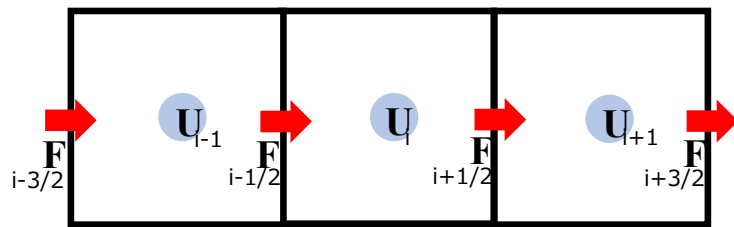


- [1] Y.Abe et.al, 2018, Stable, non-dissipative, and conservative flux-reconstruction schemes in split forms.
 [2] H.T.Huynh, 2007, A flux reconstruction approach to high-order schemes including discontinuous Galerkin methods.
 [3] H.T.Huynh, 2009, A reconstruction approach to high-order schemes including discontinuous Galerkin for Diffusion.

並列数の実績は～1000ノードで完走。2880ノードで現在確認中
ただし本日の内容は全て単体性能の話です

有限体積法

空間をメッシュ化し複数のセル(あるいは
Control Volume: CVと呼称)に分割.

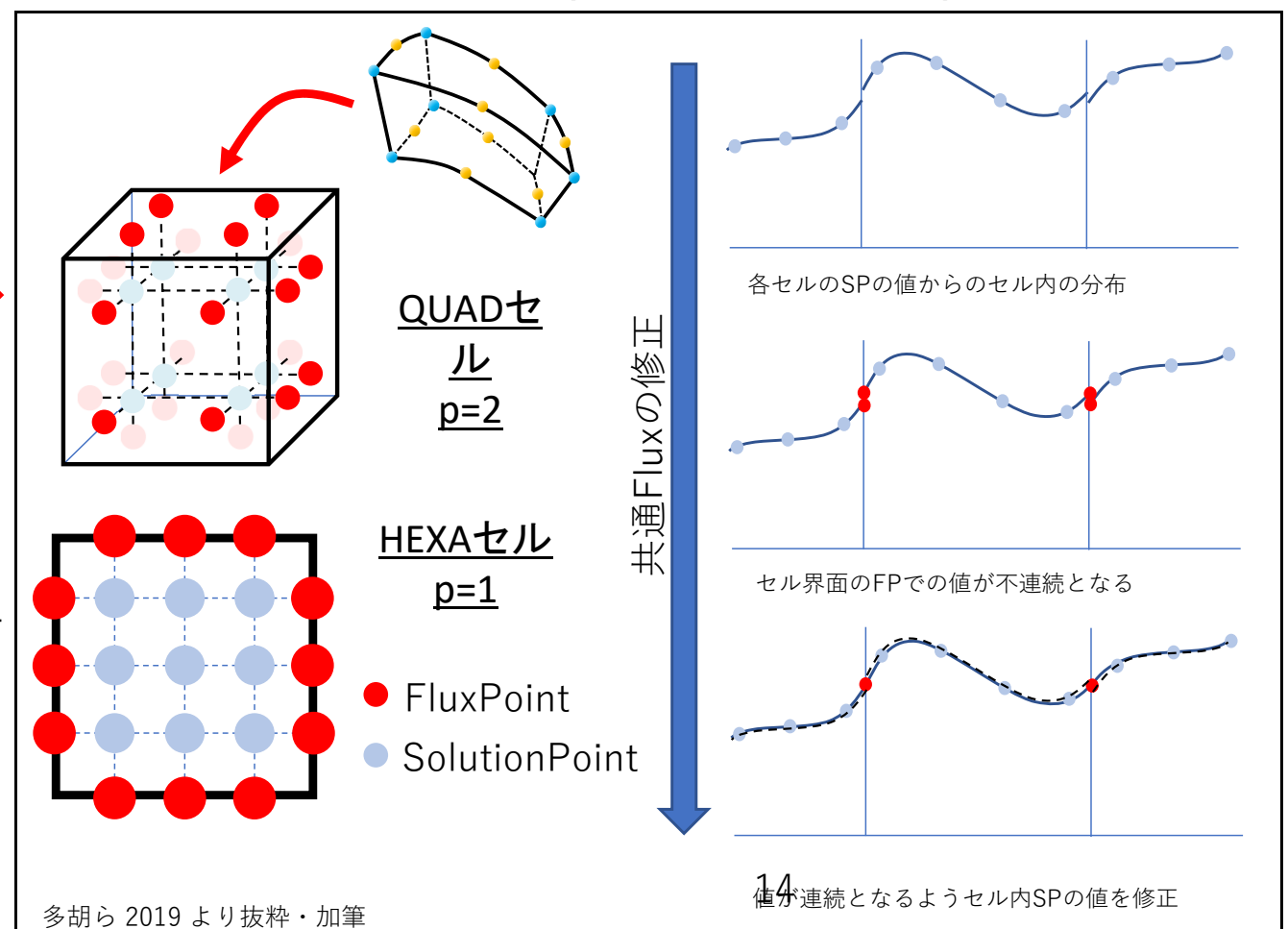


$$\frac{\partial U}{\partial t} + \frac{\partial F}{\partial x} = 0$$

セル中心の物理量 U を、セル界面を出入りする量 F (Flux)との釣り合い式に基づいて計算する

いかにしてセル境界面でのフラックスを精度良く求めるかが重要となる

Flux Reconstruction Method (有限要素法っぽさもある)



性能について直面した問題 1

配列代入

コンパイラが複数の配列代入をまとめてしまい
レジスタ不足となりスピルで速度低下している
ケース

fippの結果に見られるRiemannFluxSimpleの謎

JSS3 (A64FX, frtpx) 2.2GHz 12スレッド	手手続き	開始行	終了行	コスト	コスト %
	riemannfluxsimple_	1112	1226	12244	17.5882
	computetemperature_sp_eb_OMP_2_	2907	2970	6288	9.0474
	residualcorrection_OMP_1_	1957	2115	4956	7.1308
	residualfacegradient.OMP_2_	2564	2706	4008	5.7668
	residualself_ns2_fc_OMP_1_	4587	4871	3636	5.2316
	computegradcomspace_br1_OMP_1_	7250	7400	3312	4.7654
	residualself_euler_div_OMP_1_	420	660	3193	4.5942
	Cal_aCoefficient_SRK			2459	3.5381
	Cal_dadT_SRK			2199	3.164
	ComputeTransProp_Chung			2115	3.0431
	Cal_departureFunction_SRK			2036	2.9295
	ComputeTransProp_Chung			1590	2.2877
	riemannfluxsimple_PRL_1_	1140	1150	1394	2.0057
	residualfacecommon_ns_fc_lad_OMP_1_	2778	2950	1368	1.9683
	hllcflux_prim_pev_	1364	1538	1537	1.9525
	thermalprop_sp_fc_OMP_2_	3669	3735	1139	1.6388
	Spc_Hppp_Cal			1004	1.4446
	computegradcomspace_OMP_1_	7154	7212	935	1.3453
	residualreconst_temperature_OMP_1_	579	633	912	1.3122
	Spc_Cppp_Cal			778	1.1194
	newtonlter4T_SRK			705	1.0144
	Cal_omegaFunction_SRK			678	0.0755

fippのApplication Procedureでのコスト1%以上の区間

RiemannFluxSimpleが全体の17%のコスト
12244を占めている
と出ている

プロファイラ fippによるコスト分布
サブルーチン単位ではなく、手続き単位

※手続き
ループなり関数呼び出しといったコンパイラ
が認識する処理の単位

1. RiemannFluxSimple内のループではない部分で高コスト
2. コスト1%以上のものを合計しても82%にしかならない(支配的なものがない)
3. インライン展開されているものが多い

タイマー※を挿入して測定を試みた

RiemannFluxSimpleを呼び出す側ループ

```
ResidualSelfCommon
```

```
!$omp parallel default (none)           タイマー
!$omp private(ff, j, k, ip) &          range1
!$omp shared(ct, pt, ho, nfp)
!$omp do
do ff=1 ho%gd%nTFace
    call RiemannFluxSimple(pr, ho, nfp, ff) range2 range3
    サブルーチンを呼んでから戻ってくるまで
Enddo
 !$omp end do
 !$omp end parallel
```

当該ルーチンRiemannFluxSimple

```
RiemannFluxSimple
```

```
subroutine RiemannFluxSimple( . . . ) range3
    use param_mod
    use ho_mod
    use common_mod
    implicit none
    type (PARAM), intent(in) :: pr
    . . .
    real(8) snd_spd_l(nfp)
    real(8) snd_spd_r(nfp)
    . . .

    ul() = ho%uuf(:,1,ff)
    ur() = ho%uuf(:,2,ff)
    . . .
```

※omp_get_wtimeによる測定

RiemannFluxSimple内のタイマー区間

```
subroutine RiemannFluxSimple( . . . ) range3
  use param_mod
  use ho_mod
  use common_mod
  implicit none
  yype (PARAM), intent(in) :: pr
  . .
  real(8) snd_spd_l(nfp)
  real(8) snd_spd_r(nfp)
  . .

  ul() = ho%uuf(:,1,ff) range4
  ur() = ho%uuf(:,2,ff)

  snd_spd_l(:) = ho%SndSpdf(:,1,ff)
  snd_spd_r(:) = ho%SndSpf(:,2,ff) range6
  do j=1, nfp
    enthalpy_r(j) = ho%uuf(j*nv,1,ff)
    enthalpy_l(j) = ho%uuf(j*nv,2,ff)
  enddo range7
  fna(:,:,:) = ho%fnal(:,:,:,ff) range8
```

```
if(pr%calorically_pfct .eq. 1) then
  RusanovFlux_Prim, RoeFlux_Prim,
  RoeFlux_entropyfix_Prim,
  SLAUFluxPrim等を呼び分ける range9
else
  RusanovFlux_Prim, RoeFlux_Prim,
  RoeFlux_entropyfix_Prim,
  SLAUFlux_Prim_PEV, SHUSFlux_Prim_PEV,
  KepFlux_Prim_PEV, HLLCFlux_Prm_PEV
  等を呼び分ける
endif
ho%fcom(:,ff) = fn(:) range10
end subroutine RiemannFluxSimple
```

range11 = range7+range8+range9+range10

↓ 続く

RiemannFluxSimple周辺にタイマーを挿入して実行すると、速くなった!

メインループ(時間発展ループ)の実行時間がタイマーを入れないと58秒、入れると48秒程度になっている

↓

タイマーの各区間の、有効/無効を変えて調査すると、range5/6へのタイマーの有無でRiemannFluxSimpleの速度が変わる

case	stdout	range1	range2	range3	range4	range5	range6	range7	range8	range9	range10	range11
no31	57.5	12.9	12.8	0.118	12.4			1.08	0.144	1.21	0.221	2.96
no32	47.6	2.94	2.81	0.11	2.41	0.115		0.106	0.104	1.2	0.189	1.91
no33	47.7	3.11	2.99	0.109	2.59	0.113	0.103	0.106	0.104	1.2	0.19	1.91
no34	47.6	2.94	2.81	0.109	2.41		0.106	0.106	0.104	1.2	0.19	1.91

メインループ

ということでrange5/6が怪しい

↓

当該部分のコンパイルリスト(*lst)を確認したが差がない

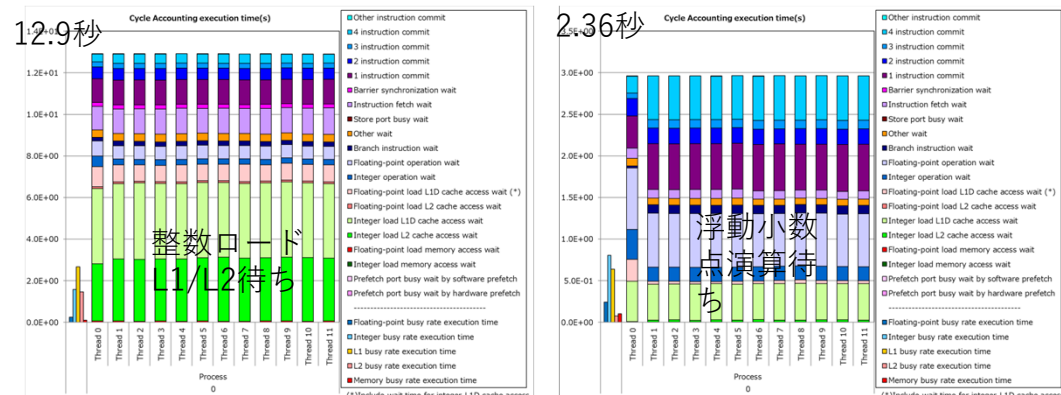
コンパイルリスト (*.lstファイル)からのj情報
889回転以上で並列
8SIMD
SWP(IPC=3.0, ITR=80, MVE=5, POL=S)
PREFETCH(HARD) ur, ul

range5/6共に、タイマーの入れ方を変えてもコンパイルリストは変化しなかった

```
jwd5003p-i "RiemannFluxSimple.F90", line 47: Array description is parallelized.  
jwd6003s-i "RiemannFluxSimple.F90", line 47: SIMD conversion is applied to array description.  
jwd8204o-i "RiemannFluxSimple.F90", line 47: This loop is software pipelined.  
jwd8205o-i "RiemannFluxSimple.F90", line 47: The software-pipelined loop is chosen at run time  
when the iteration count is greater than or equal to 80.
```

range1(RiemannFluxSimpleを呼んでから返ってくるまでの区間)をFAPP 17回採取で測定

	遅いケース	速いケース
実行時間	12.9秒	2.96秒
浮動小数点演算数	2.60E+11	2.61E+11
L1ミス率が頻発	している	していない
L1DTLBミスが頻発	している	していない
実行中の目立つ時間	整数ロードL1アクセス待ち 整数ロードL2アクセス待ち	支配的なものはなし 強いて言えば浮動小数点演算待ち
命令コミット時間合計	2.34秒	1.3秒
有効総命令	1.27E+11	8.47E+11
Fill命令	7.18E+8	1.76E+5
DCZVA命令	1.16E+8	2.88E+4



コンパイルリストは同一だったが、やはりコンパイラが出している命令が違う？
 ↓
 コンパイラのアセンブラー出力を確認してみた

```

.L695:
    .loc 1 47 0
..LDL5:
/* ??? */ ldr x0, [x19, 40] // (*)
    .loc 1 43 0
..LDL6:
/* 43 */ mov x1, 0
    .loc 1 47 0
..LDL7:
/* 47 */ ldr x7, [x0, 7664] // "ho"
/* 47 */ ldr x3, [x0, 7616] // "ho"
/* 47 */ ldr x2, [x0, 7648] // "ho"
/* 47 */ ldr x28, [x0, 7632] // "ho"
/* 47 */ ldr x25, [x0, 7560] // "ho"
    .loc 1 63 0 is_stmt 0
..LDL8:
/* 63 */ ldr x4, [x0, 30648] // "ho"
/* 63 */ ldr x8, [x0, 30632] // "ho"
/* 63 */ ldr x5, [x0, 30600] // "ho"
    .loc 1 47 0
..LDL9:
/* ??? */ str x3, [x19, 24] // (*)
    .loc 1 63 0
..LDL10:
/* 63 */ ldr x3, [x0, 30616] // "ho"
/* 63 */ ldr x0, [x0, 30544] // "ho"
    .loc 1 47 0
..LDL11:
/* 47 */ mul x26, x7, x2
    .loc 1 43 0 is_stmt 1
..LDL12:
/* 43 */ adrp x2, riemannfluxsimple._PRL_1_
/* 43 */ add x2, x2, :lo12:riemannfluxsimple._PRL_1_
    .loc 1 47 0
..LDL13:
    .loc 1 63 0 is_stmt 0
..LDL14:
/* 63 */ mul x8, x4, x8

```

遅い方(range5/6タイマー無し)

ソース47行
ul(:)=ho%uuf(:,1,ff)
関係の処理

ソース63行
snd_spd_l(:)=ho%SndSpdf(:,1,ff)
関係の処理

47行の処理の途上で
63行の処理が始まっている
混ざっている

長いので以下略

```

.L735:
    .loc 1 47 0
..LDL6:
/* 47 */ ldr x0, [x21, 7664] // "ho"
/* 47 */ ldr x1, [x21, 7648] // "ho"
/* 47 */ cmp x28, 0
/* 47 */ ldr x25, [x21, 7560] // "ho"
/* 47 */ ldr x2, [x21, 7616] // "ho"
/* 47 */ ldr x26, [x21, 7632] // "ho"
/* 47 */ mul x1, x0, x1
/* 47 */ mul x0, x0, x22
/* ??? */ stp x1, x2, [x19, 40] // (*)
/* 47 */ sub x1, x2, 1
/* ??? */ str x1, [x19, 32] // (*)
    .loc 1 48 0 is_stmt 0
..LDL7:
/* 48 */ sub x1, x2, 2
/* 48 */ msub x1, x1, x26, x25
    .loc 1 47 0
..LDL8:
/* ??? */ str x0, [x19, 16] // (*)
/* ??? */ ldp x0, x2, [x19, 32] // (*)
    .loc 1 48 0
..LDL9:
/* 48 */ sub x20, x1, x2
    .loc 1 47 0
..LDL10:
/* 47 */ madd x0, x0, x26, x2
/* 47 */ sub x5, x25, x0
/* 47 */ ble .L745
/* 47 */ cmp x28, 889
/* 47 */ bge .L744
/* ??? */ ldr x1, [x19, 8] // (*)
/* 47 */ ptrue p0.d, ALL
/* 47 */ asr x0, x1, 2
/* 47 */ add x0, x1, x0, lsr #61
/* 47 */ asr x9, x0, 3
/* 47 */ lsl x8, x9, 3

```

速い方(range5/6タイマー有)

ソース47行の処理が
集中して配置されている

47行の処理と
63行の処理は
分かれている

長いので以下略

前提) 配列代入は、コンパイラによりループとして扱われる

推定) コンパイルリストでは、range5/6は別々に扱っているように出ているが、遅い方(オリジナル)では、一つにまとめられており、47行の処理と63行の処理が同時に扱われループボディが長くなりスピルが多発している？

速い方では、range5と6の間にタイマー用のサブルーチンコールが入るため、それぞれ別々に扱われ小さなループになっており、スピルしない？

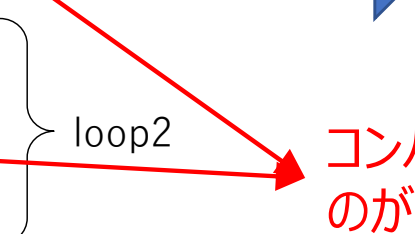
コンパイルリストではこんな風に思えるが

```
889回転以上で並列
8SIMD
SWP(IPC=3.0, ITR=80, MVE=5, POL=S)
PREFETCH(HARD) ur, ul

ul(:) = ho%uuf(:,1,ff)
ur(:) = ho%uuf(:,2,ff)
```

```
889回転以上で並列
8SIMD
SWP(IPC=3.0, ITR=80, MVE=5, POL=S)
PREFETCH(HARD) ur, ul

snd_spd_l(:)=ho%Spdf(:,1,ff)
snd_spd_r(:)=ho%Spref(:,2,ff)
```



実際にはこうコンパイルされている

```
889回転以上で並列
8SIMD
SWP(IPC=3.0, ITR=80, MVE=5, POL=S)
PREFETCH(HARD) ur, ul
```

```
ul(:) = ho%uuf(:,1,ff)
ur(:) = ho%uuf(:,2,ff)
snd_spd_l(:) = ho%Spdf(:,1,ff)
snd_spd_r(:) = ho%Spref(:,2,ff)
```

コンパイルリストが同じになっている
のがヒントか？

```
range5
real(8) ul(nv*nfp)
real(8) ur(nv*nfp)

ul(:) = ho%uuf(:,1,ff)
ur(:) = ho%uuf(:,2,ff)

k=nv*nfp ループで実装
do j=1,k
    ul(j) = ho%uuf(j,1,ff)
    ur(j) = ho%uuf(j,2,ff)
enddo
```

```
range6
real(8) snd_spd_l(nfp)
real(8) snd_spd_r(nfp)

snd_spd_l(:) = ho%SndSpdf(:,1,ff)
snd_spd_r(:) = ho%SndSpdf(:,2,ff)

do j=1,nfp ループで実装
    snd_spd_l(j) = ho%SndSpdf(j,1,ff)
    snd_spd_r(j) = ho%SndSpdf(j,2,ff)
enddo
```

range1(RiemannFluxSimpleを呼んでいる時間の合計)は13秒→3秒
 メインループ(時間発展ループ)の時間が上記改変で58秒→47秒

要するにrange5とrange6が別とコンパイラに認識されれば良いので
 他にも方法はあると思う

性能について直面した問題 2

スレッド間のインバランス

収束計算から抜ける反復計算が
スレッド毎に異なりスレッド間インバランスが
出ているケース

fippの結果に見られるコスト2番目の区間

JSS3 (A64FX, frtpx) 2.2GHz 12スレッド	手手続き	開始行	終了行	コスト	コスト%
riemannfluxsimple_		1112	1226	12244	17.5882
computetemperature_sp_eb_OMP_2_		2907	2970	6288	9.0474
residualcorrection_OMP_1_		1957	2115	4956	7.1308
residualfacegradient_OMP_2_		2564	2706	4008	5.7668
residualself_ns2_fc_OMP_1_		4587	4871	3636	5.2316
computegradcomspace_br1_OMP_1_		7250	7400	3312	4.7654
residualself_euler_div_OMP_1_		420	660	3193	4.5942
Cal_aCoefficient_SRK				2459	3.5381
Cal_dadT_SRK				2199	3.164
ComputeTransProp_Chung				2115	3.0431
Cal_departureFunction_SRK				2036	2.9295
ComputeTransProp_Chung				1590	2.2877
riemannfluxsimple_PRL_1_		1140	1150	1394	2.0057
residualfacecommon_ns_fc_lad_OMP_1_		2778	2950	1368	1.9683
hllcflux_prim_pev_		1364	1538	1537	1.9525
thermalprop_sp_fc_OMP_2_		3669	3735	1139	1.6388
Spc_Hppp_Cal				1004	1.4446
computegradcomspace_OMP_1_		7154	7212	935	1.3453
residualreconst_temperature_OMP_1_		579	633	912	1.3122
Spc_Cppp_Cal				778	1.1194
newtonlter4T_SRK				705	1.0144
Cal_omegaFunction_SRK				678	0.0755

RiemannFluxSimpleが全体の17%のコスト
2907を占めている
と出ている

プロファイラ fippによるコスト分布
サブルーチン単位ではなく、手続き単位

※手続き
ループなり関数呼び出しといったコンパイラ
が認識する処理の単位

fippのApplication Procedureでのコスト1%以上の区間

```

!$omp parallel do default(none)%
!$omp
private(icell,i,Rho,P,u,v,w,rhoi,y,t,h,cp,cv,Cs,mu,pr_l,iter, &
!$omp
ir,ix,iy,iz,ie,mwbar,rc,ek1,ee0,dlte,iflag,Ysp,n,hk,hk_tmp) &
!$omp shared(ho,istepHex,coefrec1d,pr,fmlt_sw,smallpos) &
!$omp reduction(max: tmax,itermax) &
!$omp reduction(min: tmin)
do icell=1,ho%gd%nTCell          7100回転
  do i=1,ho%nsp(icell)           27回転
    ir = (i-1)*nv+1
    ix = ir+1
    iy = ix+1
    iz = iy+1
    ie = iz+1
    Rho = ho%uup(ir,icell)
    U   = ho%uup(ix,icell)
    V   = ho%uup(iy,icell)
    W   = ho%uup(iz,icell)
    Rhoi = 1.d0/Rho
    do ichem=1,pr%nchem
      Y(ichem) = ho%uup(ie+ichem,icell)
    end do

    if(fmlt_sw.eq.1) then
      call fmlt_get_yi(Y(1), ho%zvar(i,icell),
                         ho%kai(i,icell), Y)
    elseif(fmlt_sw.eq.2) then

    elseif(fmlt_sw.eq.-1) then
      Y = pr%spc_mfrc_init
    endif
    call ComputeMwBar(Y, MwBar)
    call ComputeRconst(Y, MwBar, Rc)
    ! Update Rc here
    ho%Rc(i,icell)=Rc
  
```

↓ 続く

Prefetch(HARD)

SIMD VL8
SWP(IPC=2.5, ITR-112, MVE=8,
POL=S)
Prefetch(HARD)

↓ 続く

当該部分のソース

↓ 続く

```

! initial guess
T     = ho%T(i,icell) ! this needs to initialize T in IC
!// compute T from total energy
ek1  = 0.5d0*Rho*(U*U + V*V + W*W)
!// rho*e_s
ee0  = ho%uu(ie,icell) - ek1
call newtonIter4T_SRK(T,Rho,Y,MwBar,Rc,ee0,ek1,dlte,
                      pr%iter_newton,pr%conv_newton,iflag,iter)

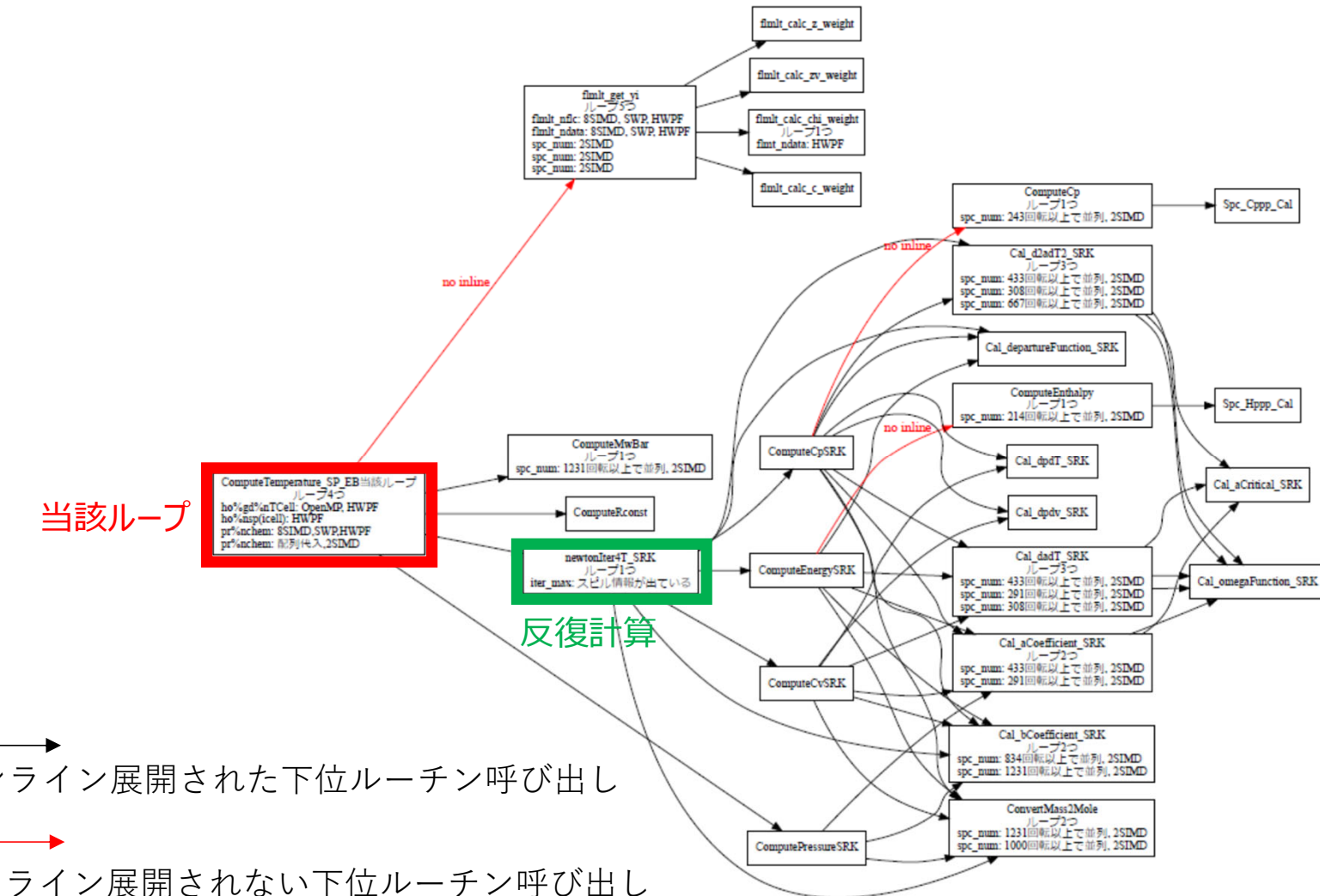
if(iflag==1)then
  write(*,*)'not converge (newton iteration), icell= ',
  stop
end if

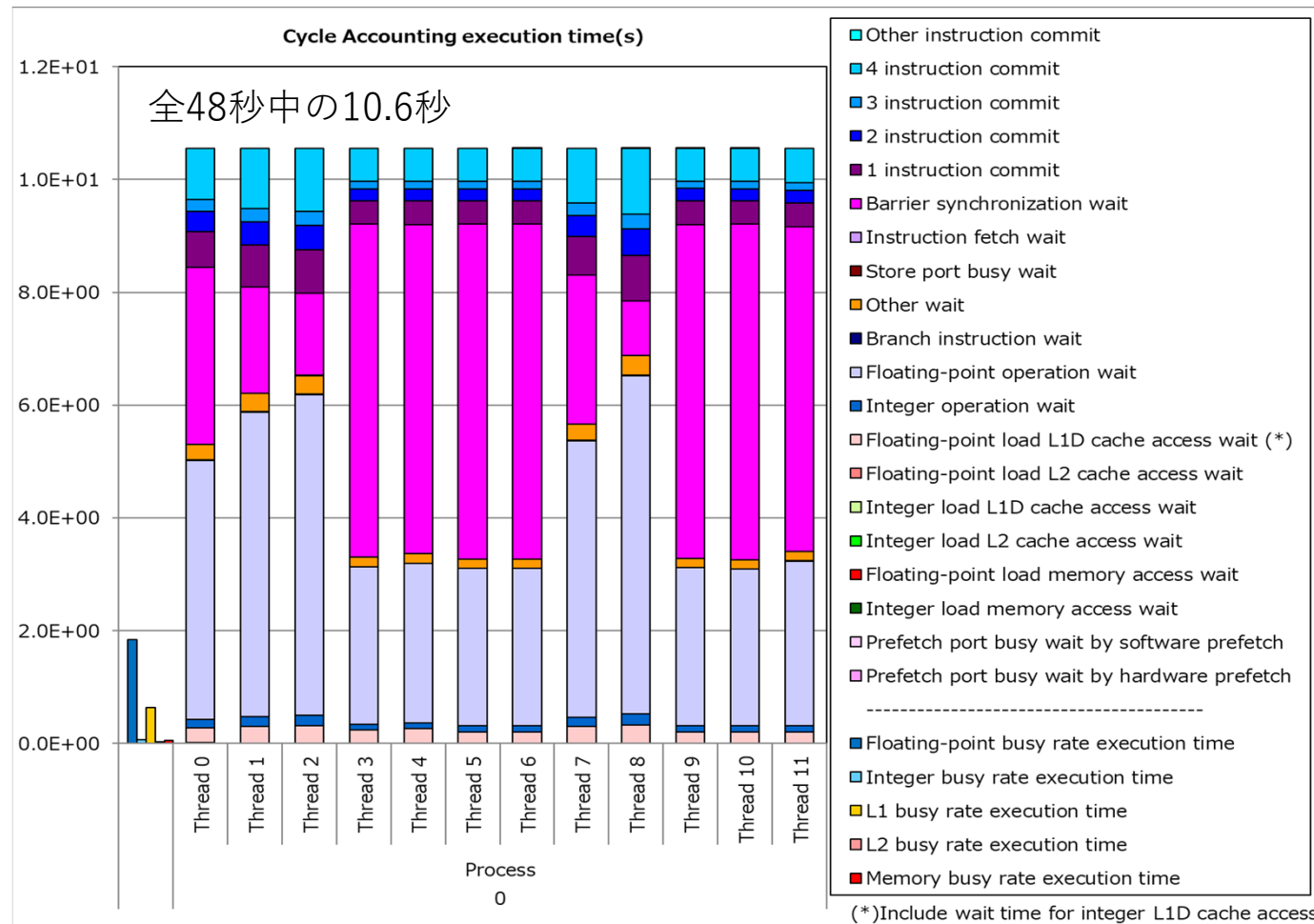
ho%T(i,icell) = MAX(T, smallpos)
tmax=dmax1(T,tmax)
tmin=dmin1(T,tmin)
itermax=MAX(iter,itermax)

! pressure from EOS
call ComputePressureSRK( Rho, T, Y, Rc, P )
P     = MAX(P, smallpos) !2020/11/30
ho%uup(ie,icell) = P
ho%pev(i,icell) = P ! no use?

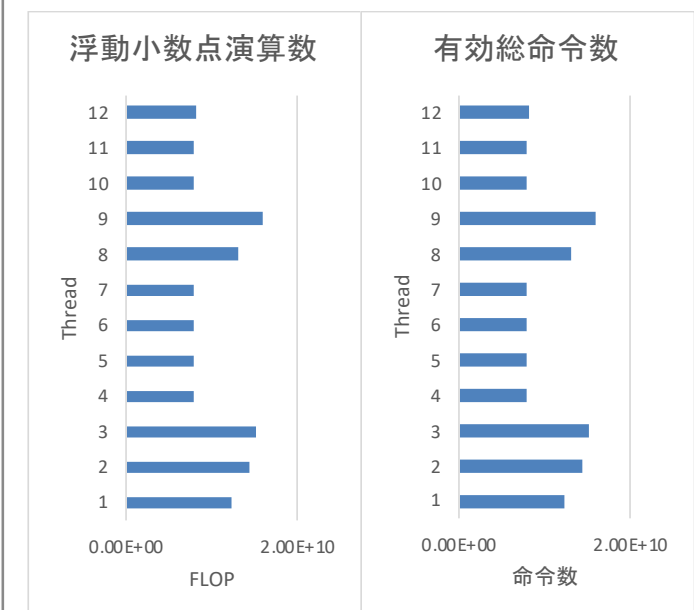
end do
end do
!$omp end parallel do

```





スレッド毎の浮動小数点演算数と有効総命令数



```

do iter=1,iter_max

call ComputeEnergySRK( Rho, T, Y, Rc, ee1 )
fnc = ee0 - ee1

call ComputeCpSRK( Rho, T, Y, Rc, Cp )
call ComputeCvSRK( Rho, T, Y, Cp, Rc, Cv )
d2adT2 = Cal_d2adT2_SRK( T, X, Rc )
dfnc = -Cv + T*d2adT2*K1

T      = T-fnc/dfnc
T      = MAX(T, small_temp)
res   = dabs((fnc/dfnc)/T)

if(res < eps) then ②
    goto 10001
end if

end do

```

①

上位の
ComputeTemperaturerルーチンの
OpenMP化ループから呼ばれる
ルーチンなので、スレッドごとに反復
計算している

③

上位の
ComputeTemperature routineの
OpenMP化ループのスケジュールを変更

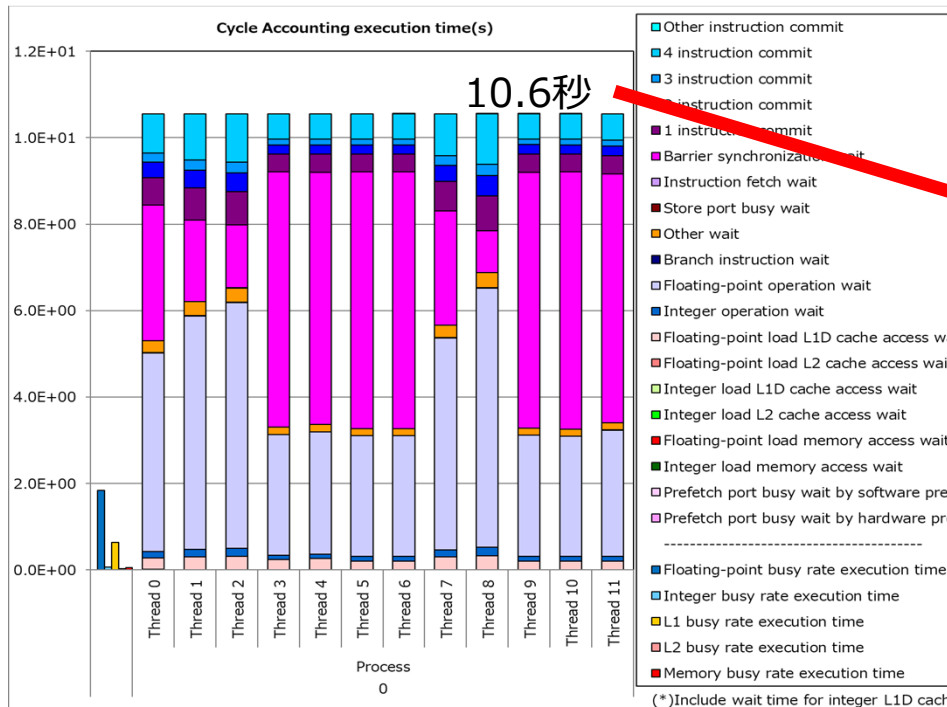
スレッドごとに、抜けるのに
要する反復数が異り
インバランス発生

```

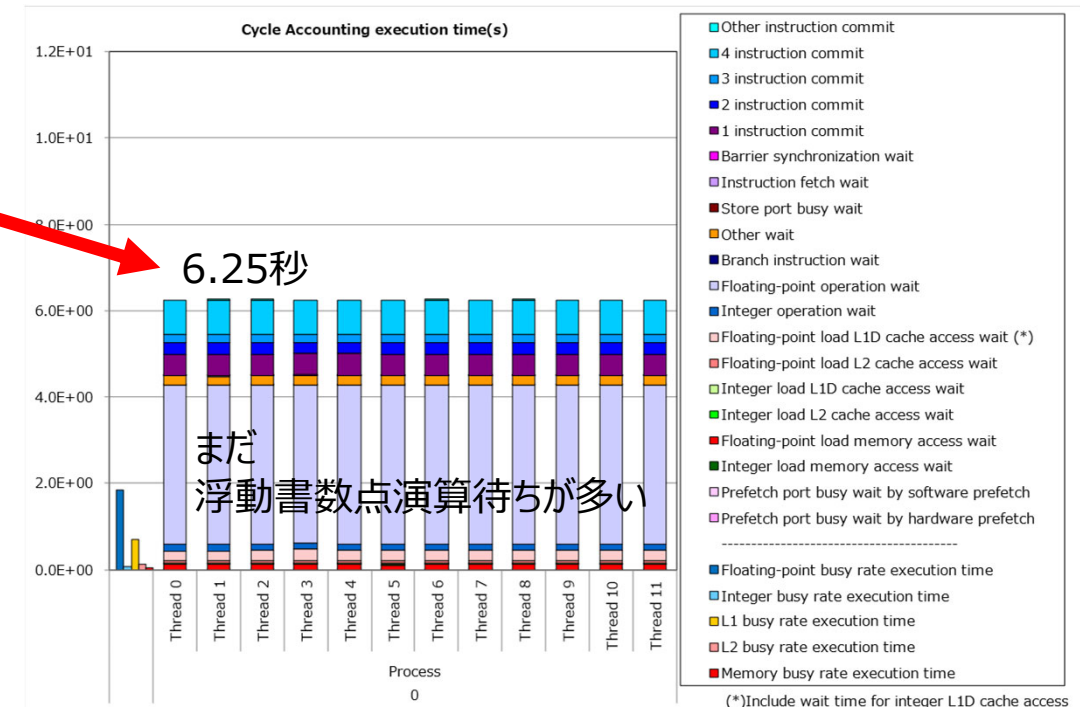
!$omp parallel do default(none) &
!$omp parallel do default(none) &
!$omp schedule(dynamic, 1)

```

オリジナル



修正後



※)

ただし、現在のソースでは反復計算を途中で抜けずに、必ず固定回数回るようにしているため、OpenMPのスレッド調整をせずともスレッドのインバランスを回避している

性能について直面した問題 3

インライン展開

インライン展開が多くループボディが過大になっているケース

1

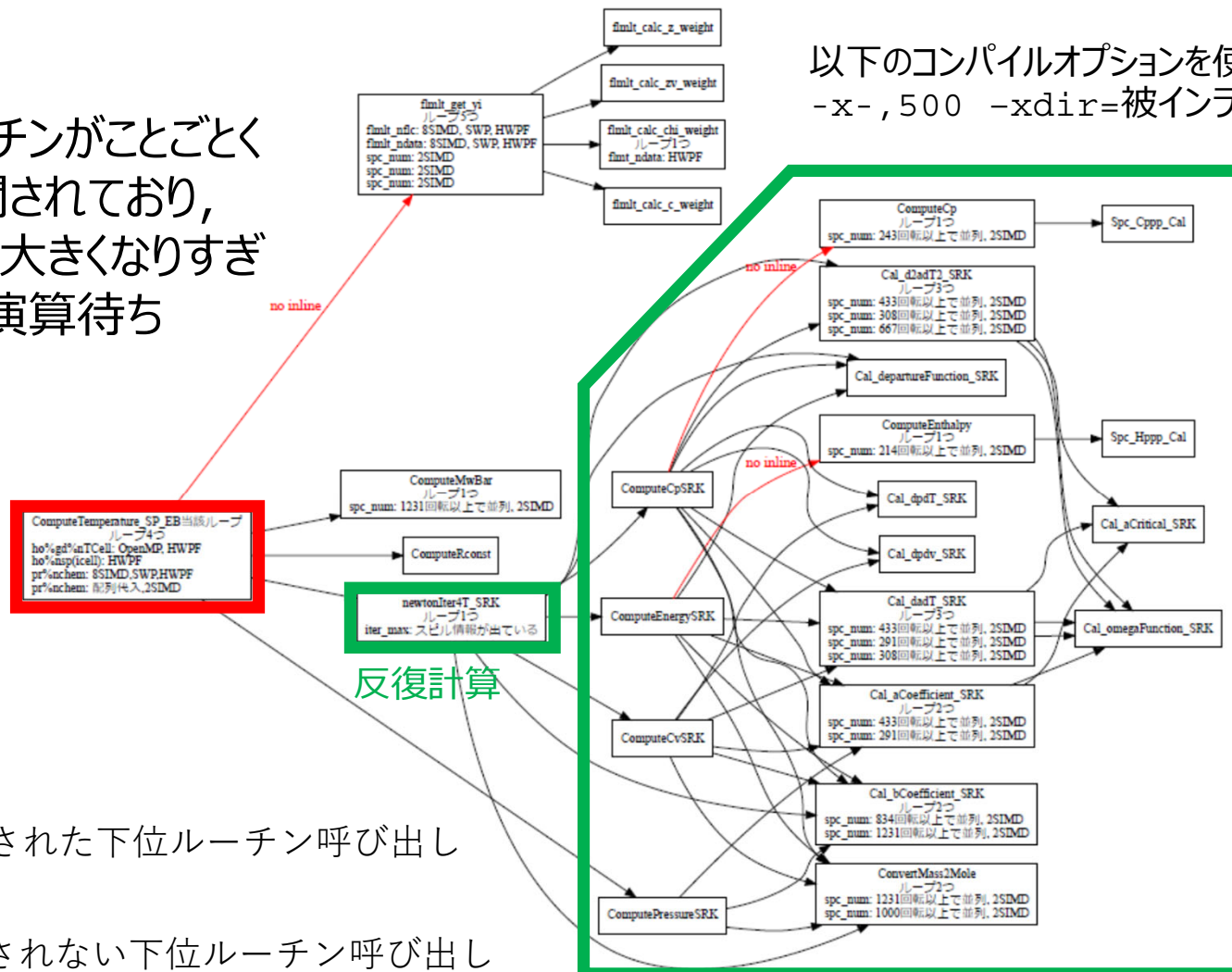
下位サブルーチンがことごとく
インライン展開されており、
ループボディが大きくなりすぎ
浮動小数点演算待ち

当該ループ

反復計算

オンライン展開された下位ルーチン呼び出し

 インライン展開されない下位ルーチン呼び出し



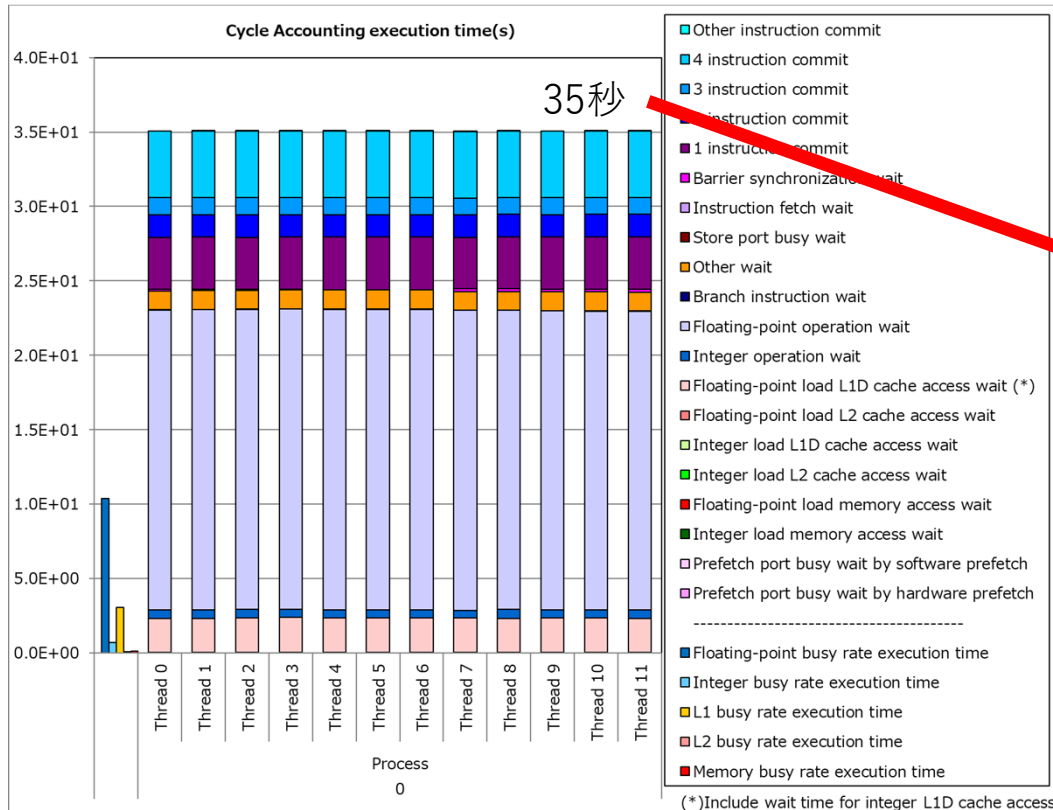
以下のコンパイルオプションを使用

-x-, 500 -xdir=被インラインソースを置くディレクトリ

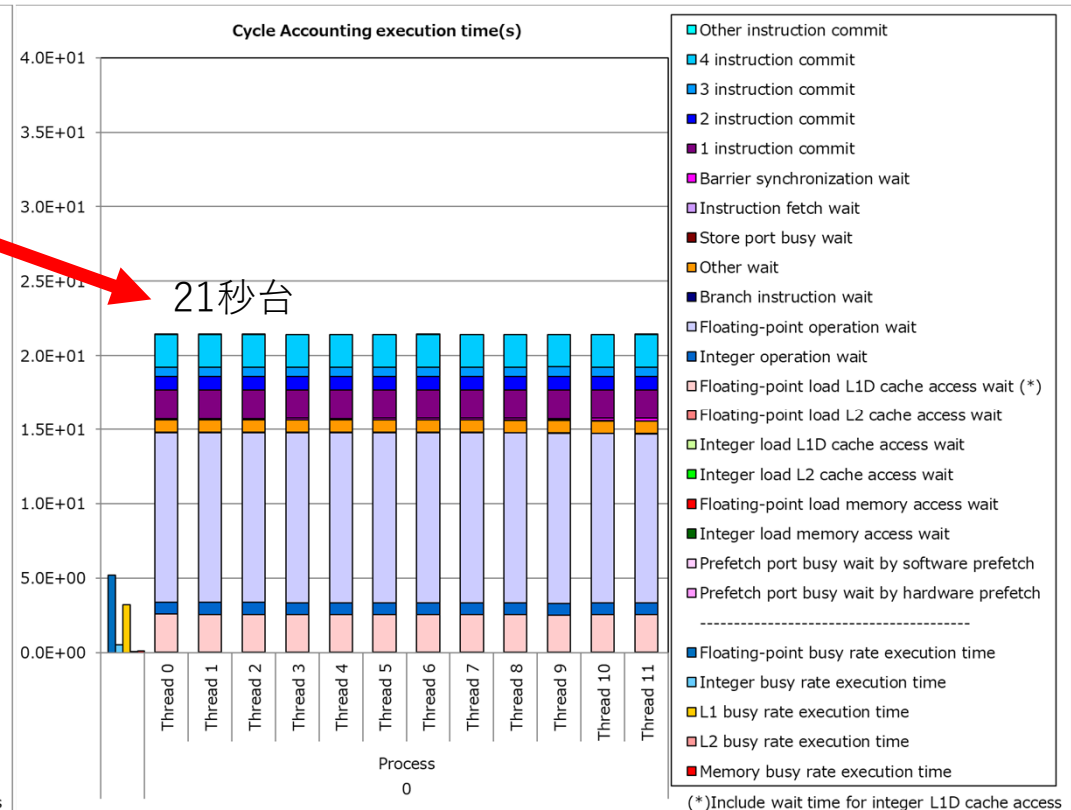
2

緑枠のルーチンを
オンライン展開
させない
ようにしてみた

オリジナル



修正後

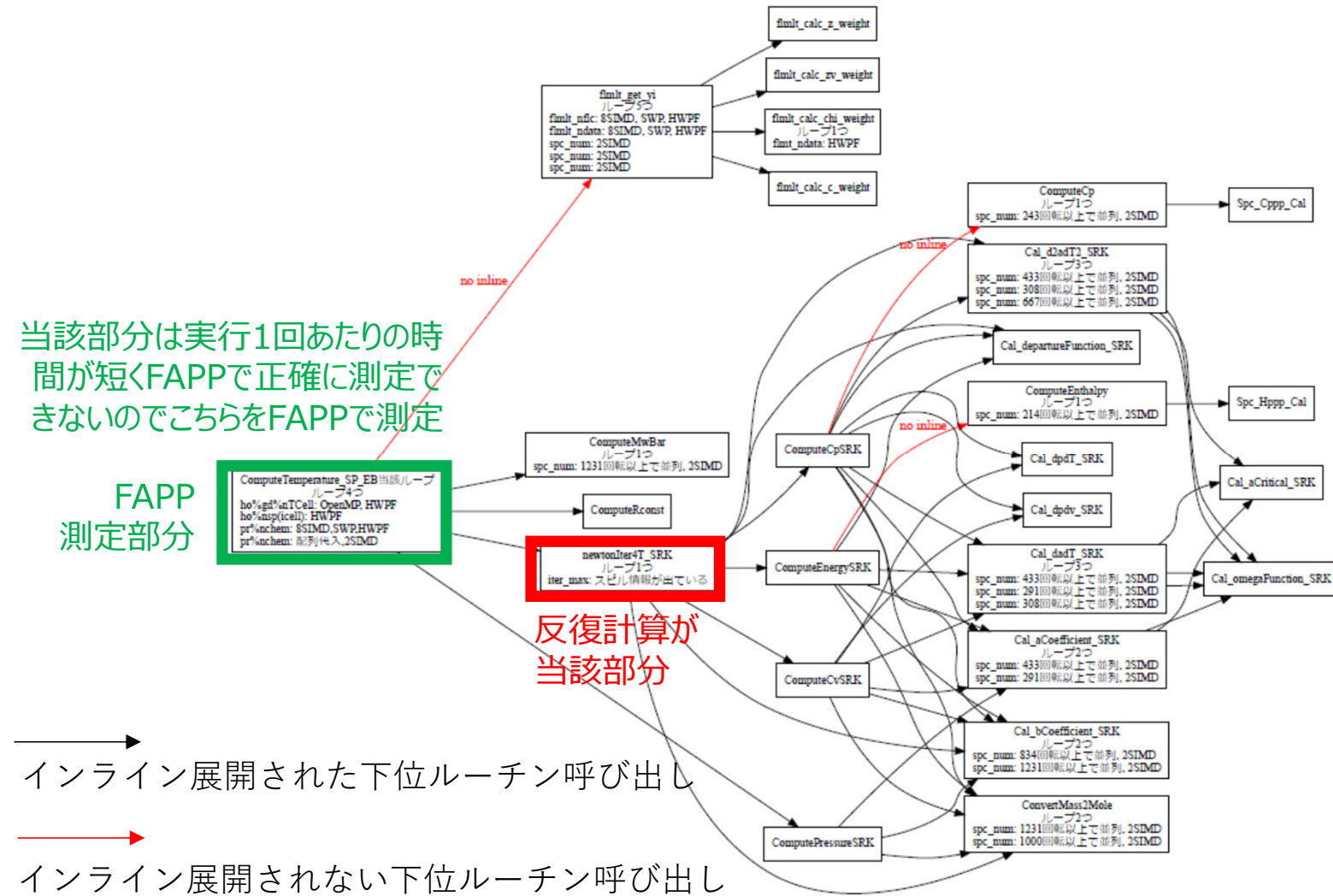


見ていている区間は23ページで示したのと同じComputeTemperature_SP_EBだが、ソースのVersionと入力データが異なるため、時間が違う

性能について直面した問題 4

重複した処理

同一ループ内で同じ処理を複数回やっている
ケース



同じサブルーチンを
異なるサブルーチンから呼んでいる(計算
内容は同じ)結果は
同じ)など

重複した計算があり
非効率

```

v = 1d0/rho
X = ConvertMass2Mole(Y)
b = Cal_bCoefficient(X, Rc)
K1=Cal_departureFunction_SRK(v, b)

do iter=1,iter_max
    ee1 = ComputeEnergySRK_noinline(Rho, T, Y, Rc)
    Enthalpy0 = ComputeEnthalpy(T, Y)
    v = 1d0/rho
    X = ConvertMass2Mole(Y)
    a = Cal_aCoefficient_SRK(T, X, Rc)
    b = Cal_bCoefficient_SRK(X, Rc)
    dadT = Cal_dadT_SRK(T, X, Rc)
    K1 = Cal_departureFunction_SRK(v, b)
    return (Enthalpy0 - Rc * T + K1 * (a - dadT*T))

Cp = ComputeCpSRK_noinline(Rho, T, Y, Rc)
Cp0 = ComputeCp(T, T)
v = 1d0/rho
X = ConvertMass2Mole(Y)
a = Cal_aCoefficient_SRK(T, X, Rc)
b = Cal_bCoefficient_SRK(X, Rc)
dadT = Cal_dadT_SRK(T, X, Rc)
K1 = Cal_departureFunction_SRK(v, b)
dpdT = Cal_dpdt_SRK(v, dadT, b, Rc)
dpdv = cal_dpdv_SRK(v, T, a, b, Rc)
return (Cp0-Rc-K1*d2adT2-T*apdT**2/dpdv)

```

同色の行は同一の処理を意味

```

Cv = ComputeCvSRK_noinline(Rho, T, Y, Cp, Rc)
v = 1d0/rho
X = ConvertMass2Mole(Y)
a = Cal_aCoefficient_SRK(T, X, Rc)
b = Cal_bCoefficient_SRK(X, Rc)
dadT = Cal_dadT_SRK(T, X, Rc)
dpdT = Cal_dpdt_SRK(v, dadT, b, Rc)
dpdv = cal_dpdv_SRK(v, T, a, b, Rc)
return (Cp+T*dpdT**2/dpdv)

```

```

d2adT2 = Cal_d2adT2_SRK(T, X, Rc)
do i=1,spc_num
    arci = Cal_aCritical(i, Rc)
    ai(i) = sqrt(arci)
enddo
...

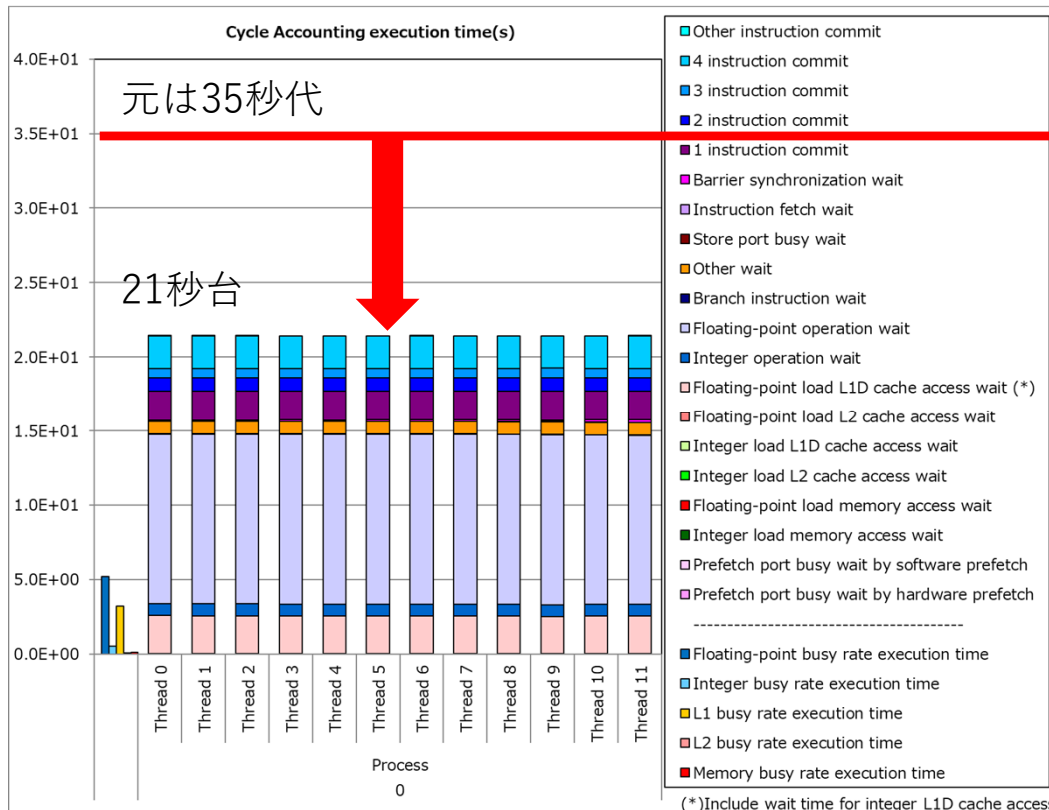
```

Tの更新
enddo

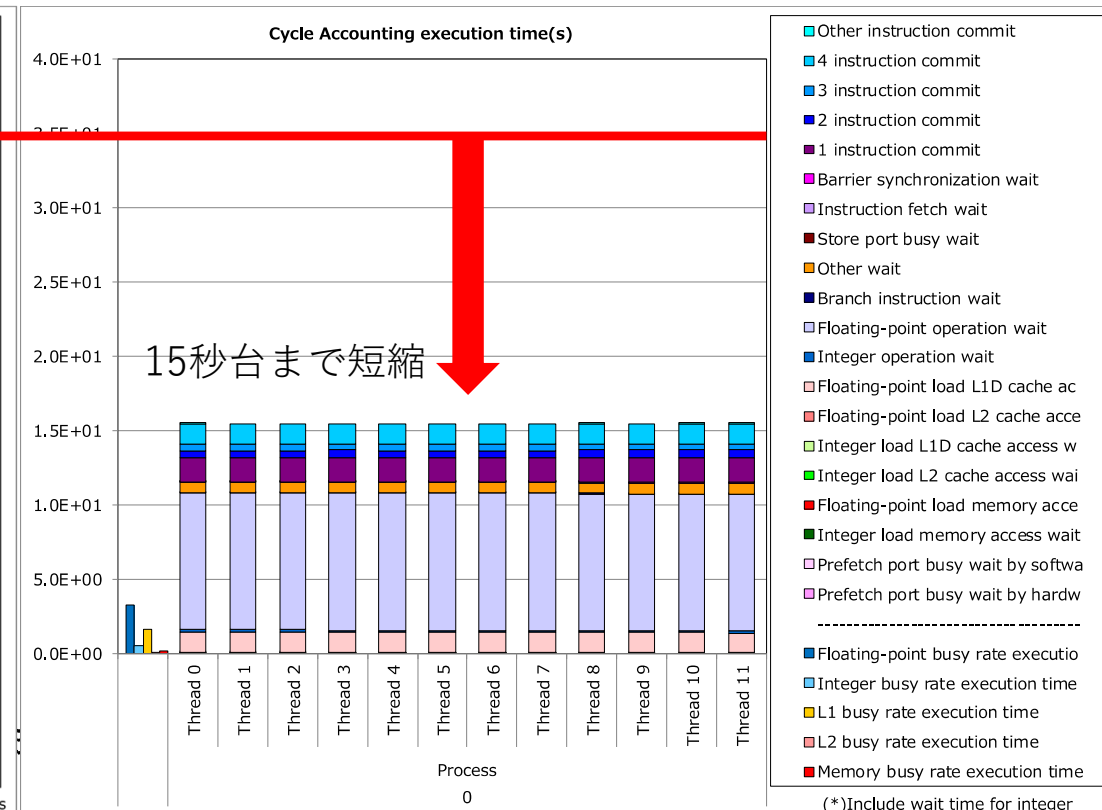
Tに依存しない変数は
iterのループ内で不変

- 図中の□内は、その上の行のサブルーチンの処理内容を抜粋したもの
- 同じ色の行は重複した処理を示している
- また、例えば黄色いハッシュングは、温度Tを更新する反復ループないで、Tに依存しないので、ループないから外に出せる

オリジナル

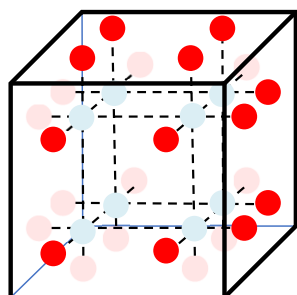


修正後



「割り算を逆数の掛け算にする」「サブルーチン内でローカル作業配列を都度作らない」「サブルーチン内で不变な値を先に計算」なども試みたが、ほぼ効果なし

- ・ソースの多くの箇所で、インライン展開を多用しており、ループボディが大きくなる傾向がある
- ・最内回転数がごく短いループが多く、ループ最適化がうまく作用しない
 - 物理量の数(密度, 流速三成分, エネルギー)
 - 物質の数(水素と酸素など, 問題によって異なるがそれほど多くない)
 - セルが持っている点の数(問題によって異なるがそれほど多くない)



```
do i=0, nCell セルで回るループ(多い)
  do j=0, nPoint    セルが持つ点で回るループ
    do k=0, nspc    物理量のループ
      .....
    enddo
  enddo
enddo
```

A64FXシステムアプリ性能検討WG

JAXA)熊畠様で発生したLS-FLOW-HOにおける 配列代入の性能問題について

2021年9月15日

ミッションクリティカルシステム事業本部 HPCシステム事業部
報告者：原口正寿

【課題】 下図のようなプログラムでcallがある場合とない場合で性能差が発生

```
arrA1(:) = AA%array1(:, 1, n2)  
arrA2(:) = AA%array1(:, 2, n2)  
call timer()  
arrB1(:) = AA%array2(:,1,n2)  
arrB2(:) = AA%array2(:,2,n2)
```

高速

```
arrA1(:) = AA%array1(:, 1, n2)  
arrA2(:) = AA%array1(:, 2, n2)  
! call timer()  
arrB1(:) = AA%array2(:,1,n2)  
arrB2(:) = AA%array2(:,2,n2)
```

低速

【原因】 callを跨ぐ配列記述が1つに纏められることが原因ではなく、
自動並列化が動作することで、性能低下が生じていました。

本資料では、熊畠様のプログラムで発生している自動並列化の問題点と回避策を提示します。

callがあるケース：通常の自動並列化

```
arrA1(:) = AA%array1(:, 1, n2)  
arrA2(:) = AA%array1(:, 2, n2)  
call timer()  
arrB1(:) = AA%array2(:, 1, n2)  
arrB2(:) = AA%array2(:, 2, n2)
```

並列リージョン
回転数1=72
並列リージョン
回転数2=9

callがある場合は、通常の自動並列化が動作

- callを跨がない2つの並列リージョン毎にピース関数が作られる
※ピース関数は自動並列化により、複数スレッド動作のために生成された内部関数
- 回転数(72 or 9)が閾値(1067)を超えた場合のみスレッド並列化が動作
※閾値は命令数などを考慮しループ毎に決定
- 回転数が少ないループは並列化する価値がないため、逐次ループで処理
⇒ ターゲットはこれに該当

自動並列化

```
72 1067  
if (回転数1 $\geq$ 閾値) then  
  call __jwe_ppfj(_PRL_1)  
else 逐次ループ  
  arrA1(:) = AA%array1(:, 1, n2)  
  arrA2(:) = AA%array1(:, 2, n2)  
endif  
call timer()  
9 1067  
if (回転数2 $\geq$ 閾値) then  
  call __jwe_ppfj(_PRL_2)  
else 逐次ループ  
  arrB1(:) = AA%array2(:, 1, n2)  
  arrB2(:) = AA%array2(:, 2, n2)  
endif
```

ターゲットは並列化
ルートは通らず

スレッドへのdispatcher
!\$omp parallel doのようなもの

__jwe_ppfj:

各スレッドで動作

_PRL_1: 並列のピース関数1
do i=is,ie
arrA1(i) = AA%array1(i, 1, n2)
arrA2(i) = AA%array1(i, 2, n2)
enddo

_PRL_2: 並列のピース関数2
do k=ks,ke
arrB1(k) = AA%array2(k, 1, n2)
arrB2(k) = AA%array2(k, 2, n2)
enddo

callがないケース：並列リージョン拡張

並列リージョン拡張
arrA1(:) = AA%array1(:, 1, n2)
arrA2(:) = AA%array1(:, 2, n2)
call timer()
arrB1(:) = AA%array2(:, 1, n2)
arrB2(:) = AA%array2(:, 2, n2)

並列リージョン
回転数1=72

+
並列リージョン
回転数2=9

callがない場合は、並列リージョン拡張が動作

- 複数の並列リージョンを1つのピース関数にまとめ、並列化のオーバーヘッドを削減
- 通常の自動並列化のように逐次ループを作らないため、小回転ループで性能低下の可能性あり
⇒ ターゲットはこれに該当

自動並列化

call __jwe_ppfj(_PRL_1)

各スレッドで動作

```
_PRL_1: 並列のピース関数
do i=is,ie
    arrA1(i) = AA%array1(i, 1, n2)
    arrA2(i) = AA%array1(i, 2, n2)
enddo
do k=ks,ke
    arrB1(k) = AA%array2(k, 1, n2)
    arrB2(k) = AA%array2(k, 2, n2)
enddo
```

【並列リージョン拡張時の特徴】
-Kparallelから誘導される
-Kregion_extensionで動作。
自動並列の閾値判定をせず、
逐次ループを生成しない
(回転数が異なる複数並列リージョンでも
拡張できるよう出力は単純化している)

【結論】

小回転ループに対し、並列リージョン拡張により、スレッド並列化が動作。
並列化のオーバーヘッド(主要因)とfalse sharingによる性能低下が発生。

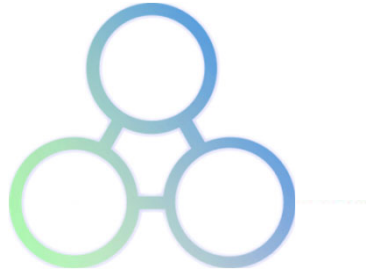
※並列リージョン拡張が動作したことを
メッセージやリストで表示していない問題もあり

【回避策】並列リージョン拡張機能の抑止:-Knoregion_extensionオプションの付加

※この問題に限っては、最適化指示子「!OCL SERIAL」指定のほうが高速

事例)

- OCL指示子の導入によるSIMD化の促進
- ループ分割



ABINIT-MP



FMOプログラムABINIT-MPの高速化と 超大規模系への対応

○望月祐志^{1,2} (ABINIT-MP取り纏め役)

中野達也³、坂倉耕太⁴、渡邊啓正⁵、土居英男¹

片桐孝洋⁶

1:立教大、2:東大生研、3:国立衛研、4:FOCUS

5:HPCシステムズ、6:名大

謝辞：本活動はJHPCNのjh210036-NAH&jh2200010課題とも連動しています

FMO法とABINIT-MPプログラム

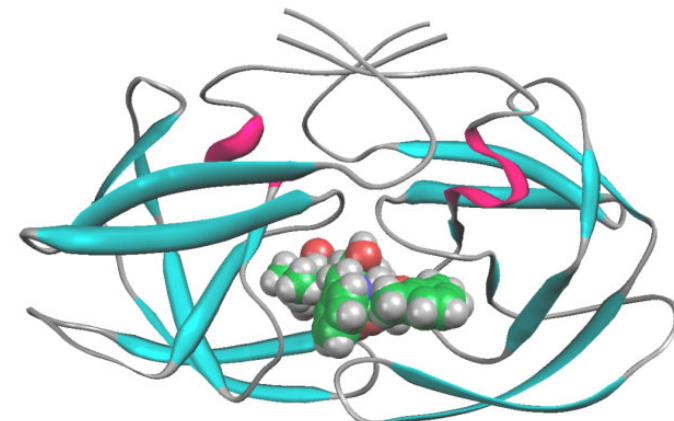
フラグメント分子軌道(FMO)法

◇巨大分子系

生体高分子や凝集系では一般的

⇒ タンパク質、DNA（水和状態）

数千～数万原子、数千～数十万軌道



◇分割&統合系のアプローチの一つ

【HIVプロテアーゼとロピナビル】

北浦らが23年程前に2体展開で提案

⇒ フラグメントとその対で系のエネルギーを評価 (FMO2)

⇒ 環境静電ポテンシャル (ESP)、直接結合切断 (BDA)

⇒ 階層的な並列処理 (フラグメントリスト&内部処理)

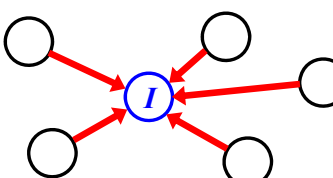
⇒ 定量性を高める電子相関の導入も直截

フラグメント間の相互作用エネルギー (IFIE)

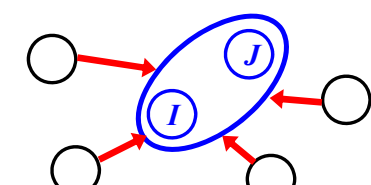
⇒ 計算対象の解析ツール

⇒ 生物物理や創薬に向く

⇒ 材料系にも適用可能



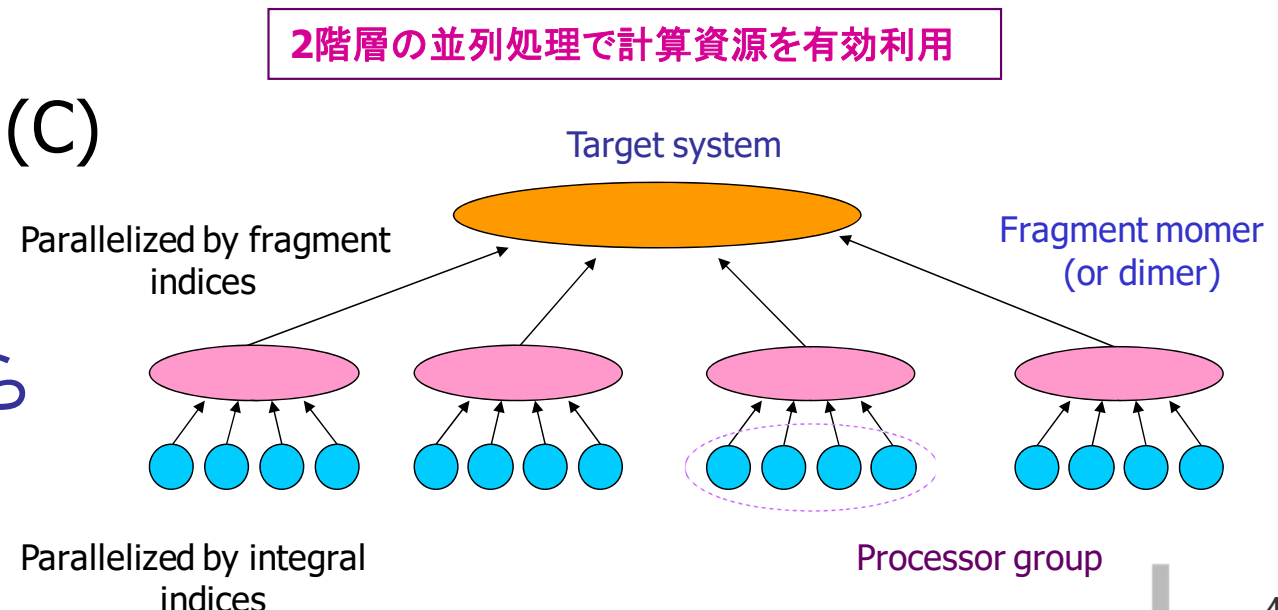
モノマー (アミノ酸単位など)



ダイマー

FMO計算のためのプログラム

- ◇ GAMESS-US [米国Gordonグループ]; Fedorov、Gordon、北浦ら
GAUSSIANに抗し得る有力なフリーソフト、世界規模 (Fortran)
⇒ 様々な機能をFMO化、多彩な計算、GDDI並列
- ◇ ABINIT-MP; 望月、中野ら
実用機能は十分、東大系PJ・CREST-PJなどで開発 (Fortran)
⇒ IOレス、MPI、OpenMP/MPI混成並列、スパコンと好相性
- ◇ PAICS; 石川
FMO-MP2(RI)に特化 (C)
⇒ MPI並列
- ◇ OpenFMO; 稲富、鬼頭ら
FMO-HF (C)
⇒ 超並列指向



ABINIT-MPの主な機能 (オープンシリーズとして整備中)

・エネルギー

- FMO4: HF, MP2
- FMO2: HF~CCSD(T), LRD
- FMO2: CIS/CIS(D)

・エネルギー微分

- FMO4: HF, MP2
- FMO2: MP2構造最適化, MD

・その他機能

- SCIFIE, PB, sp2-BDA, $\alpha(\omega)$
- 電子密度生成, CAFI, FILM

・並列化環境(PC~スパコン)

- MPI, OpenMP/MPI混成
- 最深部はBLAS処理

http://www.cenav.org/abinit-mp-open_ver-2-rev-4/



レポート ニュース 解析事例データベース ライブライアリ Q & A コミュニティー

ABINIT-MP Openシリーズ (Ver.2 Rev.4)

※2020年6月版(Ver.1 Rev.22)に関するページは[こちら](#)です

はじめに

フラグメント分子軌道 (FMO) 計算のプログラムABINIT-MP [1,2]のOpenシリーズは、2021年度にVer. 2系に移行しました。Ver. 2系では、これまで通りの機能の拡充に加え、常用されるメラーブレセット2次振動 (MP2) レベルのジョブの「富岳」(理研)などの富士通A64FX系スーパーコンピュータでの数倍を越んだ高速化、ならびに将来的には数万フラグメントの系を扱える大規模化対応が進められています。

Open Ver. 1 (ポスト「京」のPJで整備)

- Rev. 5 (2016年12月)
- Rev. 10 (2018年2月)
- Rev. 15 (2019年3月)
- Rev. 22 (2020年6月); 当面は併存

Open Ver. 2 ('富岳'の時代に移行)

- Rev. 4 (2021年9月)
- Rev. 8 (2023年3月予定)

(注記: Ver. 2系では、BioStation Viewerへのデータファイルの書出しを廃止した)

基本のHF計算

$$\mathbf{F}^x \mathbf{C}^x = \mathbf{S}^x \mathbf{C}^x \boldsymbol{\epsilon}^x \quad \mathbf{F}^x = \mathbf{H}^x + \mathbf{G}^x \quad \Leftrightarrow \text{HFの一般化固有値問題 (要反復計算)}$$

$$H_{\mu\nu}^x = H_{\mu\nu}^{core\ x} + V_{\mu\nu}^x + \sum_k B_k \langle \mu | \theta_k \rangle \langle \theta_k | \nu \rangle \quad V_{\mu\nu}^x = \sum_{K \neq x} (u_{\mu\nu}^K + v_{\mu\nu}^K) \quad \Leftrightarrow \text{1電子部分の修飾}$$

$$u_{\mu\nu}^K = \sum_{A \in K} \langle \mu | (-Z_A / |\mathbf{r} - \mathbf{A}|) | \nu \rangle \quad v_{\mu\nu}^K = \sum_{\lambda\sigma \in K} P_{\lambda\sigma}^K (\mu\nu | \lambda\sigma) \quad \Leftrightarrow \text{環境静電ポテンシャル(ESP)}$$

$$P_{\mu\nu} = 2 \sum_{i=1}^{occ} C_{\mu i}^* C_{\nu i} \quad G_{\mu\nu}^x = \sum_{\lambda\sigma \in x} P_{\lambda\sigma}^x \left[(\mu\nu | \lambda\sigma) - \frac{1}{2} (\mu\sigma | \lambda\nu) \right] \quad \Leftrightarrow \text{2電子部分 } O(N^4) \text{ (並列処理)}$$

高速化のための幾つかの工夫

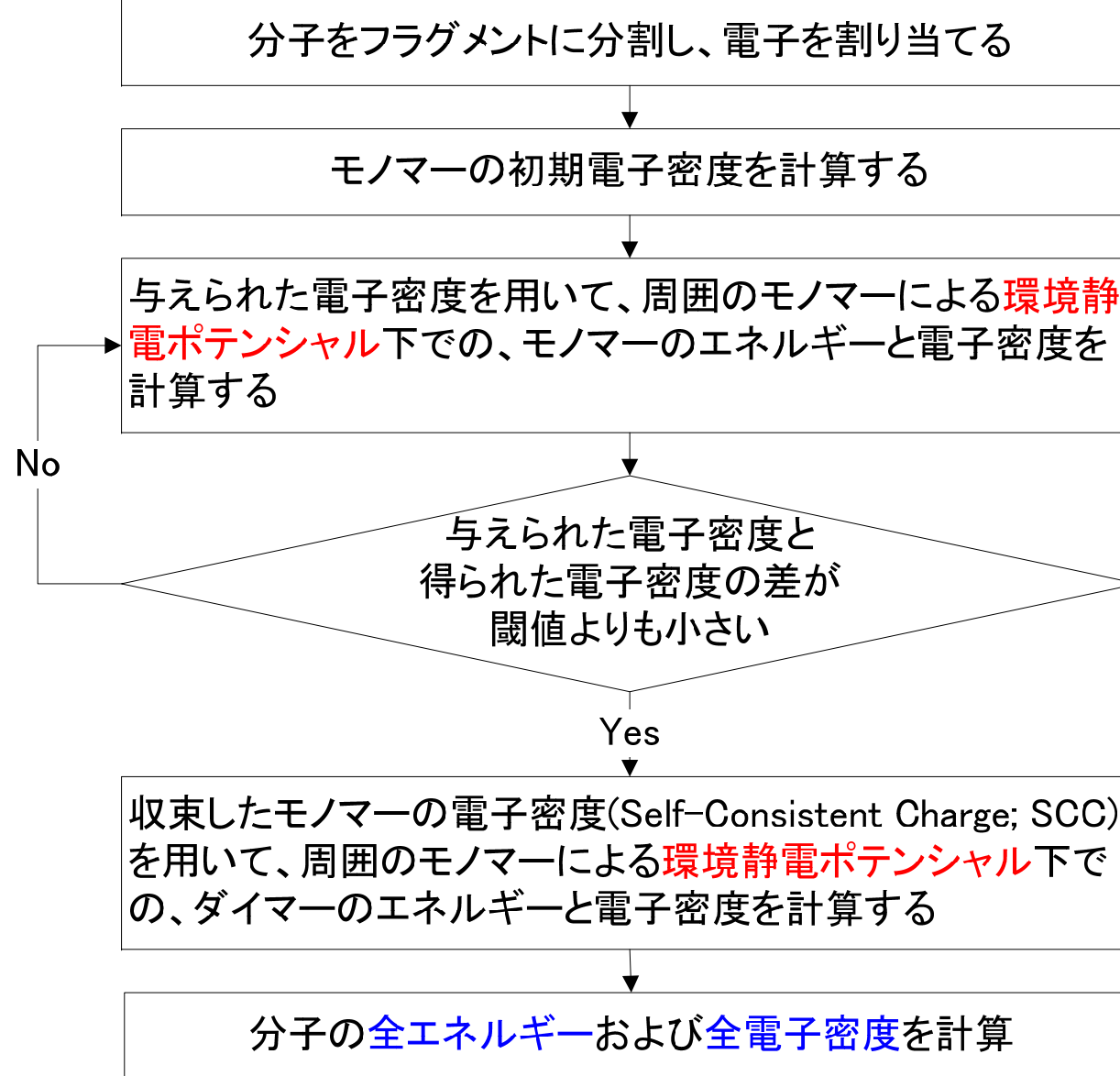
$$V_{\mu\nu}^L \cong \sum_{\lambda \in L} (\mathbf{P}^L \mathbf{S}^L)_{\lambda\lambda} (\mu\nu, \lambda\lambda) \quad \text{for } R_{\min}(X, L) \geq L_{aoc} \quad \Leftrightarrow \text{ESP-AOC近似 (実用精度高し)}$$

$$V_{\mu\nu}^L \cong \sum_{A \in L} \langle \mu | (Q_A / |\mathbf{r} - \mathbf{A}|) | \nu \rangle \quad \text{for } R_{\min}(X, L) \geq L_{ptc} \quad Q_A = \sum_{\lambda \in A} (\mathbf{P}^L \mathbf{S}^L)_{\lambda\lambda} \quad \Leftrightarrow \text{ESP-PTC近似 (速い)}$$

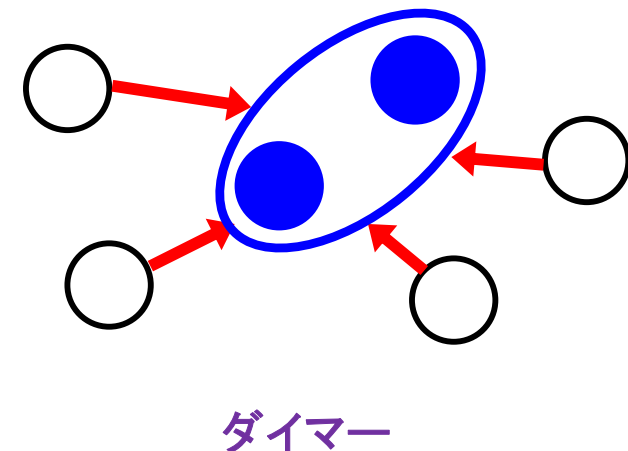
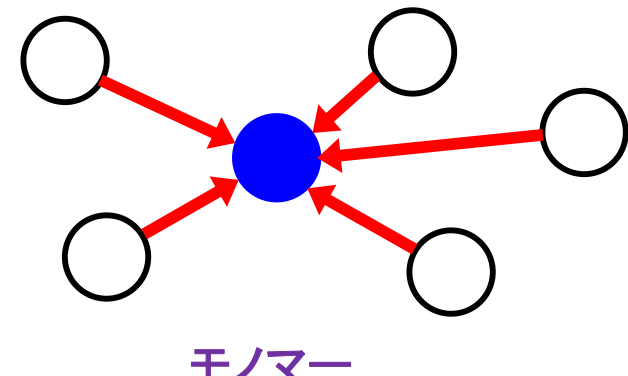
$$E'_{IJ} \cong E'_{I} + E'_{J} + \text{Tr}(\mathbf{P}^I \mathbf{u}^J) + \text{Tr}(\mathbf{P}^J \mathbf{u}^I) + \sum_{\mu\nu \in I} \sum_{\lambda\sigma \in J} \mathbf{P}_{\mu\nu}^I \mathbf{P}_{\lambda\sigma}^J (\mu\nu | \lambda\sigma) \quad \Leftrightarrow \text{Dimer-ES近似 (HF計算無)}$$

種々の工夫により、FMO2の計算コストのシステムサイズ依存性は2乗より低い

FMO-HF計算の流れ



モノマーの段階で自己無撞着電荷を課すのが特徴



2電子積分の生成について#1

- ・小原のVertical Recurrence Relation (VRR)がベース
- ・ジェネレータでF90コード群を自動生成（微分も）

中野氏

TABLE I. Recurrence expressions^a for the electron repulsion integrals over *s* and *p* Cartesian Gaussian functions.

$$\begin{aligned}
 (ss, ss)^{(0)} &= (\zeta + \eta)^{-1/2} K(\zeta_a, \zeta_b, \mathbf{A}, \mathbf{B}) K(\zeta_c, \zeta_d, \mathbf{C}, \mathbf{D}) F_0(T) \\
 (p_i s, ss)^{(0)} &= (P_i - A_i)(ss, ss)^{(0)} + (W_i - P_i)(ss, ss)^{(1)} \\
 (p_i s, p_k s)^{(0)} &= (Q_k - C_k)(p_i s, ss)^{(0)} + (W_k - Q_k)(p_i s, ss)^{(1)} \\
 &\quad + \frac{\delta_{ik}}{2(\zeta + \eta)} (ss, ss)^{(1)} \\
 (p_i p_j, ss)^{(0)} &= (P_j - B_j)(p_i s, ss)^{(0)} + (W_j - P_j)(p_i s, ss)^{(1)} \\
 &\quad + \frac{\delta_{ij}}{2\zeta} \{ (ss, ss)^{(0)} - \frac{\rho}{\zeta} (ss, ss)^{(1)} \} \\
 (p_i p_j, p_k s)^{(0)} &= (Q_k - C_k)(p_i p_j, ss)^{(0)} + (W_k - Q_k)(p_i p_j, ss)^{(1)} \\
 &\quad + \frac{1}{2(\zeta + \eta)} \{ \delta_{ik}(sp_j, ss)^{(1)} + \delta_{jk}(p_i s, ss)^{(1)} \} \\
 (p_i p_j, p_k p_l)^{(0)} &= (Q_l - D_l)(p_i p_j, p_k s)^{(0)} + (W_l - Q_l)(p_i p_j, p_k s)^{(1)} \\
 &\quad + \frac{1}{2(\zeta + \eta)} \{ \delta_{il}(sp_j, p_k s)^{(1)} + \delta_{jl}(p_i s, p_k s)^{(1)} \} \\
 &\quad + \frac{\delta_{kl}}{2\eta} \{ (p_i p_j, ss)^{(0)} - \frac{\rho}{\eta} (p_i p_j, ss)^{(1)} \} \\
 (i, j, k, l = x, y, z)
 \end{aligned}$$

SCHEME I.

(First step)

DO ICS = 1, n_{CS} loops for the contracted shells

DO JCS = 1, ICS

DO IPS = 1, m_{ICS} loops for the primitive shellsDO JPS = 1, m_{JCS}The calculation of the parameters \mathbf{P} , ζ , and $K(\zeta, \zeta', \mathbf{R}, \mathbf{R}')$ for each pair of primitive shells

CONTINUE

(Second Step)

DO IPPS = 1, N_{PPS} a loop for the first pair of primitive shells

DO JPPS = 1, IPPS a loop for the second pair of primitive shells

The evaluation of ERI's

CONTINUE

- ・Gauss型関数の角運動量の昇降を利用
- ・並列化は短縮シェルの対のループで

$$G_{ijk:\alpha}(r) = Nx^i y^j z^l \exp(-\alpha r^2)$$

^a For the definition of the variables, see the text.

2電子積分の生成について#2

- ・軌道タイプの組み合わせに応じて個別のルーチンに
- ・高い軌道角運動量のルーチンの最深部ループは長い
- ・微分も同様に組み合わせ毎（_gradが付く）

sub_dddd.F90	sub_dfsf.F90	sub.dspp.F90	sub_fffs.F90	sub_fsf.F90	sub_pfdf.F90	sub_ppsp.F90	sub_sdps.F90	sub_sppd.F90
sub_dddf.F90	sub_dfsp.F90	sub_dssp.F90	sub_ffpd.F90	sub_fsff.F90	sub_pfdp.F90	sub_ppss.F90	sub_sdsd.F90	sub_sppf.F90
sub_dddp.F90	sub_dfss.F90	sub_dssd.F90	sub_ffpf.F90	sub_fsf.F90	sub_pfds.F90	sub_psdd.F90	sub_sdsf.F90	sub_sppp.F90
sub_ddds.F90	sub_dpdd.F90	sub_dssf.F90	sub_ffpp.F90	sub_fsf.F90	sub_pffd.F90	sub_psdf.F90	sub_sdsp.F90	sub_spps.F90
sub_ddfd.F90	sub_dpdf.F90	sub_dssp.F90	sub_ffps.F90	sub_fspd.F90	sub_pfff.F90	sub_psdp.F90	sub_sdss.F90	sub_spsd.F90
sub_ddff.F90	sub_dpdp.F90	sub_dsss.F90	sub_ffsd.F90	sub_fspf.F90	sub_pfff.F90	sub_psds.F90	sub_sfdd.F90	sub_spsf.F90
sub_ddfp.F90	sub_dpds.F90	sub_fddd.F90	sub_ffsf.F90	sub_fsp.F90	sub_pffs.F90	sub_psdf.F90	sub_sfdf.F90	sub_spss.F90
sub_ddfs.F90	sub_dpfd.F90	sub_fddf.F90	sub_ffsp.F90	sub_fsp.F90	sub_pfpd.F90	sub_psff.F90	sub_sfdp.F90	sub_spss.F90
sub_ddpd.F90	sub_dpff.F90	sub_fddp.F90	sub_ffss.F90	sub_fssd.F90	sub_pfpf.F90	sub_psfp.F90	sub_sfds.F90	sub_ssdd.F90
sub_ddpf.F90	sub_dpfp.F90	sub_fdds.F90	sub_fpdd.F90	sub_fssf.F90	sub_pfpp.F90	sub_psfs.F90	sub_sffd.F90	sub_ssdf.F90
sub_ddpp.F90	sub_dpfs.F90	sub_fdfd.F90	sub_fpdf.F90	sub_fssp.F90	sub_pfps.F90	sub_pspd.F90	sub_sfff.F90	sub_ssdp.F90
sub_ddps.F90	sub_dppd.F90	sub_fdff.F90	sub_fpdp.F90	sub_fsss.F90	sub_pfsd.F90	sub_pspf.F90	sub_sffp.F90	sub_ssds.F90
sub_ddsd.F90	sub_dppf.F90	sub_fdfp.F90	sub_fpds.F90	sub_pddd.F90	sub_pfsf.F90	sub_pspp.F90	sub_sffs.F90	sub_ssfd.F90
sub_ddsf.F90	sub_dppp.F90	sub_fdfs.F90	sub_fpfd.F90	sub_pddf.F90	sub_pfsp.F90	sub_psps.F90	sub_sfpd.F90	sub_ssff.F90
sub_ddsp.F90	sub_dpps.F90	sub_fdpd.F90	sub_fpff.F90	sub_pddp.F90	sub_pfss.F90	sub_pssd.F90	sub_sfpp.F90	sub_ssfp.F90
sub_ddss.F90	sub_dpsd.F90	sub_fdpf.F90	sub_fpfp.F90	sub_pdds.F90	sub_ppdd.F90	sub_pssf.F90	sub_sfpp.F90	sub_ssfs.F90
sub_dfd.F90	sub_dpsf.F90	sub_fdpp.F90	sub_fpfs.F90	sub_pdfd.F90	sub_ppdf.F90	sub_pssp.F90	sub_sfps.F90	sub_ssdp.F90
sub_dfdf.F90	sub_dpsp.F90	sub_f dps.F90	sub_fppd.F90	sub_pdff.F90	sub_ppdp.F90	sub_psss.F90	sub_sfsd.F90	sub_sspf.F90
sub_dfdp.F90	sub_dpss.F90	sub_f dsd.F90	sub_fppf.F90	sub_pdfp.F90	sub_ppds.F90	sub_sddd.F90	sub_sf sf.F90	sub_sspp.F90
sub_dfds.F90	sub_dssd.F90	sub_f dsf.F90	sub_fppp.F90	sub_pdfs.F90	sub_ppfd.F90	sub_sddf.F90	sub_sf sp.F90	sub_ssps.F90
sub_dffd.F90	sub_d sdf.F90	sub_f dsp.F90	sub_fpp.F90	sub_pdpd.F90	sub_ppff.F90	sub_sddp.F90	sub_sf ss.F90	sub_ss sd.F90
sub_dfff.F90	sub_d sdp.F90	sub_f dss.F90	sub_f psd.F90	sub_pdp.F90	sub_ppfp.F90	sub_sdds.F90	sub_sp dd.F90	sub_ss sf.F90
sub_dffp.F90	sub_d sds.F90	sub_f fdd.F90	sub_f psf.F90	sub_pdpp.F90	sub_ppfs.F90	sub_sdfd.F90	sub_sp df.F90	sub_ss sp.F90
sub_dffs.F90	sub_d sfd.F90	sub_f fdf.F90	sub_f psp.F90	sub_pdps.F90	sub_pppd.F90	sub_sd ff.F90	sub_sp dp.F90	sub_ss ss.F90
sub_dfpd.F90	sub_d sff.F90	sub_f fdp.F90	sub_fpss.F90	sub_pdsd.F90	sub_pppf.F90	sub_sd fp.F90	sub_sp ds.F90	sub_xxxx.F90
sub_dfpf.F90	sub_d sfp.F90	sub_f fds.F90	sub_fsdd.F90	sub_pdsf.F90	sub_pppp.F90	sub_sd fs.F90	sub_sp fd.F90	sub_uberi.F90
sub_dfpp.F90	sub_d fs.F90	sub_f ffd.F90	sub_fsdf.F90	sub_pdsp.F90	sub_ppps.F90	sub_sd pd.F90	sub_sp ff.F90	swz_init.F90
sub_dfps.F90	sub_d spd.F90	sub_f fff.F90	sub_fsdp.F90	sub_pdss.F90	sub_ppsd.F90	sub_sd pf.F90	sub_sp fp.F90	
sub_dfsd.F90	sub_d spf.F90	sub_f ffp.F90	sub_fsds.F90	sub_pfdd.F90	sub_ppsf.F90	sub_sd pp.F90	sub_sp fs.F90	

相関エネルギー補正のMP2のアルゴリズム2種

Loop over i -batch [parallelizable when needed]

Loop over σ [to be parallelized for worker processes]

Loop over λ

Generate $(\mu\nu, \lambda|\sigma)$ list [canonical relation for $\mu\nu$]

Do 1/4 transformation of $\mu \rightarrow i$ [screening & DAXPY]

Do 2/4 transformation of $\nu \rightarrow a$ [DDOT]

Do 3/4 transformation of $\lambda \rightarrow j$ [screening & DAXPY]

End of loop over λ

Do 4/4 transformation for $\sigma \rightarrow b$ [screening & DAXPY]

End of loop over σ ["all-reduce" must be done for $(ia|jb)$]

Calculate partial MP2 energy

End of loop over i -batch

Loop over ij -batch ! size depending on available memory

Loop over σ ! to be parallelized

Loop over λ

Preparing $(\mu\nu|\lambda\sigma)$! for canonical $\mu\nu$ -pair

Forming $(i\nu|\lambda\sigma)$! DGEMM, fixed $\lambda\sigma$, running over μ

Forming $(ia|\lambda\sigma)$! DGEMM, fixed $\lambda\sigma$, running over ν

Forming $(ia|j\sigma)$! DGEMM, fixed σ , direct-product for fixed λ

End of loop over λ

Forming $(ia|jb)$! DGEMM, direct-product for fixed σ

End of loop over σ ! all-reduce operation as barrier

Calculate partial MP2 energy with respect to ij -batch

End of loop over ij -batch

MP2相関エネルギー補正

$$E_{\text{MP2}} = \sum_{ijab} \frac{(ia|jb)[2(ia|jb) - (ib|ja)]}{\varepsilon_i + \varepsilon_j - \varepsilon_a - \varepsilon_b}$$

添字の変換: **4N⁵コスト**

$$(ia|jb) = \sum_{\sigma} C_{\sigma b} \left(\sum_{\lambda} C_{\lambda j} \left(\sum_{\nu} C_{\nu a} \left(\sum_{\mu} C_{\mu i} (\mu\nu | \lambda\sigma) \right) \right) \right)$$

【第一版】

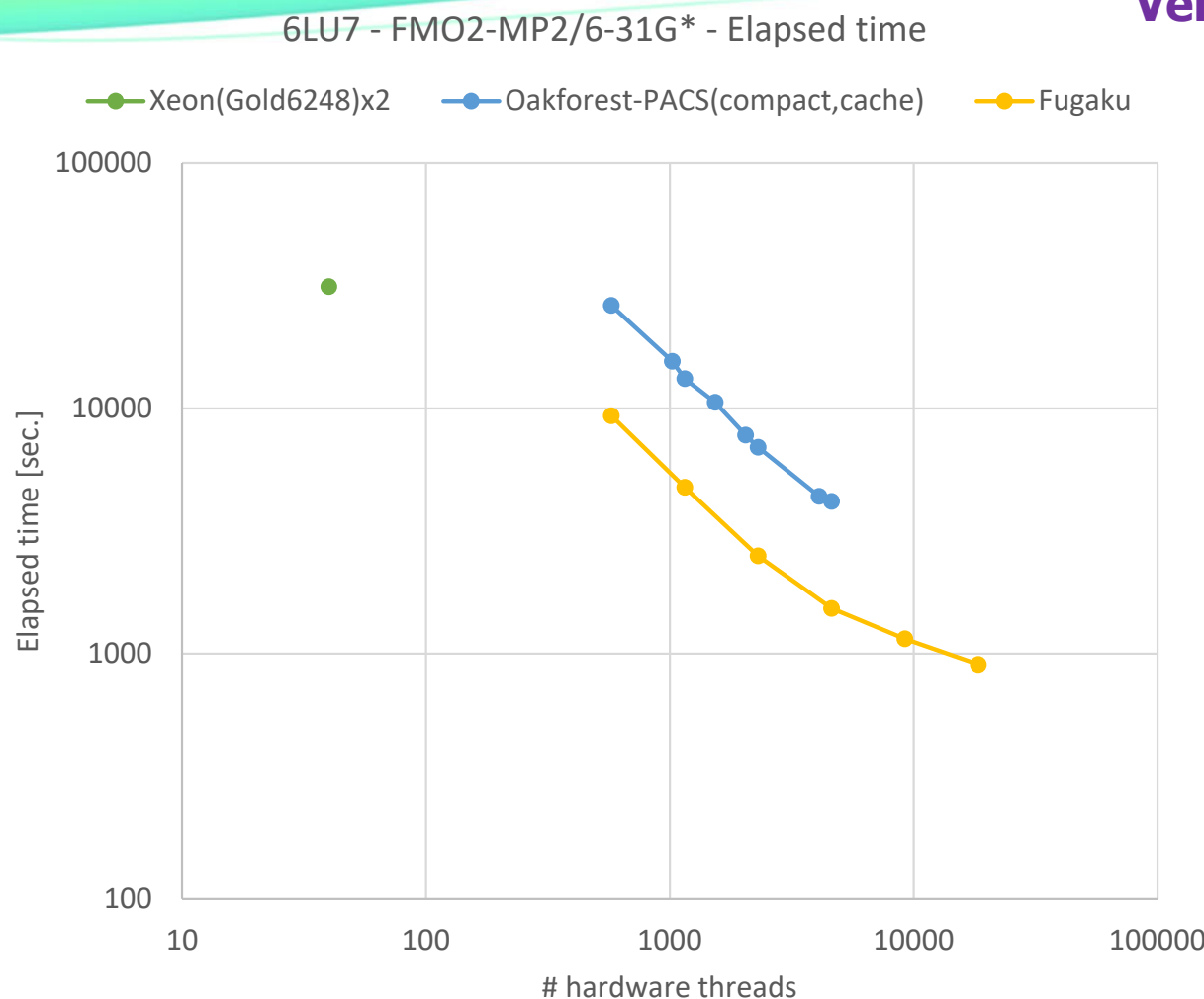
- DAXPYとDDOTを使い、閾値判断を優先
- 実効的演算数を下げる方針、15年程前のチップでは有効

【第二版】

- DGEMMの高性能に期待
- 2段目と4段目をDGEMM処理がデフォルト
- 最近のスパコンでは4段ともDGEMMが最も速い

FMO-MP2/6-31G*ジョブのスケーリング

Ver. 1 Rev. 22を使用



- PDB ID: 6LU7 = SARS-CoV-2 Mpro + N3 ligand の系
- MP2の積分変換は全てDGEMMで実行
- Dimer-ESのCMM近似は(>5のリージョンで使用)
- 「富岳」はOakforest-PACSよりも2.8倍ほど速い

改良の第一弾:Ver. 2 Rev. 4

2020年度の「富岳」の利用で認識したポイント

■プログラム改良の必要性

- ・高速化と大規模化
 - ⇒ 多数のサンプル構造の扱い（Ver. 1 Rev. 22に比して数倍を目標）
 - ⇒ 大型の水和モデルの扱い（水を含めて数万フラグメントを視野）
- ・想定プラットフォーム
 - ⇒ 「富岳」を頂点とする富士通A64FX系のスパコン群
 - ⇒ NEC SX-Aurora TSUBASAやIntel Xeonのスパコン群
- ・BioStation ViewerのIFは不要
 - ⇒ 数千フラグメント系はフツーのPCでは利用不可（メモリ、GPU的に）
 - ⇒ CPFのための情報配列の保持が重い（フラグメント数の自乗依存性）
- ・機能追加
 - ⇒ 統計評価/機械学習向けの記述子を含むデータの出力
 - ⇒ より詳細な相互作用解析と励起状態系のプロパティの評価

■HPCI拠点でのABINIT-MPのライブラリ整備

- ・新規感染症発生時の対応
 - ⇒ 多数の拠点で同時並行的に解析

Ver. 2系の整備開発

■ Ver. 2 Rev. 4(2021年9月16日リリース済)

- ・高速化(A64FX向け)
 - ⇒ 2電子積分生成の**SIMD化**、MPI通信量の削減、プリント量の抑制
 - ⇒ Ver. 1 Rev. 22比で**1.2～1.5倍の加速** (MP2レベル、系と基底に依存)
- ・大規模系の対応
 - ⇒ 結果データ**可視化用の配列を削除** (BioStation ViewerのIFを廃止)
 - ⇒ **1.1万フラグメント**のタンパク質の液滴モデルが扱い可能 (MP3レベル)
- ・機能の追加
 - ⇒ 分極率の算定、多層近似での領域限定相関計算、機械学習データのダンプ

■ Ver. 2 Rev. 8(2023年3月リリースの予定)

- ・高速化(A64FX向け)
 - ⇒ 積分周りの改良の継続、Fock行列構築のif分岐除去、モノマーSCCの加速
 - ⇒ 作業版では**1.5倍～1.7倍の加速**を達成
- ・大規模系の対応
 - ⇒ 液滴モデルで**1.4万フラグメント**の扱いを目指 (MP2/6-31G*)
- ・機能の追加
 - ⇒ PIEDAの詳細化 (分散安定化の分離、静電相互作用の再評価など)
 - ⇒ 励起エネルギーとイオン化エネルギーの算定 (領域限定)

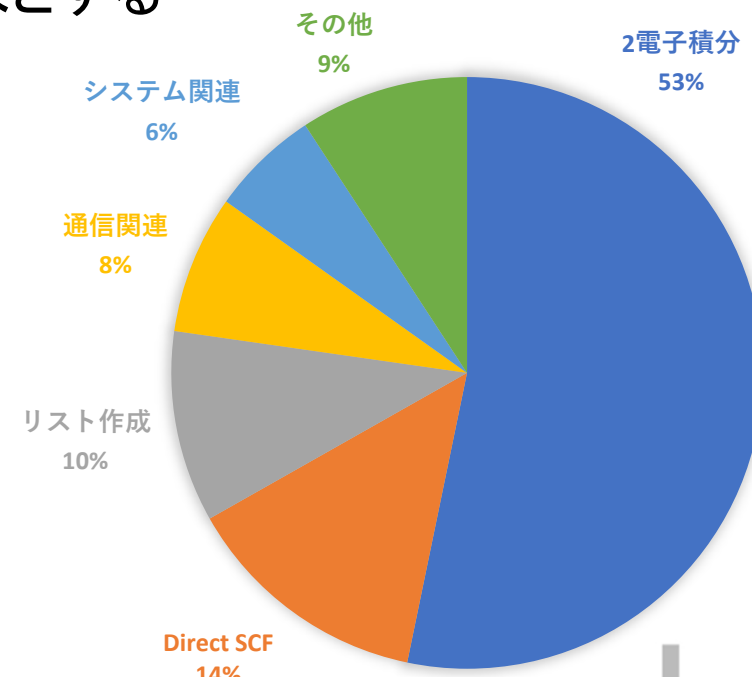
A64FXでのコスト分析 (Ver. 1 Rev. 22)

- Ala₉GlyのFMO-MP2/6-31G*のテストジョブ
- 12スレッド8プロセス (2ノード実行: FX1000)

■ プログラム全体のコスト分布

- 基本プロファイラによるプロセス0番、スレッド0番のコスト分布
- 2電子積分処理が全体の約半分を占める
ただし、81種の処理の総和であるため、
1種あたりのコストは1%前後と非常に小さい
- 通信に関連したコストは8%程度と小さい
- 性能改善に向けたソース分析は以下を対象とする
 - 2電子積分
 - Direct SCF
 - リスト作成

2電子積分: 81種のサブルーチン(sub_*)のコスト総和
Direct SCF: サブルーチンdirect_scf_gmatのコスト
リスト作成: 3種のサブルーチン(get_tei_rs_fix,
get_tei_pq_fix, get_ixijcs_to_proc_pqfix)のコスト総和
通信関連: 通信に関連した処理(putofu_*, opal_*, mca_*)
のコスト総和
システム関連: ライブラリやOSなどに関連した処理のコスト総和
その他: 上記以外の処理の総和



2電子積分の生成の改善#1

- 改良指針(井上G@富士通の助言)
 - OCL指示詞の導入による**SIMD化の促進**、一部スカラ変数化も必要
 - コンパイラオプションの変更
- リファレンス
 - オリジナルコード、Ala₉GlyのMP2ジョブ
 - 2ノード実行、12スレッド(OpenMP) × 8プロセス(MPI)
 - コンパイラオプション:-O3 -Knosimd -Koptmsg=2 -V
 - 6-31G*//cc-pVZ: 153.0s/134.5s//337.4s/306.1s (**MP2;AXPY/GEMM**)
- 手動でのSIMD化と結果(その1)
 - オリジナルコード+SSSS, PSSS, SPSS, SSPS, SSSP, PPSS, PSPS, PSSP, SPPS, SPSP, SSPP, DSSS, SDSS, SSDS, SSSD (スカラ変数化)
 - OCL指示詞の追加
 - コンパイラオプション:-O3 -Knosimd -Kocl
 - 6-31G*//cc-pVZ: 142.5s/124.5s(7.4%)//294.4s/254.0s(17.0%)
(cc-pVDZの場合、オリジナルコードと比較して全体で**17.0%**の高速化)

2電子積分の生成の改善#2

- 手動での最適化と結果(その2)
 - コンパイラオプション:-Kfast-Knosimd -Kocl
 - 6-31G*/cc-pVZ: 116.2s(24.1%)/239.6s(29.0%)(DGEMMで4段のみ)
 - 6-31G*/cc-pVZ: 78.3s(48.8%)/165.1s(51.1%)(Buffered direct SCF)
- 補足説明
 - SIMD化はOCL指示詞の挿入だけで足らず、スカラ変数化なども必要
 - 地道な修正作業を多くのルーチンで実施
(Intel Xeon系では加速の効果は視られず)
 - Buffered direct SCFでは生成した2電子積分を可能な限りメモリに保持
(積分計算の回数 자체を減らす/メモリ管理はシビアでやや不安定)
 - MP2では積分をバッファするよりも変換用の作業配列に割り当てるべき
(バッチ数が増えると積分計算の回数が増える)

SIMD化した積分ルーチンの例(sssp)

```
subroutine sub_sssp(zetam, pm, dkabm, etam, qm, dkcdm, &
    ma, mb, mc, md, ngij, ngkl, a, b, c, d, sint, tv)
```

!

! Nov. 05, '02

! T. NAKANO & Y. ABE

!

use constant

use auxiliary_integral_table

use integral_parameter

implicit none

```
real(8), intent(in)::zetam(*), pm(3,*), dkabm(*), &
    etam(*), qm(3,*), dkcdm(*)
```

integer, intent(in)::ma, mb, mc, md, ngij, ngkl

real(8), intent(in)::a(3), b(3), c(3), d(3), tv

real(8), intent(out)::sint(*)

!-----

integer npq, nrs, ix

```
real(8) p(3), q(3), qd(3), pq(3), wq(3), f(0:max_m), &
    dkab, zeta, dkcd, eta, ze, rz, re, rho, a0, tt
```

integer ts, i, j, k, l, m

real(8) delta, t_inv

real(8) ssss(0:1), f0, f1, qd1, qd2, qd3, wq1, wq2, wq3

sint(1:3) = 0.0_8

!ocl eval
!ocl fp_relaxed
!ocl fp_contract
!ocl noswp
!ocl eval_concurrent
!ocl SIMD

OCL指示子

```
do npq=1, ngij
    if (abs(dkabm(npq)) > tv) then
        do nrs=1, ngkl
            if (abs(dkabm(npq)*dkcdm(nrs)) > tv) then
                ze = 1.0_8/(zetam(npq)+etam(nrs))
                a0 = dkabm(npq)*dkcdm(nrs)*sqrt(ze)
                rz = etam(nrs)*ze
                re = zetam(npq)*ze
                rho = zetam(npq)*rz
```

do i=1, 3

```
    qd(i) = qm(i, nrs)-d(i)
    pq(i) = qm(i, nrs)-pm(i, npq)
    wq(i) = -re*pq(i)
```

end do

qd1 = qm(1, nrs)-d(1)

qd2 = qm(2, nrs)-d(2)

qd3 = qm(3, nrs)-d(3)

wq1 = -re*pq(1)

wq2 = -re*pq(2)

wq3 = -re*pq(3)

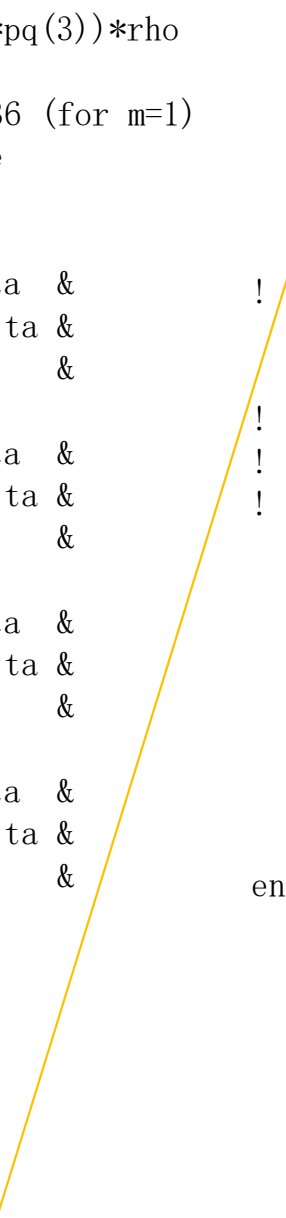
スカラ変数化

以下、次頁

SIMD化した積分ルーチンの例(続き)

```

tt = (pq(1)*pq(1)+pq(2)*pq(2)+pq(3)*pq(3))*rho
!
if (tt <= 38.0_8) then ! Tf = 2*m+36 (for m=1)
  ts    = 0.5_8+tt*fmt_inv_step_size
  delta = ts*fmt_step_size-tt
!
f(0) = ((fmt_table(3,ts)*inv6*delta &
          + fmt_table(2,ts)*inv2)*delta &
          + fmt_table(1,ts))*delta &
          + fmt_table(0,ts)
f(1) = ((fmt_table(4,ts)*inv6*delta &
          + fmt_table(3,ts)*inv2)*delta &
          + fmt_table(2,ts))*delta &
          + fmt_table(1,ts)
f0   = ((fmt_table(3,ts)*inv6*delta &
          + fmt_table(2,ts)*inv2)*delta &
          + fmt_table(1,ts))*delta &
          + fmt_table(0,ts)
f1   = ((fmt_table(4,ts)*inv6*delta &
          + fmt_table(3,ts)*inv2)*delta &
          + fmt_table(2,ts))*delta &
          + fmt_table(1,ts)
!
else
  t_inv = inv2/tt
  f(0) = sqrt(pi_over2*t_inv)
  f(1) = t_inv*f(0)
  f0   = sqrt(pi_over2*t_inv)
  f1   = t_inv*f0
end if
!
```



```

!-----  

! ERI code generator Ver. 20020228  

! 2002/02/28  

! T. Nakano  

!  

! (sssp)  

!  

ssss(0:1)=f(0:1)*a0  

ssss(0)=f0*a0  

ssss(1)=f1*a0  

do l=1, 3  

  sint(1) = sint(1)+qd(1)*ssss(0)+wq(1)*ssss(1)  

end do  

sint(1) = sint(1)+qd1*ssss(0)+wq1*ssss(1)  

sint(2) = sint(2)+qd2*ssss(0)+wq2*ssss(1)  

sint(3) = sint(3)+qd3*ssss(0)+wq3*ssss(1)  

!-----  

end if  

end do  

end if  

end do  

end subroutine sub_sssp
!
```

Ver. 2 Rev. 4での速度向上の例#1

HIV-1 protease / FMO-MP2/6-31G* / Benchmark 100 nodes @ Fugaku

Ver. 1 Rev. 22

```
=====
## TIME PROFILE
=====

Elapsed time: Monomer SCF      =    452.4 seconds
Elapsed time: Monomer MP2       =     17.4 seconds
Elapsed time: Monomer (Total)   =   472.7 seconds
Elapsed time: Dimer ES          =    99.7 seconds
Elapsed time: Dimer SCF         =   278.6 seconds
Elapsed time: Dimer MP2         =   269.1 seconds
Elapsed time: Dimer (Total)     =   695.3 seconds
Elapsed time: FMO (Total)       = 1168.0 seconds

## Time profile

Number of cores (total)      =    200
Number of cores (fragment)   =      1
THREADS (FRAGMENT)           =     24

Total time = 1172.8 seconds
```

Ver. 2 Rev. 4

```
=====
## TIME PROFILE
=====

Elapsed time: Monomer SCF      =    354.7 seconds
Elapsed time: Monomer MP2       =     16.0 seconds
Elapsed time: Monomer (Total)   =   373.4 seconds
Elapsed time: Dimer ES          =   109.5 seconds
Elapsed time: Dimer SCF         =   221.7 seconds
Elapsed time: Dimer MP2         =   242.4 seconds
Elapsed time: Dimer (Total)     =   673.4 seconds
Elapsed time: FMO (Total)       = 1046.8 seconds

## Time profile

Number of cores (total)      =    200
Number of cores (fragment)   =      1
THREADS (FRAGMENT)           =     24

Total time = 1050.2 seconds
```

- ・ Ver. 2 Rev. 4はA64FX向け積分SIMD化、「不要配列」の整理などを反映済み
- ・ より大型の系ではMP2ジョブで2-5割程度の速度向上
- ・ cc-pVDZの方が短縮長が長いために加速効果が出やすい（他系でも評価）

Ver. 2 Rev. 4での速度向上の例#2

6VXX / FMO-MP2/6-31G* / Benchmark 8 racks @ Fugaku

Ver. 1 Rev. 22

```
=====
## TIME PROFILE
=====

Elapsed time: Monomer SCF      =      2028.7 seconds
Elapsed time: Monomer MP2       =       15.0 seconds
Elapsed time: Monomer (Total)   =     2068.6 seconds
Elapsed time: Dimer ES          =      353.9 seconds
Elapsed time: Dimer SCF         =      362.4 seconds
Elapsed time: Dimer MP2         =      302.6 seconds
Elapsed time: Dimer (Total)     =    1603.4 seconds
Elapsed time: FMO (Total)       =    3672.1 seconds

## Time profile

Number of cores (total)      =     3072
Number of cores (fragment)   =       1
THREADS (FRAGMENT)           =      48

Total time =                 3759.3 seconds
```

Ver. 2 Rev. 4

```
=====
## TIME PROFILE
=====

Elapsed time: Monomer SCF      =      1801.6 seconds
Elapsed time: Monomer MP2       =      14.2 seconds
Elapsed time: Monomer (Total)   =     1839.1 seconds
Elapsed time: Dimer ES          =      314.2 seconds
Elapsed time: Dimer SCF         =      335.7 seconds
Elapsed time: Dimer MP2         =      294.6 seconds
Elapsed time: Dimer (Total)     =    1188.5 seconds
Elapsed time: FMO (Total)       =    3027.7 seconds

## Time profile

Number of cores (total)      =     3072
Number of cores (fragment)   =       1
THREADS (FRAGMENT)           =      48

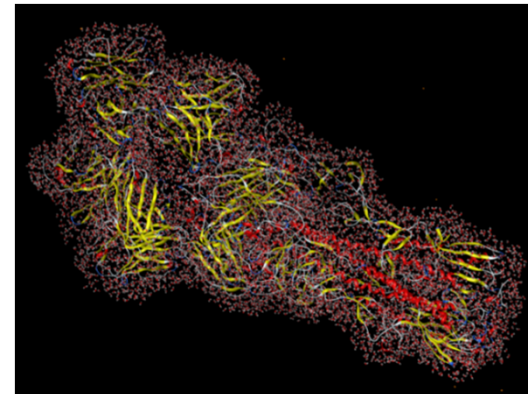
Total time =                 3090.8 seconds
```

- Ver. 2 Rev. 4はA64FX向け積分SIMD化、「不要配列」の整理などを反映済み
- 対Ver. 1 Rev.22で1.2倍の加速 (cc-pVDZ; 8769.9秒→6356.6秒で1.4倍)

超大規模系への対応例

従前の2倍の系が計算可能に

- ・インフルHA+Fab抗体×2(PDB id: 1KEN)の水和モデル
- ・フラグメント総数は11307、水と対イオンを含む
- ・「不老」の1ラック、FMO-MP2/cc-pVDZは9.2時間で完走
- ・「富岳」の8ラック、FMO-MP3/cc-pVDZは6.7時間で完走
- ・FMO-MP2ではモノマーSCCが半分弱のコスト ⇒ 要対応
- ・ダイマー部分で「謎の時間」が顕在化 ⇒ 要対応
- ・水クラスターでは2万フラグメントのMP2ジョブも完走確認



```
=====
## TIME PROFILE
=====

Elapsed time: Monomer SCF      =    14546.6 seconds
Elapsed time: Monomer MP2      =     32.5 seconds
Elapsed time: Monomer (Total)  =   14741.5 seconds
Elapsed time: Dimer ES          =    4021.8 seconds
Elapsed time: Dimer SCF          =    7215.9 seconds
Elapsed time: Dimer MP2          =   2492.4 seconds
Elapsed time: Dimer (Total)    =  18240.6 seconds
Elapsed time: FMO (Total)       = 32982.1 seconds

## Time profile

Number of cores (total)      =    384
Number of cores (fragment)   =      1
THREADS (FRAGMENT)          =     48

Total time =      33120.9 seconds
```

```
=====
## TIME PROFILE
=====

Elapsed time: Monomer SCF      =    7114.0 seconds
Elapsed time: Monomer MP3      =    343.1 seconds
Elapsed time: Monomer (Total)  =  7532.4 seconds
Elapsed time: Dimer ES          =    534.8 seconds
Elapsed time: Dimer SCF          =    891.4 seconds
Elapsed time: Dimer MP3          =   4265.7 seconds
Elapsed time: Dimer (Total)    = 16306.3 seconds
Elapsed time: FMO (Total)       = 23838.7 seconds

## Time profile

Number of cores (total)      =    3072
Number of cores (fragment)   =      1
THREADS (FRAGMENT)          =     48

Total time =      24203.2 seconds
```

HPCI拠点でのライブラリ整備(2021年12月時点)

赤:A64FX, 緑:SX-Aurora TSUBASA, 紫:Xeon

■登録サイトと版

- ・北大「Grand Chariot」 : Ver. 1 Rev. 22 & Ver. 2 Rev. 4
- ・東北大「AOBA-A」 : Ver. 1 Rev. 22 (Vectorized version)
- ・JCAHPC「Oakforest-PACS」 : Ver. 1 Rev. 22 (system decommissioned)
- ・東大「Wisteria / Odyssey & Aquarius」 : Ver. 1 Rev. 22 & Ver. 2 Rev. 4
- ・東工大「TSUBAME3.0」 : Ver. 1 Rev. 22 & Ver. 2 Rev. 4
- ・海洋機構「Earth Simulator 4」 : Ver. 1 Rev. 22 (Vectorized version)
- ・分子研「RCCS」 : Ver. 1 Rev. 22 & Ver. 2 Rev. 4
- ・名大「不老 Type I」 : Ver. 1 Rev. 22 & Ver. 2 Rev. 4
- ・阪大「SQUID」 : Ver. 1 Rev. 22 (Vectorized version)
- ・R-CCS「富岳」 : Ver. 1 Rev. 22 & Ver. 2 Rev. 4
- ・計算科学振興財団「FOCUSスパコン」 : Ver. 1 Rev. 22 & Ver. 2 Rev. 4
- ・九大「ITO Subsystem-A」 : Ver. 1 Rev. 22 & Ver. 2 Rev. 4

- ・Ver. 1 Rev. 22はBioStation Viewerとの関係で当面は併存
- ・ベクトル化Ver. 2 Rev. 4(準備中)も順次追加登録の予定
- ・2022年度中にはVer. 2 Rev. 4からRev. 8に更新の予定
- ・HPCI拠点のスパコン機種変更に応じた対応も適宜行う方針

Ver. 2 Rev. 8へ向けての改良

Fock行列の構築の改善

- 改良指針(井上G@富士通の助言)
 - 14個のif分岐(添字の同値性判断)が最適化を阻害、アクセスも不連続に
- 手動での最適化と結果(ローカル版で評価中)
 - 基底関数添字の同値性を $(1/2)^n$ ($n=1,2,3$)で繰り込み
 - if制御は積分閾値の篩い落としのみ
 - 系にも拡張が最大で30%の加速
(Fock処理の修正部分のみ)
- Fock行列の対角化(今後要対応)
 - LAPACKルーチンを利用
 - 正準直交化を導入
(線形従属性問題も回避)

```

do p=ixi1,ixi2
  do q=ixj1,ixj2
    do r=ixk1,ixk2
      do s=ixl1,ixl2
        ix=ix+1
        val = sint(ix)
        if((abs(val) <= tv)) cycle
        fock(q,p)=fock(q,p)+dc(s,r)*val*2.d0! クーロン項
        fock(s,r)=fock(s,r)+dc(q,p)*val*2.d0
        fock(r,p)=fock(r,p)-dc(s,q)*val*0.5d0! 交換項
        fock(s,p)=fock(s,p)-dc(r,q)*val*0.5d0
        fock(r,q)=fock(r,q)-dc(s,p)*val*0.5d0
        fock(s,q)=fock(s,q)-dc(r,p)*val*0.5d0
      end do
    end do
  end do
end do

```

追加の改善

- 2電子積分ルーチンのSIMD化とループ分割(2021/12/9版)
 - SIMD化に加えて**ループ分割**を実施
(SSSS, PSSS, SPSS, SSPS, SSSP, PPSS, PSPS, PSSP,
SPPS, SPSP, SSPP, DSSS, SDSS, SSDS, SSSD)
 - 積分タイプにも拡張するが**20%～50%**の加速
 - ループ分割はレジスタスピルの低減に効果？
 - 「不老」でのピーク性能比はMP2で2.4～2.8% (MP4だと9.5～10%)
- モノマーSCCの外挿法の変更(2022/7/13版)
 - アンダーソン外挿をFock行列ベースから**密度行列ベース**へ (オプション)
 - 系と基底関数にも拡張するが反復回数を**1,2割削減** (むしろ増えることも)
- その他
 - IFIEでの「不要プリント」の抑制 (オプション)
 - モノマーSCCでのHF部分の簡易積分バッファリング (試行中)
 - 通信量削減のためにダイマーHFの収束判定をスキップ (テスト中)
 - 積分アルゴリズムの変更 (HRR方式、SX向けベクトル化版の試行)

改良ssppルーチン#1

```
subroutine sub_sspp(zetam, pm, dkabm, etam, qm, dkcdm, &
    ma, mb, mc, md, ngij, ngkl, a, b, c, d, sint, tv)
!
!      Nov. 06, '02
!      T. NAKANO & Y. ABE
!
use constant
use auxiliary_integral_table
use integral_parameter
implicit none
real(8), intent(in) :: zetam(*), pm(3,*), dkabm(*), &
    etam(*), qm(3,*), dkcdm(*)
integer, intent(in) :: ma, mb, mc, md, ngij, ngkl
real(8), intent(in) :: a(3), b(3), c(3), d(3), tv
real(8), intent(out) :: sint(*)
!-----
integer npq, nrs, i, k, m, ix
real(8) :: pq(3), ze, rz, re, rho, tt

integer ts
real(8) delta, t_inv, zsss
real(8) :: f0, f1, f2
real(8) ssss(0:2), ssps(1:3, 0:1), sspp(1:3, 1:3, 0:0)

real(8) :: xqc(ngij*ngkl, 3), xqd(ngij*ngkl, 3), xwq(ngij*ngkl, 3)
real(8) :: xtt(ngij*ngkl), xre(ngij*ngkl), xeta2(ngij*ngkl), xa0(ngij*ngkl)
integer :: npqrs
```

改良ssppルーチン#2

```

ix = 0
!ocl eval
!ocl fp_relaxed
!ocl fp_contract
!ocl noswp
!ocl eval_concurrent
!ocl SIMD
do npq=1, ngij
    if (abs(dkabm(npq)) <= tv) cycle
    do nrs=1, ngkl
        if (abs(dkabm(npq)*dkcdm(nrs)) <= tv) cycle
        ix = ix + 1

        ze    = 1.0_8/(zetam(npq)+etam(nrs))
        rz    = etam(nrs)*ze
        re    = zetam(npq)*ze
        rho   = zetam(npq)*rz
        do i=1, 3
            pq(i) = qm(i, nrs)-pm(i, npq)
            xqc(ix, i) = qm(i, nrs)-c(i)
            xqd(ix, i) = qm(i, nrs)-d(i)
            xwq(ix, i) = -re*pq(i)
        end do

        xtt(ix) = (pq(1)*pq(1)+pq(2)*pq(2)+pq(3)*pq(3))*rho
        xre(ix) = re
        xa0(ix)  = dkabm(npq)*dkcdm(nrs)*sqrt(ze)
        xeta2(ix) = 0.5_8/etam(nrs)

    enddo
enddo

```

改良ssppルーチン#3

```

sint(1:9)=0.0_8
!ocl eval
!ocl fp_relaxed
!ocl fp_contract
!ocl noswp
!ocl eval_concurrent
!ocl SIMD
do npqrs = 1, ix
  tt = xtt(npqrs)
  if (tt <= 40.0_8) then ! Tf=2*m+36
    ts=0.5_8+tt*fmt_inv_step_size
    delta=ts*fmt_step_size-tt
    f0=((fmt_table(03,ts)*inv6*delta &
          +fmt_table(02,ts)*inv2)*delta &
          +fmt_table(01,ts))*delta &
          +fmt_table(00,ts)
    f1=((fmt_table(04,ts)*inv6*delta &
          +fmt_table(03,ts)*inv2)*delta &
          +fmt_table(02,ts))*delta &
          +fmt_table(01,ts)
    f2=((fmt_table(05,ts)*inv6*delta &
          +fmt_table(04,ts)*inv2)*delta &
          +fmt_table(03,ts))*delta &
          +fmt_table(02,ts)
  else
    t_inv=inv2/tt
    f0=sqrt(pi_over2*t_inv)
    f1=t_inv*f0
    f2=t_inv*3.0_8*f1
  end if
end

```

```

ssss(0)=f0*xa0(npqrs)
ssss(1)=f1*xa0(npqrs)
ssss(2)=f2*xa0(npqrs)

do m=0, 1
  ssps(1, m)=xqc(npqrs, 1)*ssss(m)+xwq(npqrs, 1)*ssss(m+1)
  ssps(2, m)=xqc(npqrs, 2)*ssss(m)+xwq(npqrs, 2)*ssss(m+1)
  ssps(3, m)=xqc(npqrs, 3)*ssss(m)+xwq(npqrs, 3)*ssss(m+1)
end do

do k=1, 3
  sspp(k, 1, 0)=xqd(npqrs, 1)*ssps(k, 0)+xwq(npqrs, 1)*ssps(k, 1)
  sspp(k, 2, 0)=xqd(npqrs, 2)*ssps(k, 0)+xwq(npqrs, 2)*ssps(k, 1)
  sspp(k, 3, 0)=xqd(npqrs, 3)*ssps(k, 0)+xwq(npqrs, 3)*ssps(k, 1)
end do

zssss=xeta2(npqrs)*(ssss(0)-xre(npqrs)*ssss(1))

sspp(1, 1, 0)=sspp(1, 1, 0)+zssss
sspp(2, 2, 0)=sspp(2, 2, 0)+zssss
sspp(3, 3, 0)=sspp(3, 3, 0)+zssss

sint(1) = sint(1)+sspp(1, 1, 0)
sint(2) = sint(2)+sspp(1, 2, 0)
sint(3) = sint(3)+sspp(1, 3, 0)
sint(4) = sint(4)+sspp(2, 1, 0)
sint(5) = sint(5)+sspp(2, 2, 0)
sint(6) = sint(6)+sspp(2, 3, 0)
sint(7) = sint(7)+sspp(3, 1, 0)
sint(8) = sint(8)+sspp(3, 2, 0)
sint(9) = sint(9)+sspp(3, 3, 0)

enddo

end subroutine sub_sspp

```

積分ルーチンのループ分割例

Sub_ssssの例

```

do npq=1,npqj
if (abs(dkabm(npq)) > tv) then
do nrs=1,ngkl
  if (abs(dkabm(npq)*dkcdm(nrs)) > tv) then
    ze = 1.0_8/(zetam(npq)+etam(nrs))
    a0 = dkabm(npq)*dkcdm(nrs)*sqrt(ze)
    rz = etam(nrs)*ze
    rho = zetam(npq)*rz
    tt = ((qm(1,nrs)-pm(1,npq))*(qm(1,nrs)-pm(1,npq)) &
           +(qm(2,nrs)-pm(2,npq))*(qm(2,nrs)-pm(2,npq)) &
           +(qm(3,nrs)-pm(3,npq))*(qm(3,nrs)-pm(3,npq)))*rho
    if (tt <= 36.0_8) then ! Tf = 2*m+36 (for the case of m=0)
      ts = 0.5_8+tt*fmt_inv_step_size
      delta = ts*fmt_step_size-tt
      ssss(0) = (((fmt_table(3,ts)*inv6*delta &
                    +fmt_table(2,ts)*inv2)*delta &
                    +fmt_table(1,ts))*delta &
                    +fmt_table(0,ts))*a0
    else
      ssss(0) = sqrt(pi_over4/tt)*a0
    end if
    sint(1) = sint(1)+ssss(0)
  end if
end do
end if
end do

```

```

do npq=1,npqj
if (abs(dkabm(npq)) <= tv) cycle
do nrs=1,ngkl
  if (abs(dkabm(npq)*dkcdm(nrs)) <= tv) cycle
  ix = ix + 1
  ze = 1.0_8/(zetam(npq)+etam(nrs))
  xa0(ix) = dkabm(npq)*dkcdm(nrs)*sqrt(ze)
  rz = etam(nrs)*ze
  rho = zetam(npq)*rz
  xtt(ix) = ((qm(1,nrs)-pm(1,npq))*(qm(1,nrs)-pm(1,npq)) &
               +(qm(2,nrs)-pm(2,npq))*(qm(2,nrs)-pm(2,npq)) &
               +(qm(3,nrs)-pm(3,npq))*(qm(3,nrs)-pm(3,npq)))*rho
enddo
enddo
sint(1) = 0.0_8
do npqrs=1,ix
  tt = xtt(npqrs)
  if (tt <= 36.0_8) then ! Tf = 2*m+36 (for the case of m=0)
    ts = 0.5_8+tt*fmt_inv_step_size
    delta = ts*fmt_step_size-tt
    ssss(0) = (((fmt_table(3,ts)*inv6*delta &
                  +fmt_table(2,ts)*inv2)*delta &
                  +fmt_table(1,ts))*delta &
                  +fmt_table(0,ts))*xa0(npqrs)
  else
    ssss(0) = sqrt(pi_over4/tt)*xa0(npqrs)
  end if
  sint(1) = sint(1)+ssss(0)
enddo

```

- ・満田氏はSIMD化、ループ分割の試行、さらに詳細な性能評価を実施
- ・積分ルーチンの今後のチューニングに関する有効指針を提示

「不老」でのジョブ時間の比較#1

Ala₉Gly - FMO-MP2 (MP2 - all DGEMM) / total job time / 10
fragments

12 threads - 8 process @ 2 nodes

	Ver. / Rev.	Date	Sec.	Min.	Acc.
6-31G*	V1 R22	2020/6/3	134.4	2.24	1.00
	V2 R4	2021/9/16	116.6	1.94	1.15
	V2 R4改	2021/12/9	96.4	1.61	1.39
	V2 R4改	2022/7/13	91.9	1.53	1.46
	V2 R4改	2022/8/9	76.6	1.28	1.75
cc-pVDZ	V1 R22	2020/6/3	303.6	5.06	1.00
	V2 R4	2021/9/16	240.4	4.01	1.26
	V2 R4改	2021/12/9	187.8	3.13	1.62
	V2 R4改	2022/7/13	189.5	3.16	1.60
	V2 R4改	2022/8/9	159.2	2.65	1.91

Chignolin - FMO-MP2 (MP2 - all DGEMM) / total job time / 10
fragments

12 threads - 8 process @ 2 nodes

	Ver. / Rev.	Date	Sec.	Min.	Acc.
6-31G*	V1 R22	2020/6/3	719.6	11.99	1.00
	V2 R4	2021/9/16	647.3	10.79	1.11
	V2 R4改	2021/12/9	547.8	9.13	1.31
	V2 R4改	2022/7/13	500.9	8.35	1.44
	cc-pVDZ	V1 R22	1738.8	28.98	1.00
	V2 R4	2021/9/16	1491.5	24.86	1.17
	V2 R4改	2021/12/9	1230.1	20.50	1.41
	V2 R4改	2022/7/13	1226.9	20.45	1.42

- ・ SIMD化とループ分割の併用は有効
- ・ 基底関数の短縮の長いcc-pVDZの方が加速は顕著
- ・ Ala₉GlyではHFでの積分バッファリングを試行(最下段)
- ・ 同じ10残基(フラグメント)でも効果が異なる

「不老」でのジョブ時間の比較#2

Trp-Cage - FMO-MP2 (MP2 - all DGEMM) / total job time / **20**
fragments

24 threads - 20 process @ 10 nodes

	Ver. / Rev.	Date	Sec.	Min.	Acc.
6-31G*	V1 R22	2020/6/3	469.6	7.83	1.00
	V2 R4	2021/9/16	413.9	6.90	1.13
	V2 R4改	2021/12/9	344.2	5.74	1.36
	V2 R4改	2022/7/13	294.2	4.90	1.60
cc-pVDZ	V1 R22	2020/6/3	1059.9	17.67	1.00
	V2 R4	2021/9/16	876.1	14.60	1.21
	V2 R4改	2021/12/9	706.7	11.78	1.50
	V2 R4改	2022/7/13	622.0	10.37	1.70

Crambin - FMO-MP2 (MP2 - all DGEMM) / total job time / **43**
fragments

24 threads - 43 process @ 22 nodes

	Ver. / Rev.	Date	Sec.	Min.	Acc.
6-31G*	V1 R22	2020/6/3	572.6	9.54	1.00
	V2 R4	2021/9/16	509.4	8.49	1.12
	V2 R4改	2021/12/9	444.5	7.41	1.29
	V2 R4改	2022/7/13	457.7	7.63	1.25
cc-pVDZ	V1 R22	2020/6/3	1507.6	25.13	1.00
	V2 R4	2021/9/16	1232.6	20.54	1.22
	V2 R4改	2021/12/9	1005.2	16.75	1.50
	V2 R4改	2022/7/13	973.0	16.22	1.55

- モノマーSCCのアンダーソン外挿(密度)は効く場合も多々ある(「必ず」ではない)
- DNA-ウラニルの複合体の水和系では81回の反復が46回に削減されたことも

「不老」でのジョブ時間の比較#3

200～400残基のタンパク質が応用計算の主対象になっている

HIV-Protease - FMO-MP2 (MP2 - all DGEMM) / total job time / 203
fragments

24 threads - 204 process @ 102 nodes

	Ver. / Rev.	Date	Sec.	Min.	Acc.
6-31G*	V1 R22	2020/6/3	971.0	16.18	1.00
	V2 R4	2021/9/16	866.0	14.43	1.12
	V2 R4改	2021/12/9	777.8	12.96	1.25
	V2 R4改	2022/7/13	741.9	12.37	1.31
cc-pVDZ	V1 R22	2020/6/3	2101.4	35.02	1.00
	V2 R4	2021/9/16	1737.2	28.95	1.21
	V2 R4改	2021/12/9	1526.5	25.44	1.38
	V2 R4改	2022/7/13	1564.4	26.07	1.34

SARS-CoV-2 Mainprotease - FMO-MP2 (MP2 - all DGEMM) / total job time / 395 fragments

24 threads - 384 process @ 192 nodes

	Ver. / Rev.	Date	Sec.	Min.	Acc.
6-31G*	V1 R22	2020/6/3	996.8	16.61	1.00
	V2 R4	2021/9/16	874.2	14.57	1.14
	V2 R4改	2021/12/9	793.6	13.23	1.26
	V2 R4改	2022/7/13	741.6	12.36	1.34
cc-pVDZ	V1 R22	2020/6/3	2230.6	37.18	1.00
	V2 R4	2021/9/16	1882.0	31.37	1.19
	V2 R4改	2021/12/9	1633.3	27.22	1.37
	V2 R4改	2022/7/13	1475.6	24.59	1.51

- ・全体としてcc-pVDZ基底の方が優位に加速が得られる場合が多い
- ・「富岳」でも少しテストしているが、加速は(やや)大きめに出る

まとめ、今後の方向性

まとめ、今後の方向性

■高速化

- ・2電子積分のSIMD化とループ分割、Fock行列構築の改良、モノマーSCC加速
⇒ MP2ジョブでは(従前比で) **1.5~1.7倍** (改造部分のみは**1.8倍~2.2倍**)
⇒ 22年度内に**2倍**を達成したい

■大規模化

- ・可視化用の「不要配列」の削除
⇒ **1.1万フラグメント**のMP3計算も可 (残基数2.2千の水和タンパク質)

■今後

- ・2電子積分のHRRアルゴリズムの検討
⇒ 検討&テスト中 (**演算数は低減**、ループの最適化は今後)
- ・複数の積分計算ルーチンの使い分け
⇒ VRRとHRRの**混成使用** (系や基底に拠る自動選択の可能性)
⇒ 最終目標の加速は(従前比で) **3倍**
- ・タンパク質の水和モデルでの水のクラスター化の前処理
⇒ **実効フラグメント数を削減** (3.3千残基のSタンパク質の計算で試行)
- ・GPUでの実行もそろそろ要検討すべきか
⇒ **ポスト「富岳」**を意識

Head-Gordon&PopleのHRR積分生成

TABLE I. Generation of $(dd|ss)$ integrals from $[ss|ss]$ integrals. The functional notation VRR() and HRR() indicates applying the VRR and the HRR with the required lower ERI classes listed as arguments. All contracted classes have $m = 0$.

Target class: $(dd|ss)$

Applying the horizontal recurrence relation:

$$\begin{aligned} (dd|ss) &= \text{HRR}\{(fp|ss), (dp|ss)\} \\ (fp|ss) &= \text{HRR}\{(gs|ss), (fs|ss)\} \\ (dp|ss) &= \text{HRR}\{(fs|ss), (ds|ss)\} \end{aligned}$$

Classes to be formed by contraction of primitive integrals:

$$(gs|ss), (fs|ss), (ds|ss)$$

Applying the vertical recurrence relation:

$$\begin{aligned} [gs|ss]^{(0)} &= \text{VRR}\{[fs|ss]^{(0,1)}, [ds|ss]^{(0,1)}\} \\ [fs|ss]^{(0,1)} &= \text{VRR}\{[ds|ss]^{(0,2)}, [ps|ss]^{(0,2)}\} \\ [ds|ss]^{(0,2)} &= \text{VRR}\{[ps|ss]^{(0,3)}, [ss|ss]^{(0,3)}\} \\ [ps|ss]^{(0,3)} &= \text{VRR}\{[ss|ss]^{(0,4)}\} \\ [ss|ss]^{(0,4)} &(\text{to be formed directly}) \end{aligned}$$

- 水平漸化式(HRR)の方が演算量は少ない
(展開項が短い場合は例外)
- 積分コードの自動生成プログラムはアリ
チューニングの余地を含め検討中

TABLE II. Generation of $(pp|ss)$ ERIs and first derivatives. ERIs with subscript α , β , and γ are formed with exponent-scaled contraction coefficients from centers 1, 2, and 3, respectively.

Target classes: $(pp|ss)$, $(dp|ss)_\alpha$, $(sp|ss)$,
 $(pd|ss)_\beta$, $(ps|ss)$, $(pp|ps)_\gamma$

Applying the horizontal recurrence relation:

$$\begin{aligned} (pd|ss)_\beta &= \text{HRR}\{(dp|ss)_\beta, (pp|ss)_\beta\} \\ (dp|ss)_\alpha &= \text{HRR}\{(fs|ss)_\alpha, (ds|ss)_\alpha\} \\ (dp|ss)_\beta &= \text{HRR}\{(fs|ss)_\beta, (ds|ss)_\beta\} \\ (pp|ps)_\gamma &= \text{HRR}\{(ds|ps)_\gamma, (ps|ps)_\gamma\} \\ (pp|ss) &= \text{HRR}\{(ds|ss), (ps|ss)\} \\ (pp|ss)_\beta &= \text{HRR}\{(ds|ss)_\beta, (ps|ss)_\beta\} \\ (sp|ss) &= \text{HRR}\{(ps|ss), (ss|ss)\} \end{aligned}$$

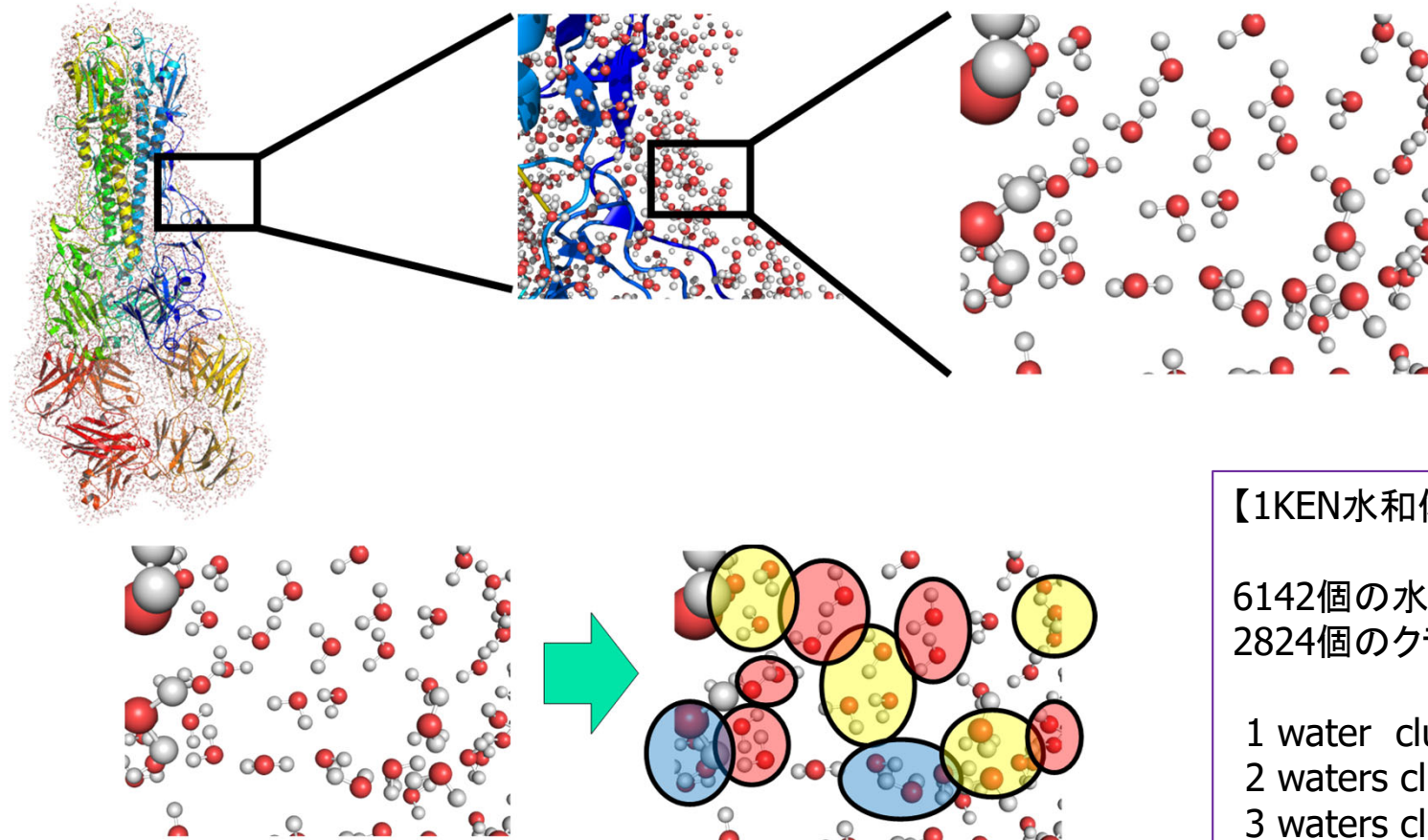
Classes to be formed by contraction of primitive integrals:

$$\begin{aligned} (fs|ss)_\alpha, (fs|ss)_\beta, (ds|ps)_\gamma, (ds|ss), (ds|ss)_\alpha, \\ (ds|ss)_\beta, (ps|ps)_\gamma, (ps|ss), (ps|ss)_\beta, (ss|ss) \end{aligned}$$

Applying the vertical recurrence relation:

$$\begin{aligned} [fs|ss]^{(0)} &= \text{VRR}\{[ds|ss]^{(0,1)}, [ps|ss]^{(0,1)}\} \\ [ds|ps]^{(0)} &= \text{VRR}\{[ds|ss]^{(0,1)}, [ps|ss]^{(1)}\} \\ [ds|ss]^{(0,1)} &= \text{VRR}\{[ps|ss]^{(0,2)}, [ss|ss]^{(0,2)}\} \\ [ps|ps]^{(0)} &= \text{VRR}\{[ps|ss]^{(0,1)}, [ss|ss]^{(1)}\} \\ [ps|ss]^{(0,2)} &= \text{VRR}\{[ss|ss]^{(0,3)}\} \\ [ss|ss]^{(0,3)} &(\text{to be formed directly}) \end{aligned}$$

タンパク質から遠方の水のクラスタリング



【1KEN水和体の例】

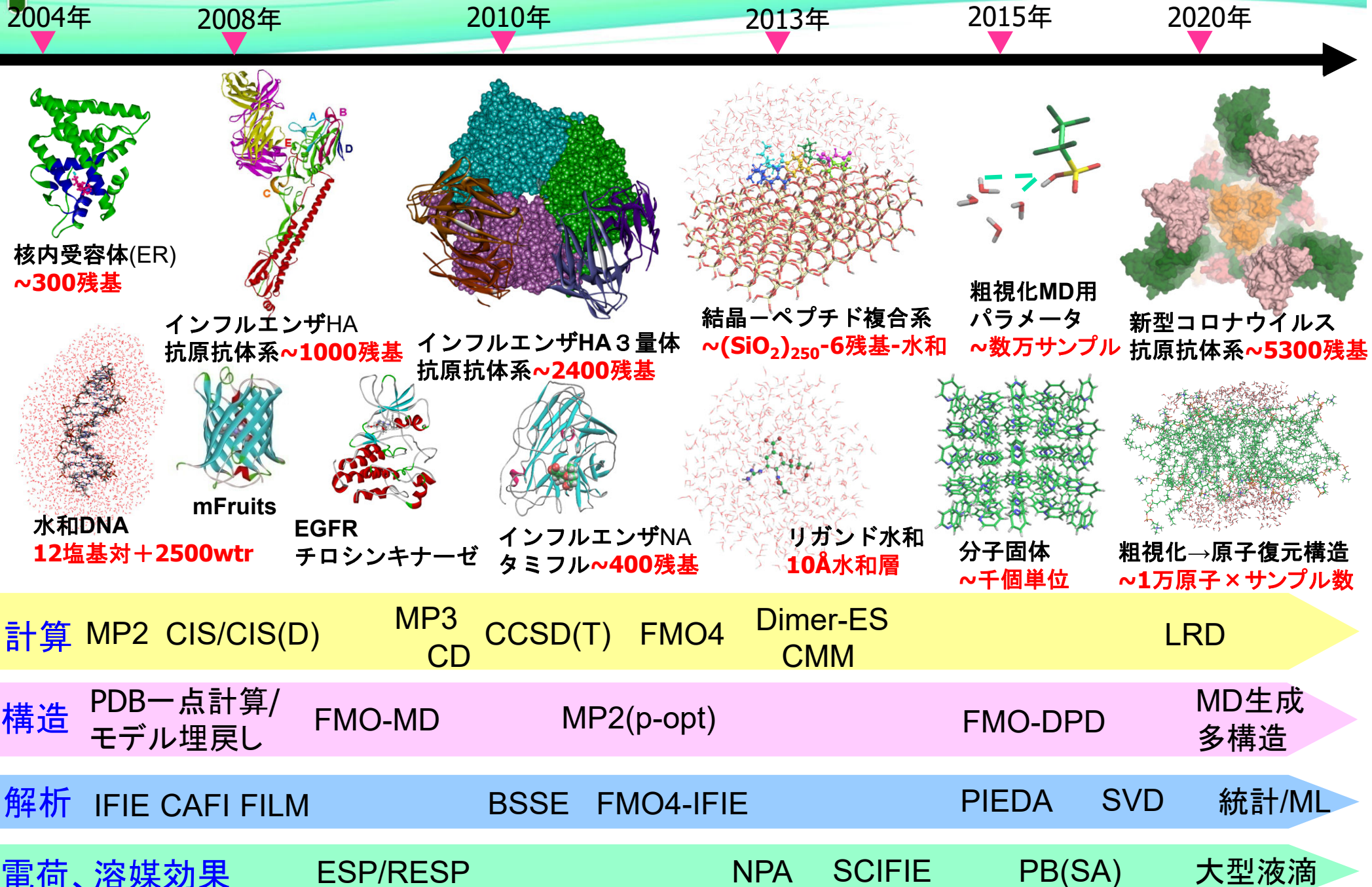
6142個の水分子を
2824個のクラスタに

1 water cluster :	900
2 waters cluster :	1110
3 waters cluster :	360
4 waters cluster :	328
5 waters cluster :	126

処理内容

- 距離の近い水分子をグループ化する。(すでにグループ化されている水分子はグループに追加しない)
- 2量体グループに近距離の2量体グループの水分子を追加する。
- 3量体グループに単量体、もしくは2量体グループの水分子を追加する。
- 2, 3の操作を複数回行い、ある程度4量体グループが作成できれば終了。

ABINIT-MPによるFMO計算のロードマップ



事例)

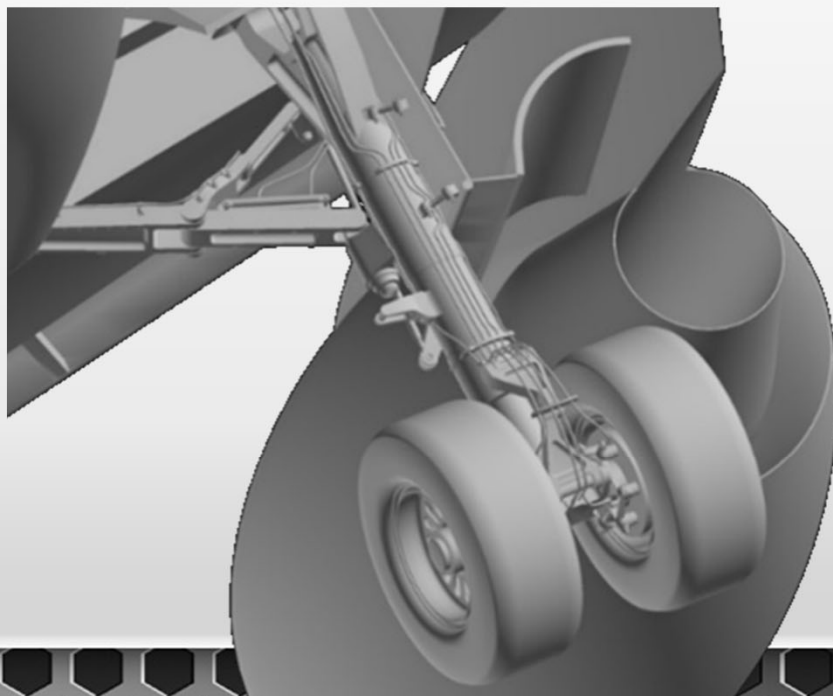
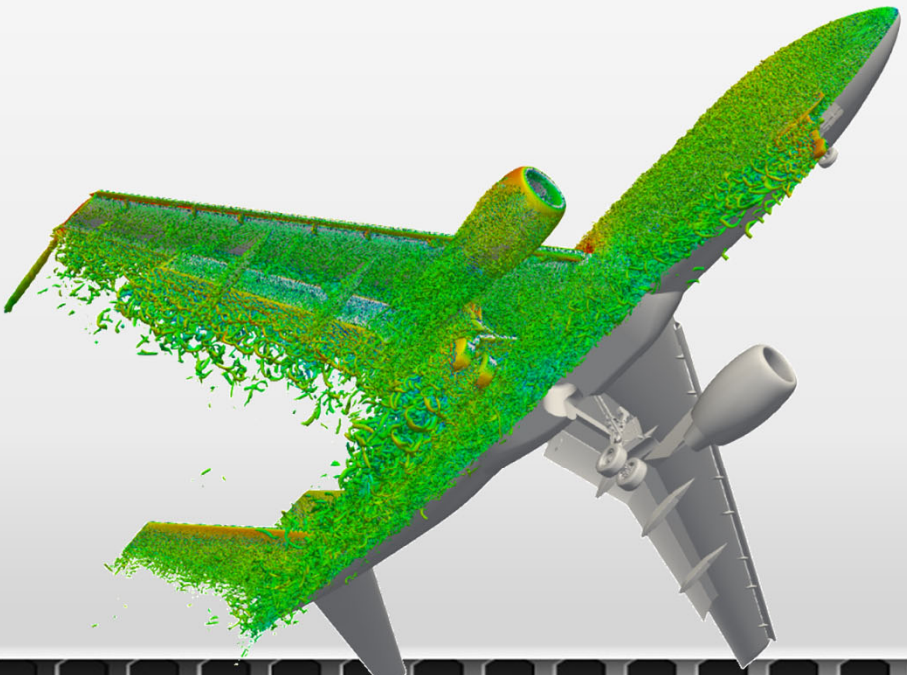
- ・ループ自動分割 機能

CFDプログラムのPRIMEHPC FX1000向け 高速化チューニングについて(その2)

高木亮治
宇宙科学研究所
宇宙航空研究開発機構

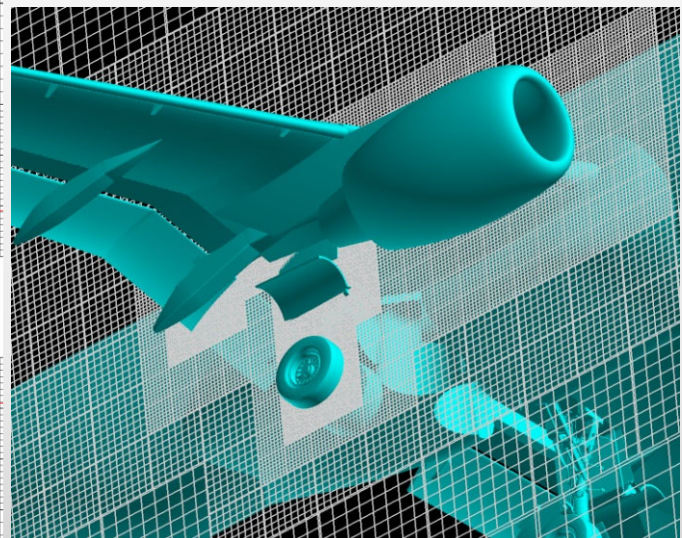
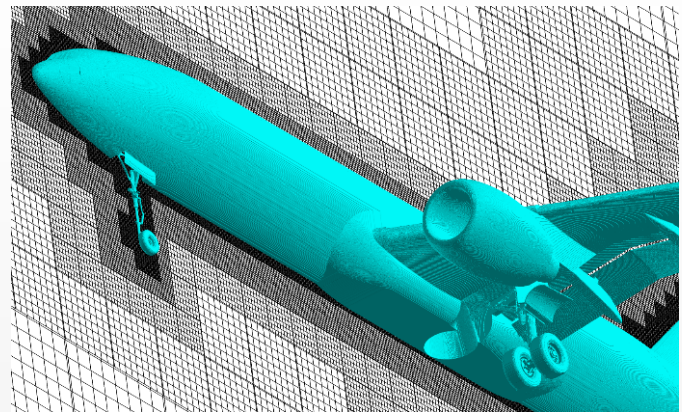
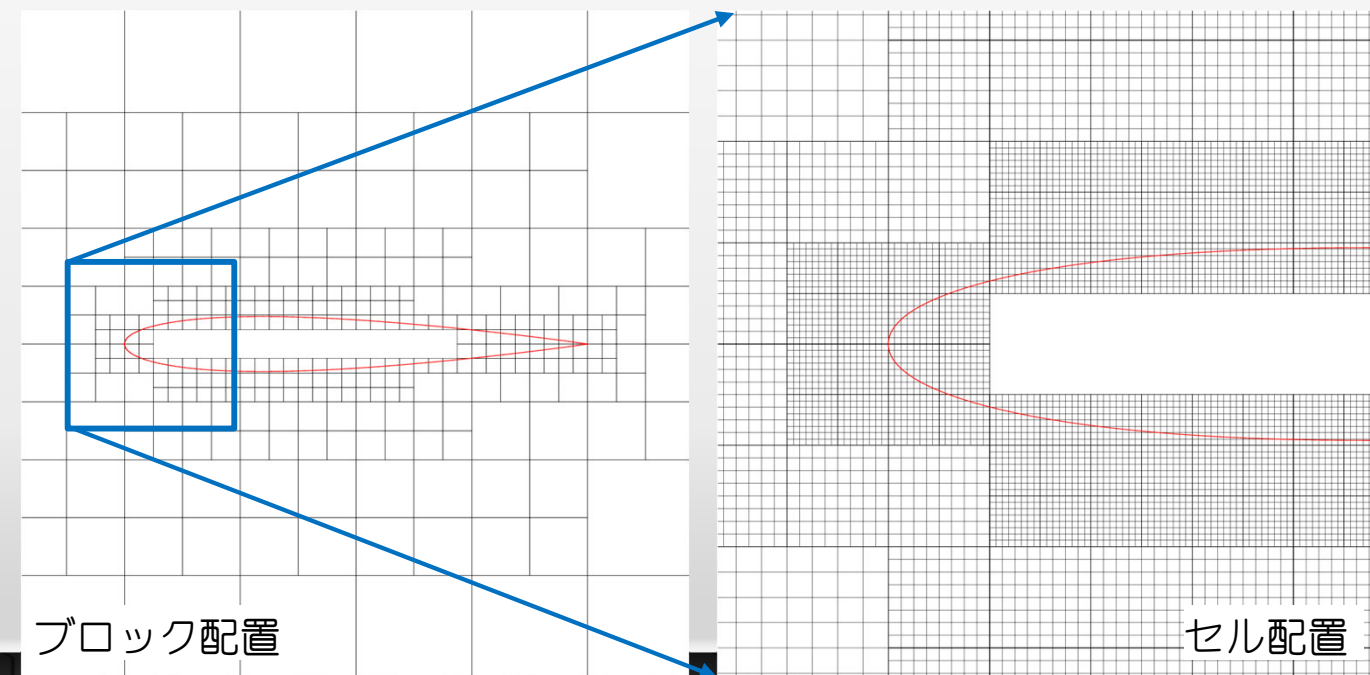
流体解析(CFD)ソリューター

- 工学的CFD:設計・開発(・運用)で活用
 - 複雑な物理現象の高精度解析 ⇒ 第一原理的モデル
 - 複雑な形状への対応 ⇒ 複雑形状への計算格子自動作成
 - ✓ 従来手法:形状設計なのに形状変更に数ヶ月
 - ✓ 階層型等間隔直交構造格子法(BCM) + 埋め込み境界(IB)法
 - パラスタの必要性 ⇒ 高速計算、簡易モデル化



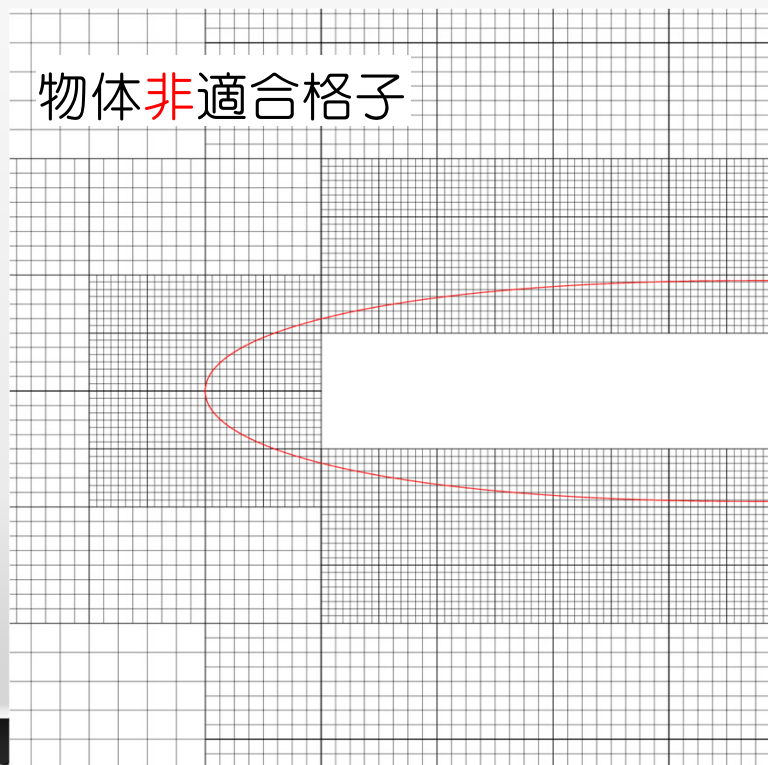
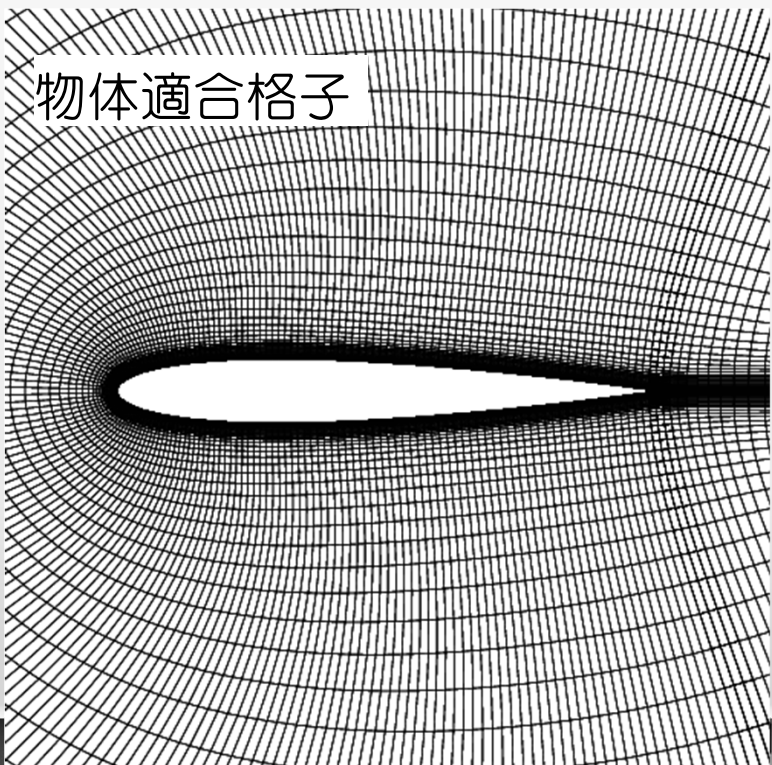
複雑形状への計算格子自动生成

- 階層型等間隔直交構造格子法(BCM)
 - 計算領域を八分木(3D)、四分木(2D)でブロック分割
 - 各ブロックは等間隔直交構造格子



埋め込み境界(IBM)法

- 物体適合格子(従来手法)
 - 物体を計算格子で表現 ⇒ 支配方程式の座標変換で記述
- 物体**非**適合格子
 - 物体(主に壁)をアルゴリズムで表現

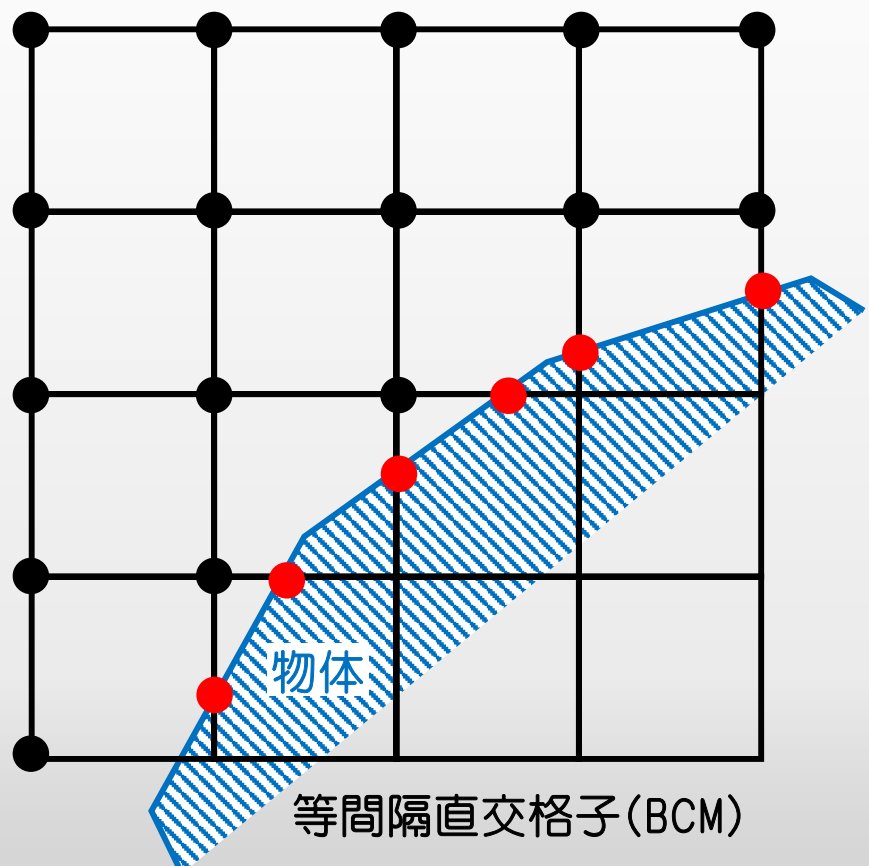


BCM+IBに特徴的な処理

- 流体の計算:右図の●
 - ステンシル計算($q(i, j, k, n) = F(q(i \pm 1, \dots), q(i \pm 2, \dots), \dots)$)
 - $i, j, k \sim 0(<100), n=5$
- 壁の処理(壁での流束計算):右図の●
 - if文の分岐処理

```
do k=istart, iend  
do j=istart, iend  
do i=istart, iend  
    流体の計算  
    if(壁がある) then  
        壁の処理  
    endif  
enddo; enddo; enddo
```

通常の物体適合格子ソルバーにはない
処理



if文の高速化手法

- if文を含むループ:
 - マスク処理: 対流項(solver_rhs_cflux)
 - ✓ if文の真偽率で性能は変化しないが演算量が増大
 - if文の真と偽でループを分割: 粘性項(solver_rhs_vflux)
 - ✓ 計算領域全体: 物体無しとして計算
 - ✓ 壁の処理を分離して別ループ(9ループ、リストアクセス)
 - ✓ if文の真偽率で性能が変化
- 対流項:ステンシルが長く、場合分けが多い ⇒ マスク処理
- 粘性項:隣接ステンシルだけ ⇒ ループを分割
- if文を削除した多重ループ ⇒ 一般的な構造格子ソルバーと同じ

多重ループの高速化

- FX1000の課題
 - レジスタ不足(FX100:256→FX1000:32)
 - ✓ ループボディが大きい
 - メモリアクセス性能を出し切るために
 - ✓ 連続アクセスかつ長いループ長が必要
- 高速化: ループ1重化+ブロッキング+ループ分割:
 - ループ長の確保→ループ1重化
 - レジスタ不足→ループ分割(←ループ長の減少)
 - 分割ループ間でのメモリアクセスの削減→ブロッキング



多重ループの高速化

```
!$omp parallel do collapse(2)
do k=1, N
do j=1, N
do i=1, N
    a3d(i, j, k) = b3d(i, j, k)+S*c3d(i, j, k)
enddo; enddo; enddo
 !$omp end parallel
```



- 3重ループの1重化:サブルーチンで変換
← 連続アクセス&ループ長の確保
- ループ分割:`!ocl`の利用(富士通コンパイラ)
← レジスタスピル対策
- ブロックキング:手書き
← メモリアクセスの削減(L2\$の利用)

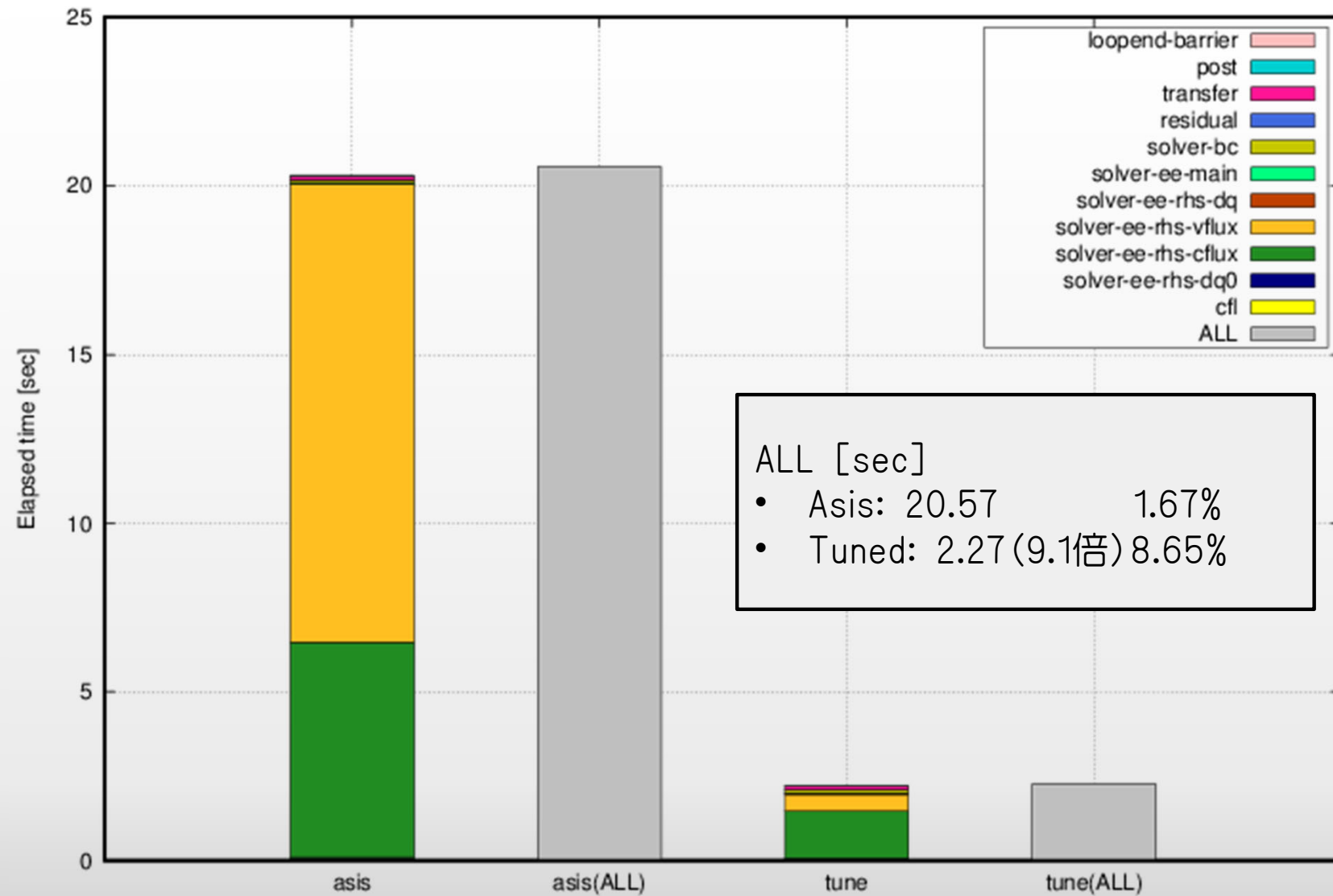
```
j=1;k=1
 !$omp parallel do
 do i=1,N*N*N
    a3d(i,j,k) = b3d(i,j,k)+S*c3d(i,j,k)
 enddo
 !$omp end parallel
```

```
real(8), dimension(:,:,:) :: a3d, b3d, c3d
call kernel(a3d, b3d, c3d)
```

contains

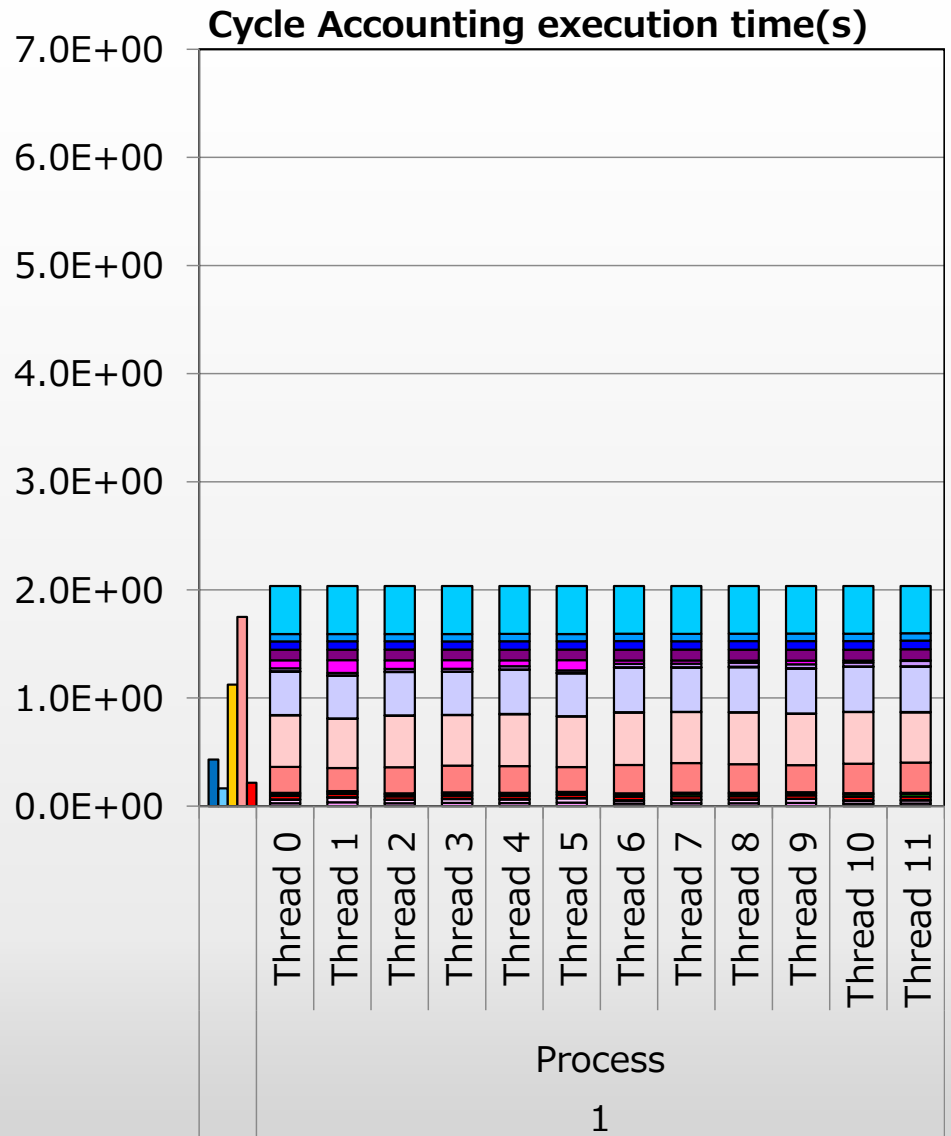
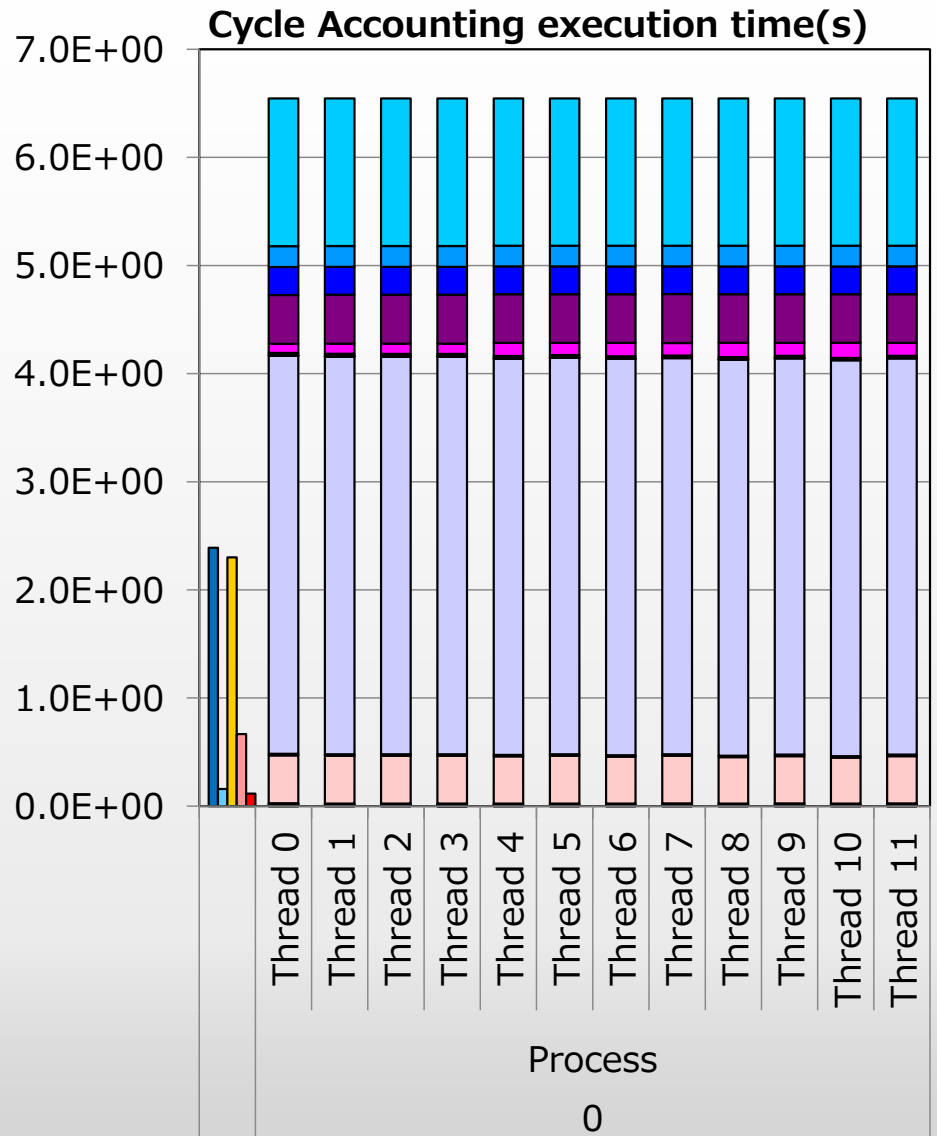
```
subroutine kernel(a, b, c)
 real(8), dimension(*) :: a, b, c
 !$omp parallel
 !$omp do
 do l=b=lsrt, lbend, lbsize
    !ocl loop_fission_target(LS)
    !ocl loop_fission_threshold(40)
    !ocl prefetch_sequential(soft)
    do l=lb, lb+lbsize-1
        a(l) = b(l) + S*c(l)
    enddo; enddo
 !$omp end do
 !$omp do
    !ocl loop_fission_target(LS)
    !ocl loop_fission_threshold(40)
    !ocl prefetch_sequential(soft)
    do l=lsrt_rest, lbend_rest
        a(l) = b(l) + S*c(l)
    enddo
 !$omp end do
 !$omp end parallel
```

高速化結果

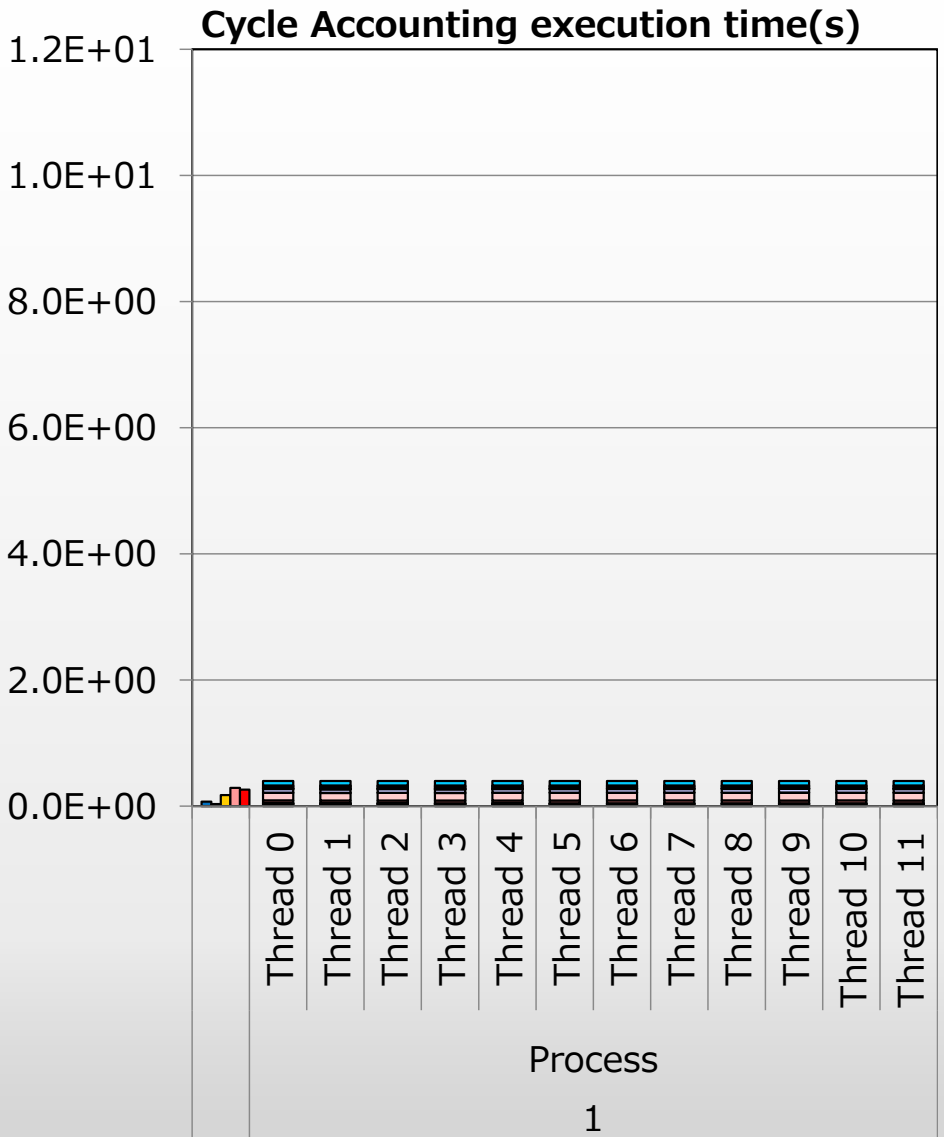
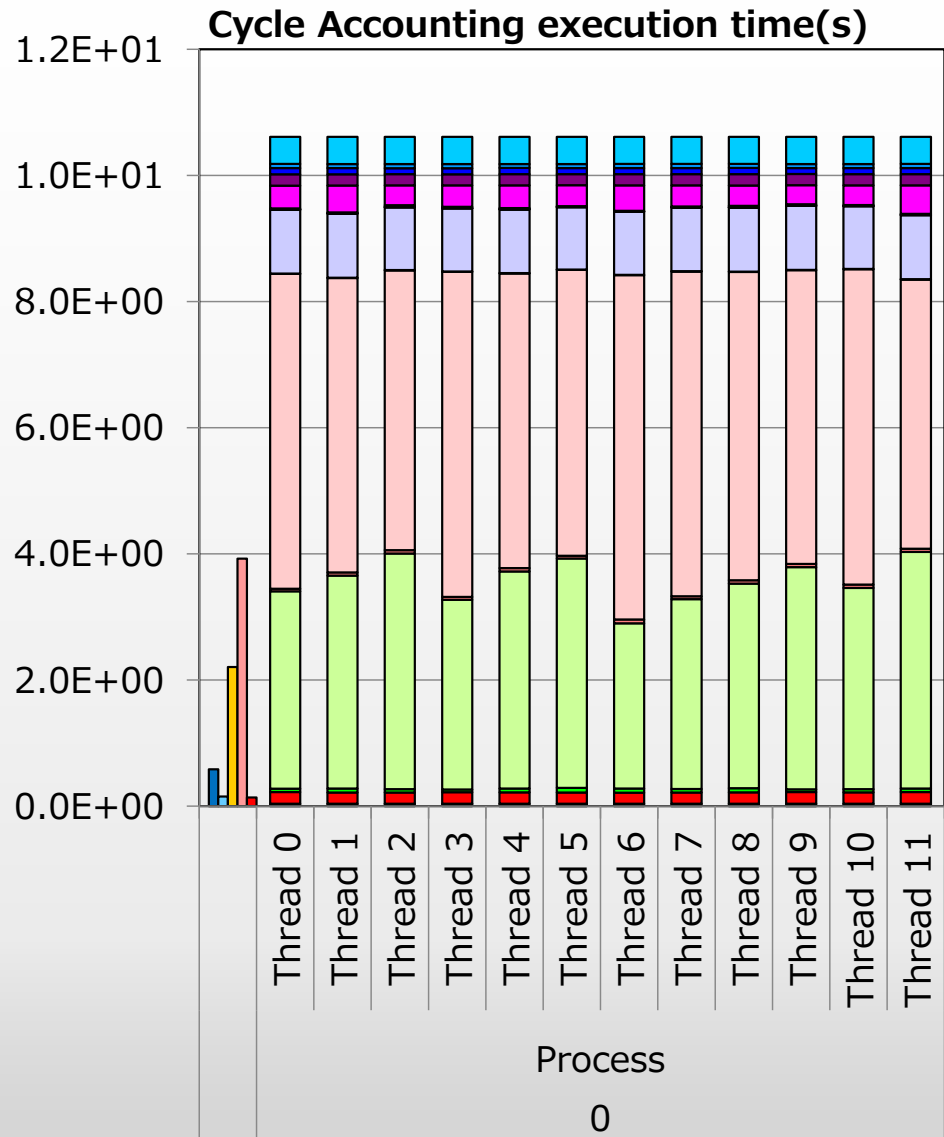


-Kfast,parallel,openmp,optmsg=2,ocl,noalias=s,pree,x,simd=2,autoobjstack,temparraystack

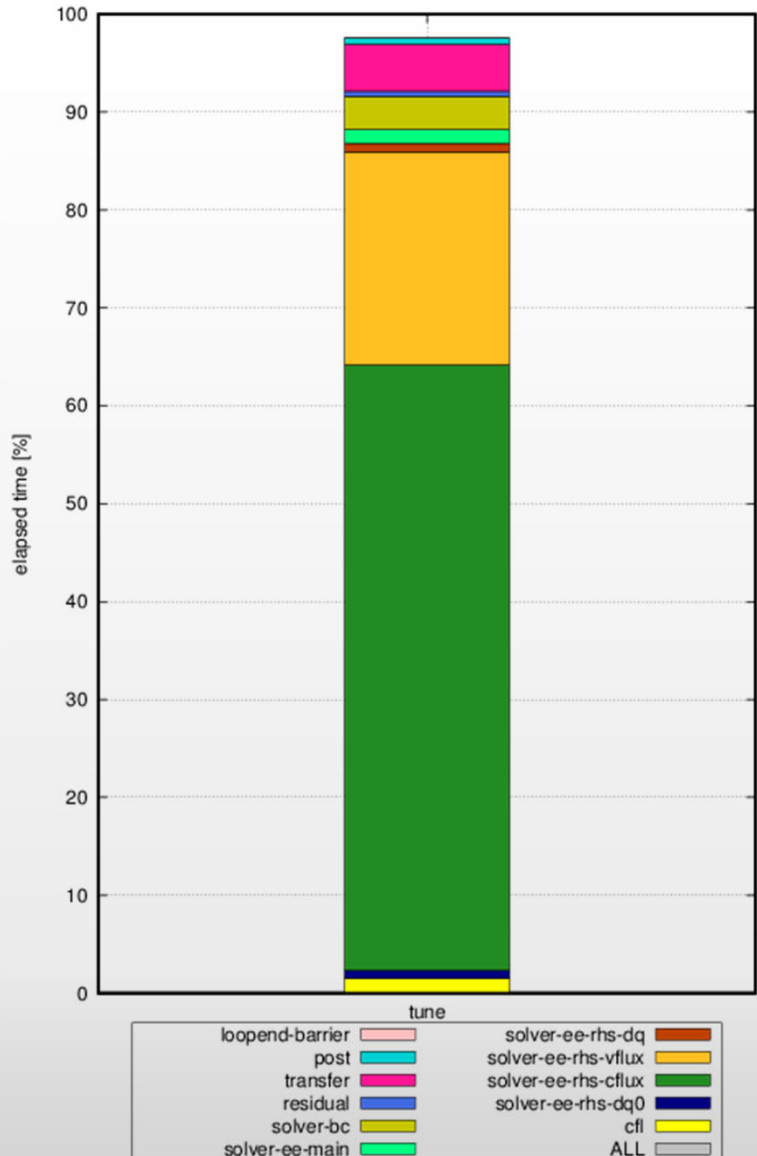
cflux(asis->tuned)



vflux(asis->tuned)



現状のホットカーネル

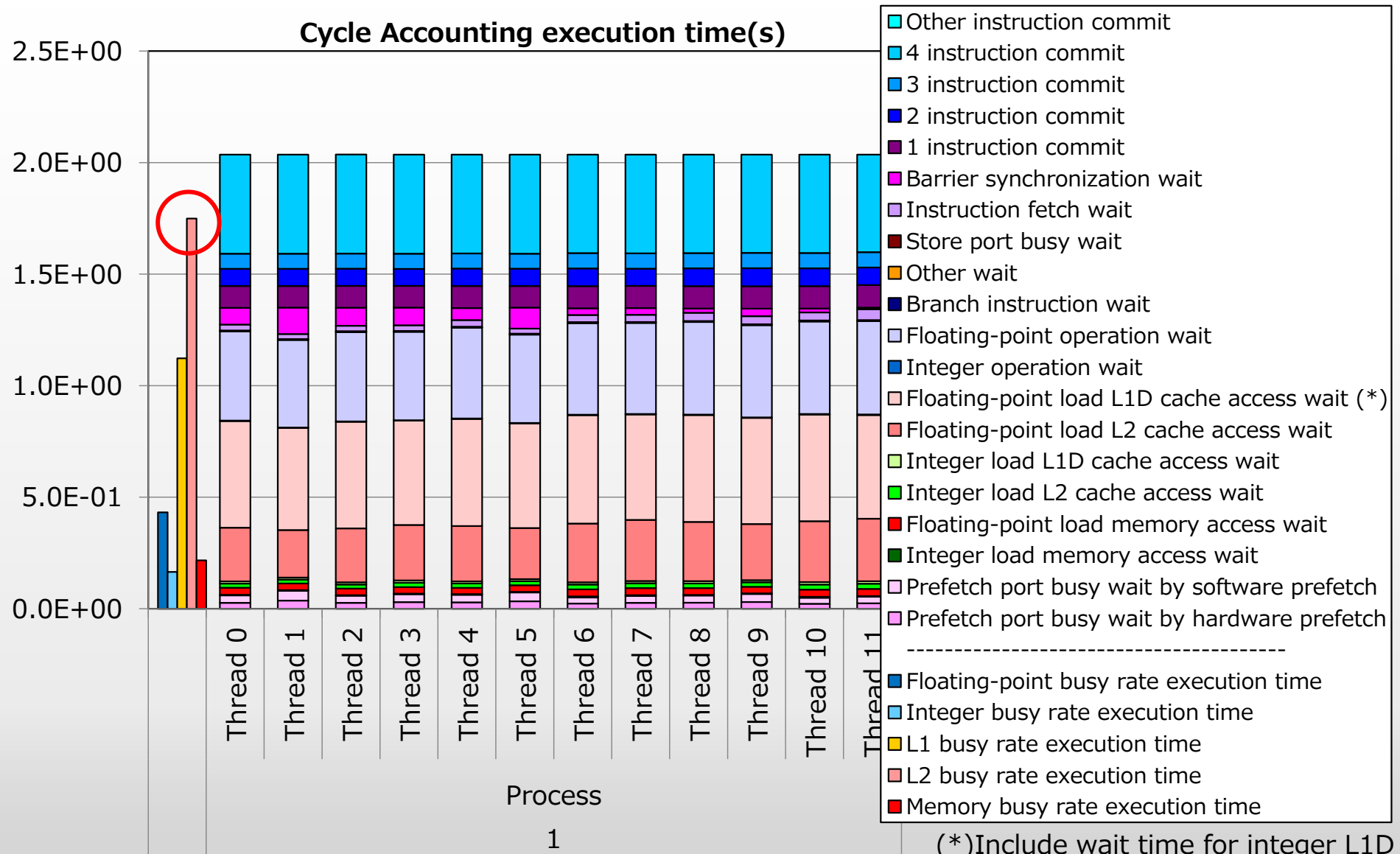


- 現状 **cflux** がホットカーネル
 - 2番目が **vflux**
- cflux** は 15% 程度は出て欲しい

効率 [%]	cflux	vflux
演算	7. 9	9. 2
メモ	10. 66	65. 28
SIMD	54. 81	50. 89
ループ分割数	7+33	17

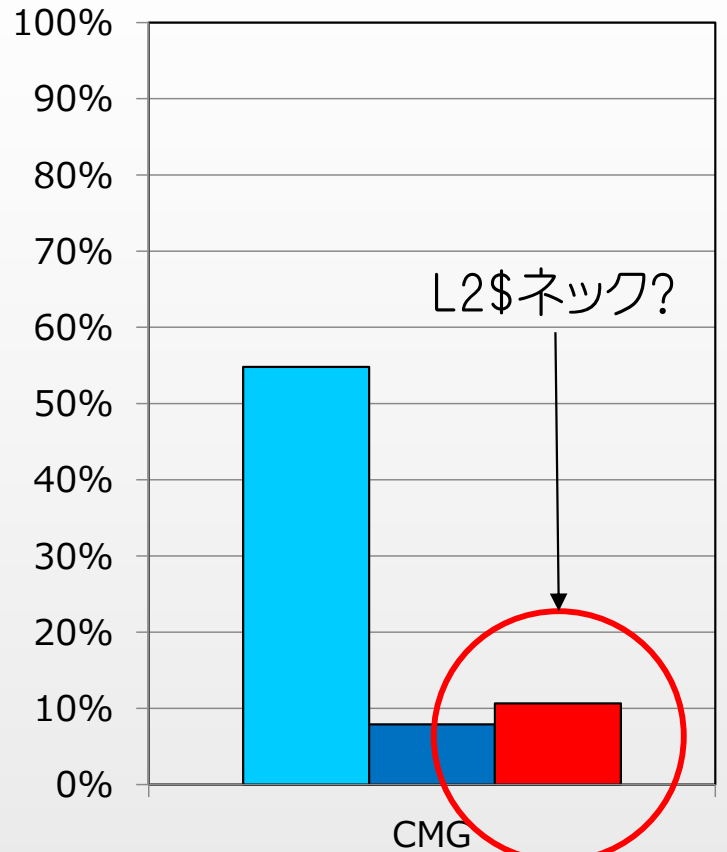
- 1ノード
- 4プロセス×12スレッド@CPU
- セル数: 16.7M (20.1M)、 $64^3 \times 64$ ブロック
- メモリ: 10GB
- 壁率: 0.18[%]

cflux(tuned)



cflux(tuned)

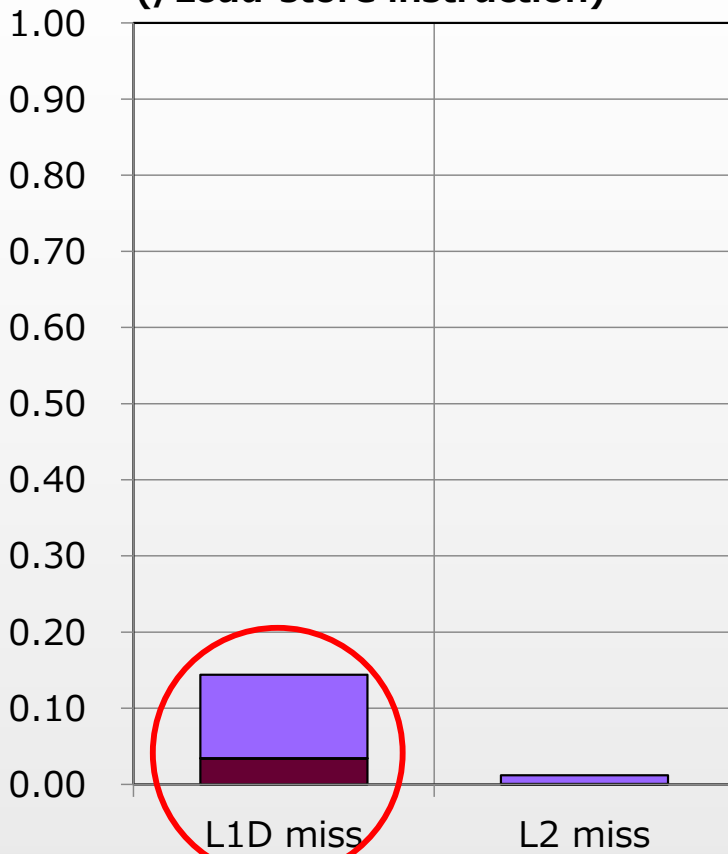
Statistics



- SIMD instruction ratio (/Effective instruction)
- Memory throughput peak ratio

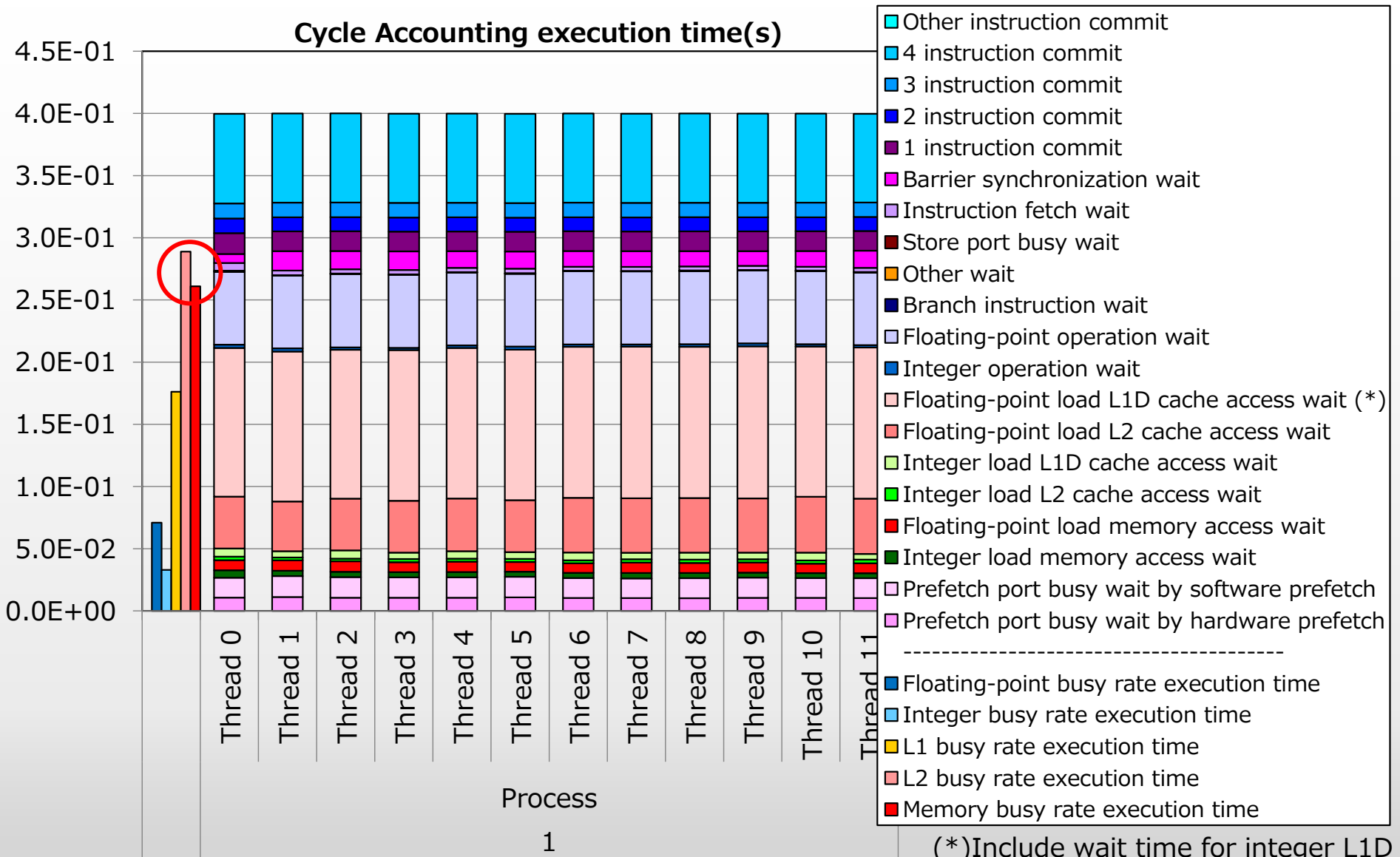
Floating-point operation peak ratio

Cache L1D,L2 miss rate
(/Load-store instruction)



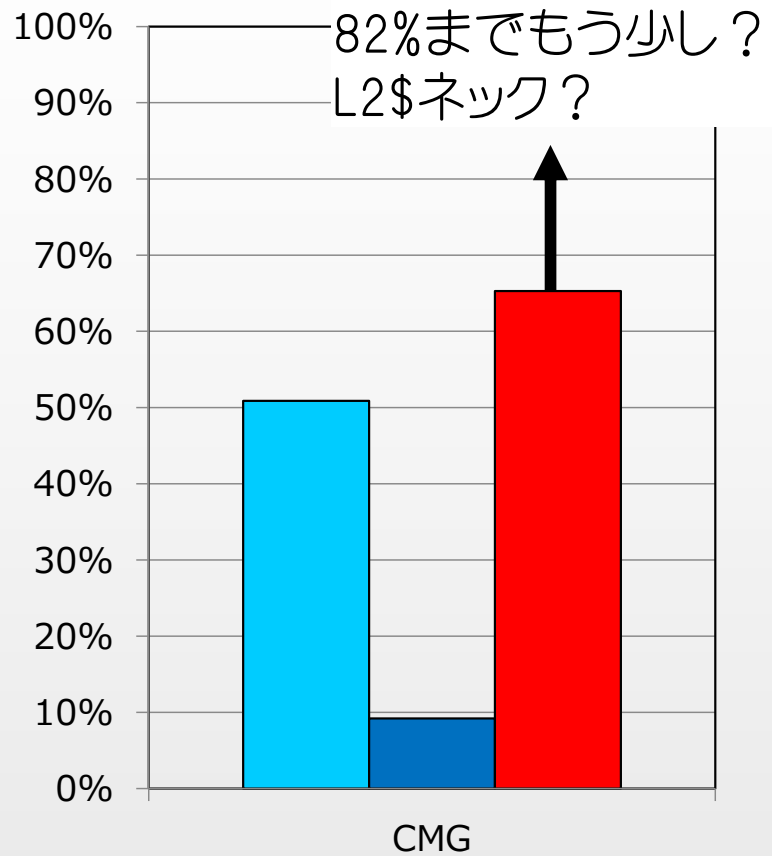
- software prefetch rate(L1D,L2 miss)
- hardware prefetch rate(L1D,L2 miss)
- demand rate(L1D,L2 miss)

vflux(tuned)



vflux(tuned)

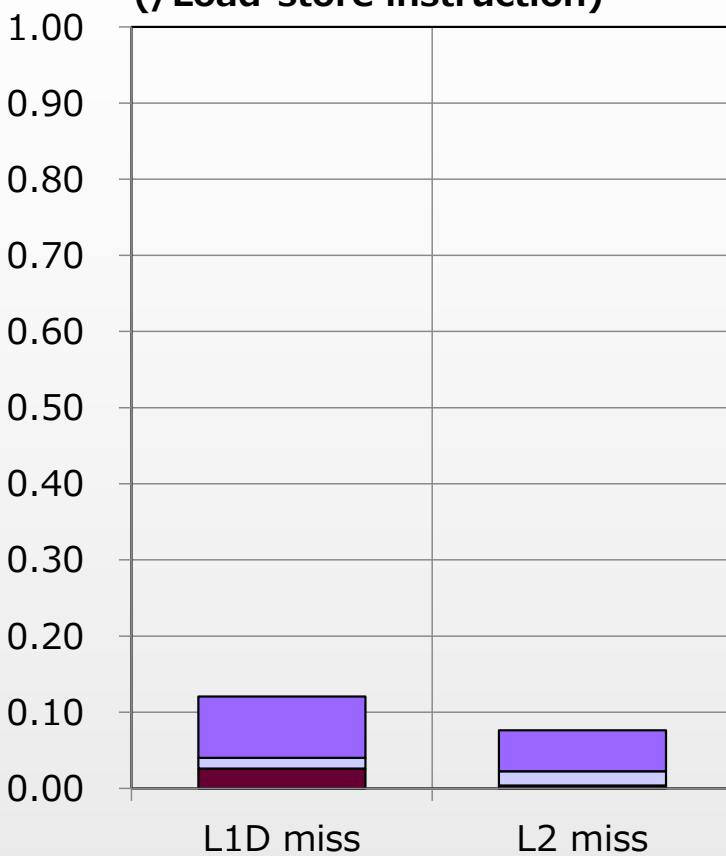
Statistics



- SIMD instruction ratio (/Effective instruction)
- Memory throughput peak ratio

■ Floating-point operation peak ratio

Cache L1D,L2 miss rate
(/Load-store instruction)



- software prefetch rate(L1D,L2 miss)
- hardware prefetch rate(L1D,L2 miss)
- demand rate(L1D,L2 miss)

cflux

- アプリのB/F:
 - 算出根拠:
 - ✓ -gでの浮動小数点演算数:112.75 [GFLOP]
 - ✓ プロファイラでのメモリアクセス量:852.52 [GB]
 - ✓ L2\$アクセス:852.52 [GB] - 89.6 [GB] (L2\$ミス)=762.92 [GB]
 - L2\$ミス:3.5×10⁸×256 [B]=89.6 [GB]
 - メモリB/F:852.52/112.75 = 7.56
 - L2\$ B/F:762.92/112.75 = 6.77
- H/WのB/F:
 - メモリ:1,024/3379.2 = 0.30
 - L2\$:3,600+/3379.2 = 1.06
 - L1\$:11,000+/3379.2 = 3.26
- 効率の予測:(実測は6%程度)
 - メモリ:0.30/7.56 = 3.97 [%](×0.8?)
 - L2\$:1.06/6.77 = 15.7 [%](×?)

さらなる高速化は可能か？

- 現状はL2\$ネック ⇒ L1\$, L2\$のチューニング？
- プリフェッチの工夫→自動ループ分割とバッティング？
 - ループの手動分割？
- ループ内での計算順序の入替(定義と参照を近づける)
- ループ1重化の課題:袖(現状2→4)による演算量増加
 - 実行効率的には良いかもしれないが経過時間的には×
- ループ長の最適値: $32^3, 64^3, 96^3$
- マスク処理を完全に分離(tuneC:壁なし3重ループ)だと11%程度:ループボディの演算量？

チューニング手法(現状)

- asis(if文は手動マスキング):

```
do k=1-ov, N+ov
```

$N = 64, 16, 32$

```
do j=1-ov, N+ov
```

$ov = 2, 4$

```
do i=1-ov, N+ov
```

$$q3d(i, j, k, :) = qf3d(i, j, k, :) * flag + qs3d(i, j, k, :) * (1 - flag)$$

処理2

```
enddo; enddo; enddo
```

- 現在(自動ループ分割(l) + 手動ブロッキング(l)):

```
do l=l_min, l_max
```

$$q1d(l) = qf1d(l) * flag + qs1d(l) * (1 - flag)$$

$l: 64^3, 16^3, 32^3$

処理2

```
enddo
```

チューニング手法(他候補)

- tuneA(2重ループを1重化→自動ループ分割(i,j)、結果的にブロッキング):

```
do k=1-ov, Ntov
```

```
do ij=ij_min, ij_max
```

```
q2d(ij, k, :) = qf2d(ij, k, :)*flag + qs2d(ij, k, :)*(1-flag)
```

処理2

```
enddo
```

```
enddo; enddo
```

$ij=64^2 (, 16^2, 32^2)$

- tuneB(手動ループ分割、結果的にブロッキング、ループ長が課題?):

```
do k=1-ov, Ntov
```

```
do j=1-ov, Ntov
```

```
do i=1-ov, Ntov
```

```
q3d(i, j, k, :) = qf3d(i, j, k, :)*flag + qs3d(i, j, k, :)*(1-flag)
```

```
enddo
```

```
do i=1-ov, Ntov
```

処理2

```
enddo
```

```
enddo; enddo
```

チューニング手法(他候補)

- tuneC:

```
do k=1-ov, N+ov
do j=1-ov, N+ov
do i=1-ov, N+ov
    q3d(i, j, k, :) = qf3d(i, j, k, :)...
    処理2
enddo; enddo; enddo
do l=l_min, l_max
    i=List(l, 1); j=List(l, 2); k=List(k, 3)
    q3d(i, j, k, :) = qs3d(i, j, k, :)...
    処理2
enddo; enddo; enddo
```

流体の処理
(asisの演算量削減?)

壁の処理

まとめ

- BCM+IB法を用いたCFDプログラムにFX1000向け高速化を実施した。
 - IB法に固有のif文を削除し、多重ループの高速化を実施
 - ループ1重化+ブロッキング+ループ分割を適用し9倍程度の高速化を実現した。
- 更なる高速化(cflux)を実施したいがどうすれば良いか？

tuned(cflux & vflux)

cflux

Statistics		Execution time (s)	GFLOPS	Floating-point operation peak ratio (%)	Memory throughput (GB/s)	Memory throughput peak ratio (%)	Effective instruction	Floating-point operation	SIMD instruction rate (%) (/Effective instruction)	SVE operation rate (%)	Floating-point pipeline Active element rate (%)	IPC	GIPS
Process	Thread								(/Effective instruction)				
1	0	2.04E+00	5.56	7.91%	2.30	10.66%	4.89E+09	1.13E+10	54.79%	100.00%	78.44%	1.09	2.40
1	1	2.04E+00	5.56	7.91%	2.26		4.89E+09	1.13E+10	54.81%	100.00%	78.44%	1.09	2.40
1	2	2.04E+00	5.56	7.90%	2.27		4.89E+09	1.13E+10	54.81%	100.00%	78.43%	1.09	2.40
1	3	2.04E+00	5.56	7.91%	2.27		4.89E+09	1.13E+10	54.82%	100.00%	78.45%	1.09	2.40
1	4	2.04E+00	5.56	7.91%	2.26		4.89E+09	1.13E+10	54.82%	100.00%	78.43%	1.09	2.40
1	5	2.04E+00	5.56	7.91%	2.26		4.89E+09	1.13E+10	54.82%	100.00%	78.44%	1.09	2.40
1	6	2.04E+00	5.56	7.91%	2.27		4.89E+09	1.13E+10	54.82%	100.00%	78.42%	1.09	2.40
1	7	2.04E+00	5.56	7.91%	2.27		4.89E+09	1.13E+10	54.82%	100.00%	78.44%	1.09	2.40
1	8	2.04E+00	5.56	7.91%	2.27		4.89E+09	1.13E+10	54.82%	100.00%	78.42%	1.09	2.40
1	9	2.04E+00	5.56	7.91%	2.28		4.89E+09	1.13E+10	54.82%	100.00%	78.43%	1.09	2.40
1	10	2.04E+00	5.56	7.91%	2.28		4.89E+09	1.13E+10	54.82%	100.00%	78.42%	1.09	2.40
1	11	2.04E+00	5.51	7.84%	2.27		4.85E+09	1.12E+10	54.82%	100.00%	78.43%	1.08	2.38
CMG 1 total		2.04E+00	66.64	7.90%	27.28		5.86E+10	1.36E+11	54.81%	100.00%	78.43%	1.09	28.80

vflux

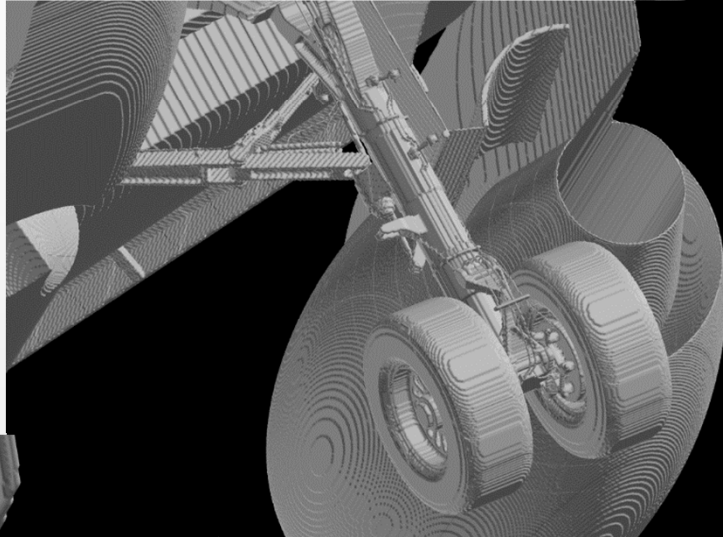
Statistics		Execution time (s)	GFLOPS	Floating-point operation peak ratio (%)	Memory throughput (GB/s)	Memory throughput peak ratio (%)	Effective instruction	Floating-point operation	SIMD instruction rate (%) (/Effective instruction)	SVE operation rate (%)	Floating-point pipeline Active element rate (%)	IPC	GIPS
Process	Thread								(/Effective instruction)				
1	0	4.00E-01	6.43	9.21%	14.09	65.28%	7.94E+08	2.57E+09	50.36%	99.55%	79.78%	0.91	1.99
1	1	4.00E-01	6.43	9.20%	13.88		7.85E+08	2.57E+09	50.94%	99.55%	79.79%	0.90	1.96
1	2	4.00E-01	6.43	9.20%	13.92		7.85E+08	2.57E+09	50.94%	99.55%	79.79%	0.90	1.96
1	3	4.00E-01	6.43	9.21%	13.87		7.85E+08	2.57E+09	50.93%	99.55%	79.78%	0.90	1.96
1	4	4.00E-01	6.43	9.20%	13.91		7.85E+08	2.57E+09	50.94%	99.55%	79.78%	0.90	1.96
1	5	4.00E-01	6.43	9.21%	13.93		7.85E+08	2.57E+09	50.94%	99.55%	79.78%	0.90	1.97
1	6	4.00E-01	6.43	9.20%	13.91		7.85E+08	2.57E+09	50.95%	99.55%	79.78%	0.90	1.96
1	7	4.00E-01	6.43	9.21%	13.97		7.85E+08	2.57E+09	50.95%	99.55%	79.78%	0.90	1.96
1	8	4.00E-01	6.43	9.20%	13.93		7.85E+08	2.57E+09	50.95%	99.55%	79.78%	0.90	1.96
1	9	4.00E-01	6.43	9.20%	13.90		7.85E+08	2.57E+09	50.95%	99.55%	79.78%	0.90	1.96
1	10	4.00E-01	6.43	9.20%	13.90		7.85E+08	2.57E+09	50.95%	99.55%	79.78%	0.90	1.96
1	11	4.00E-01	6.39	9.15%	13.92		7.81E+08	2.56E+09	50.94%	99.55%	79.76%	0.89	1.95
CMG 1 total		4.00E-01	77.13	9.20%	167.11		9.43E+09	3.08E+10	50.89%	99.55%	79.78%	0.90	23.58

形状再現性

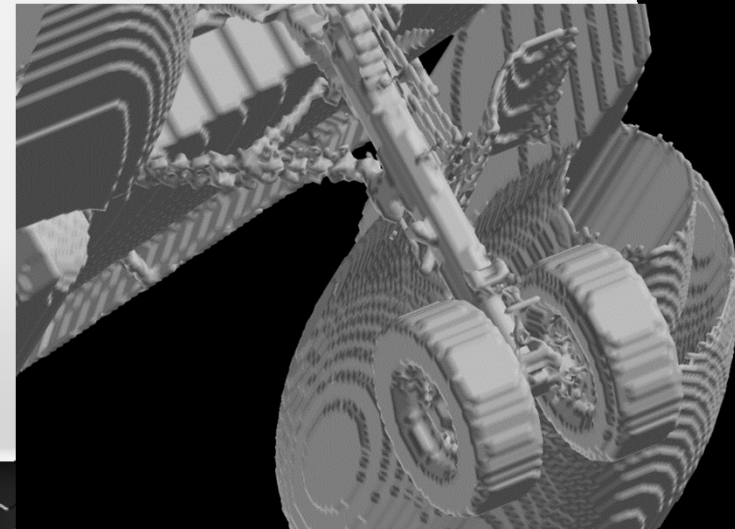
- 格子増加による物体形状再現性の向上
 - セルサイズ未満の構造は無視



6,400万点

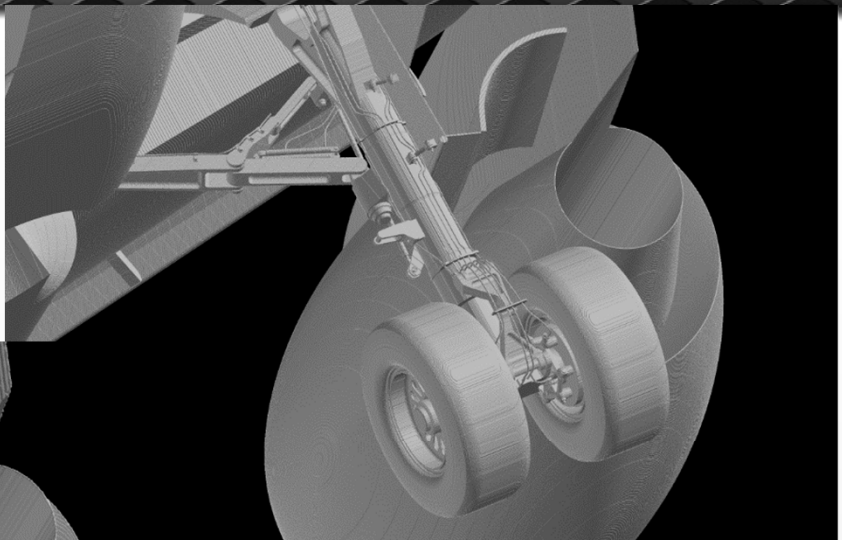


6.7億点



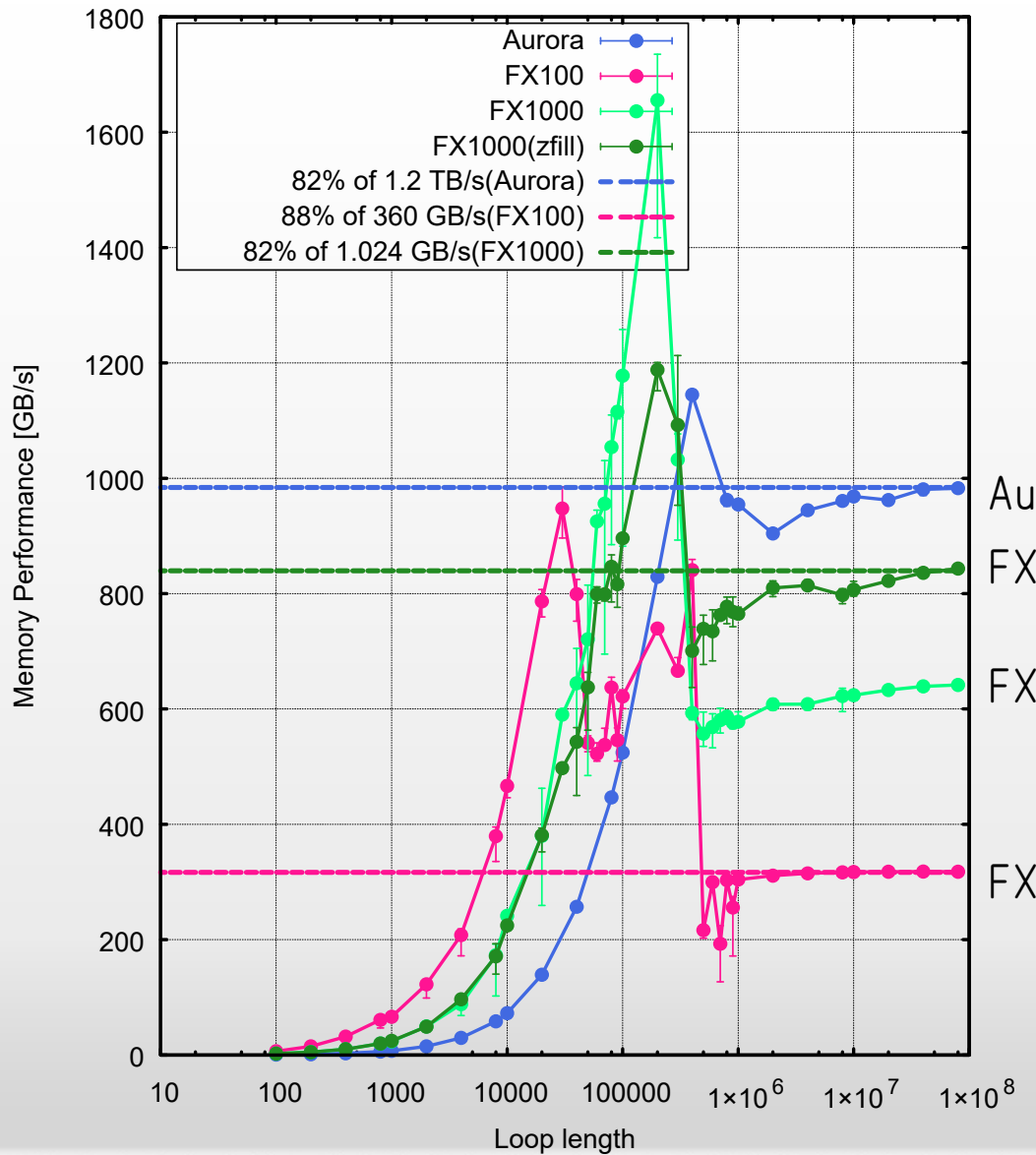
150億点

CAD形状



106

FX1000の実メモリ性能



-Kfast, zfill, parallel, openmp, ocl,
prefetch_sequential=soft,
prefetch_stride,optmsg=2, noalias=s,
mfunc=2, preex, autoobjstack,
temparraystack

Aurora
FX1000(zfill)
FX1000
FX100

STREAM TRIAD: $a(n)=b(n)+S \times c(n)$

マルチブロック、多次元配列、袖

- 多次元配列
- ovlp(袖): $a(1\text{-}ovlp:\text{ndim}\text{+}ovlp, 1\text{-}ovlp:\text{ndim}\text{+}ovlp, 1\text{-}ovlp:\text{ndim}\text{+}ovlp), \dots$
- MB:キャッシュの影響は排除し、メモリ性能を測定
- 総格子点数:2,700万点($10\times 10\times 10 \times 27,000$ ブロック～ $300\times 300\times 300 \times 1$ ブロック)

実アプリの実装モデル

MB-TRIAD1D(1次元化)

```
type blkDataType
    real(8), dimension(:,:,:), allocatable :: a,b,c
end type blkDataType
```

```
type(blkDataType), dimension(:, ), allocatable :: blk
do nb=1,nbmax
    call kernel(blk(nb)%a,blk(nb)%b,blk(nb)%c,...)
enddo
```

```
subroutine kernel(a,b,c,...)
    real(8), dimension(*) :: a,b,c
    do n
        a(n) = b(n) + scalar*c(n)
    enddo
```

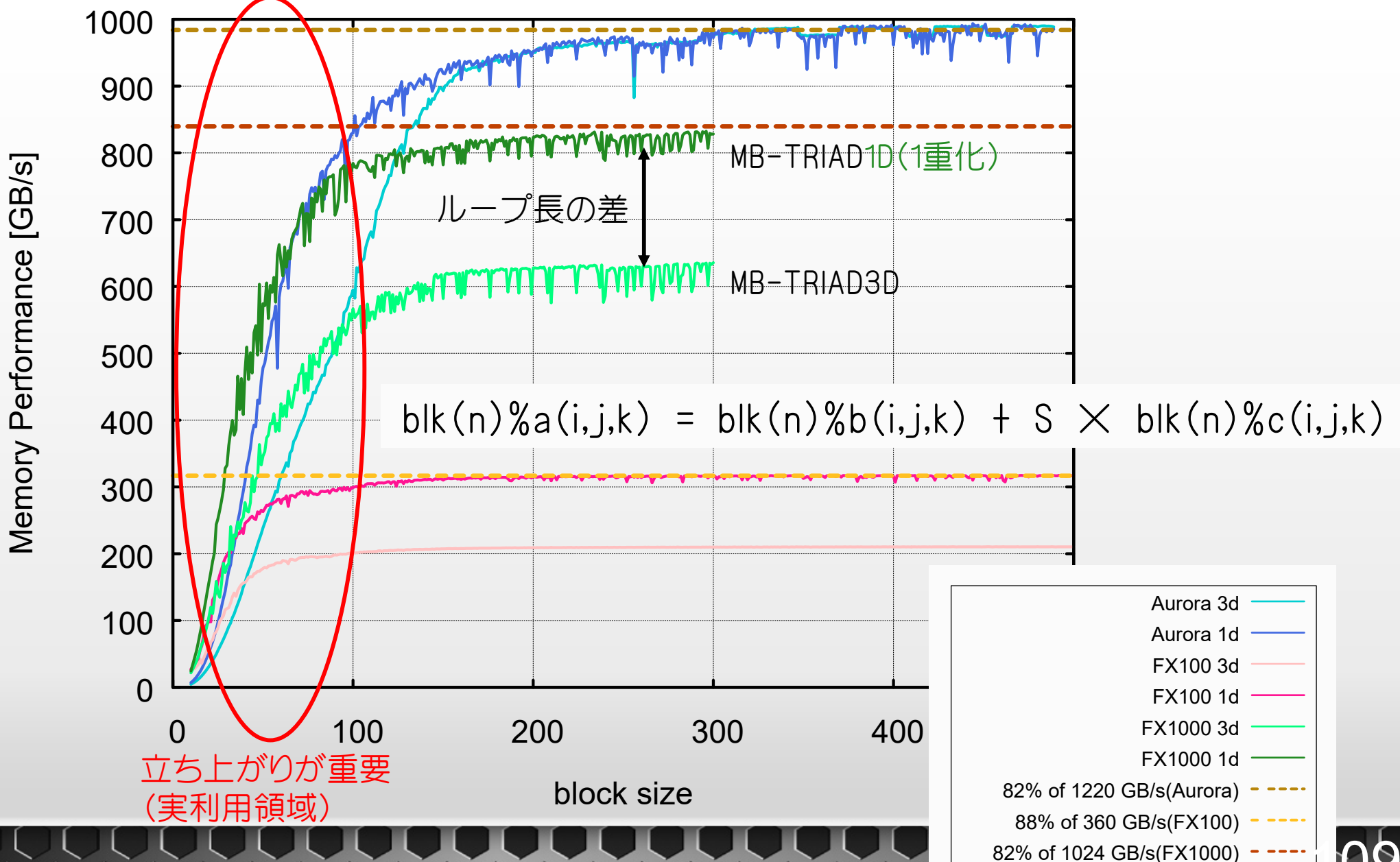
MB-TRIAD3D

```
type blkDataType
    real(8), dimension(:,:,:), allocatable :: a,b,c
end type blkDataType
```

←構造体ではなく配列渡し
(コンパイラの問題)

```
subroutine kernel(a,b,c,...)
    real(8), dimension(:,:,:) :: a,b,c
    do k; do j; do i;
        a(i,j,k) = b(i,j,k) + scalar*c(i,j,k)
    enddo; enddo; enddo
```

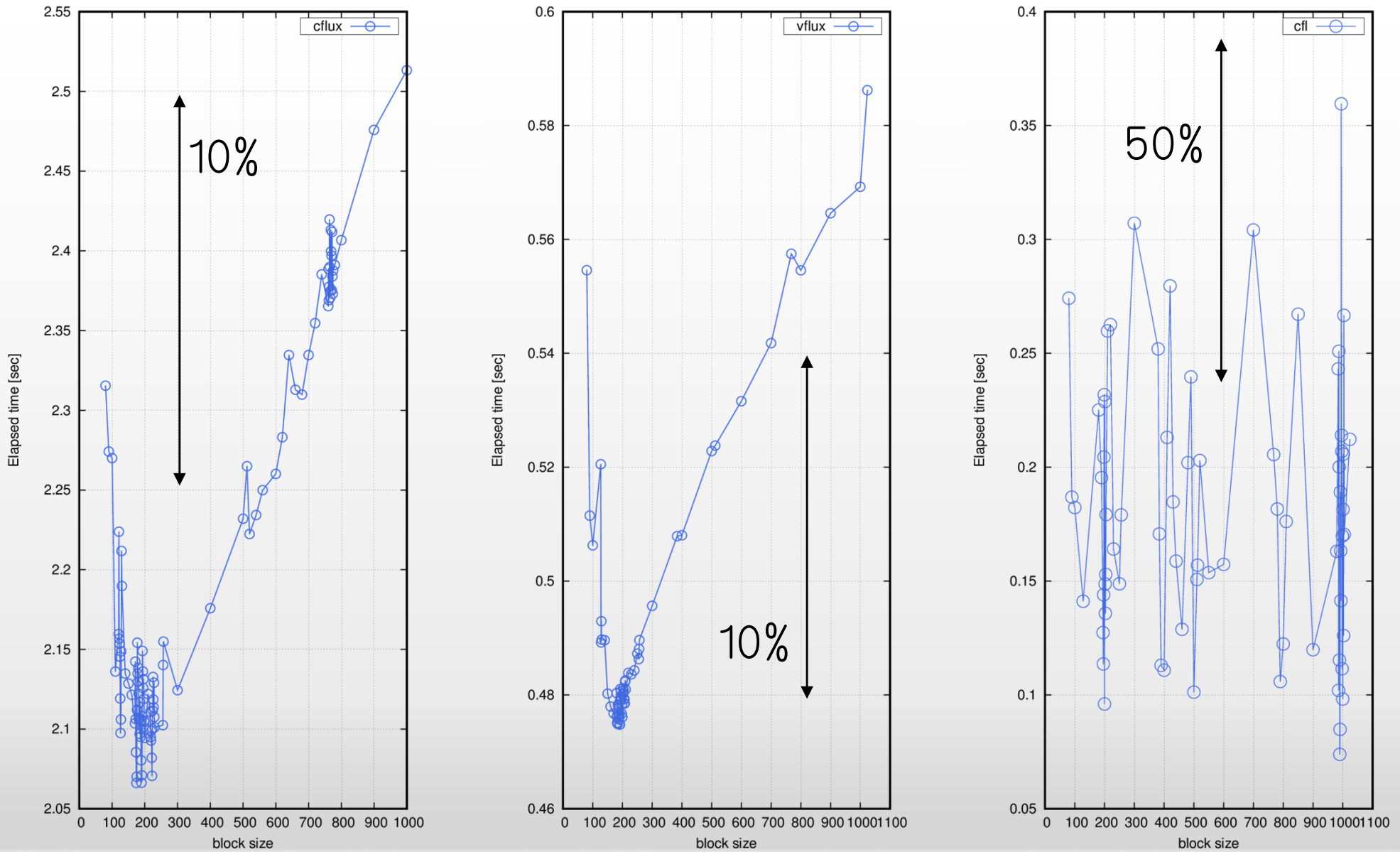
FX1000の実メモリ性能



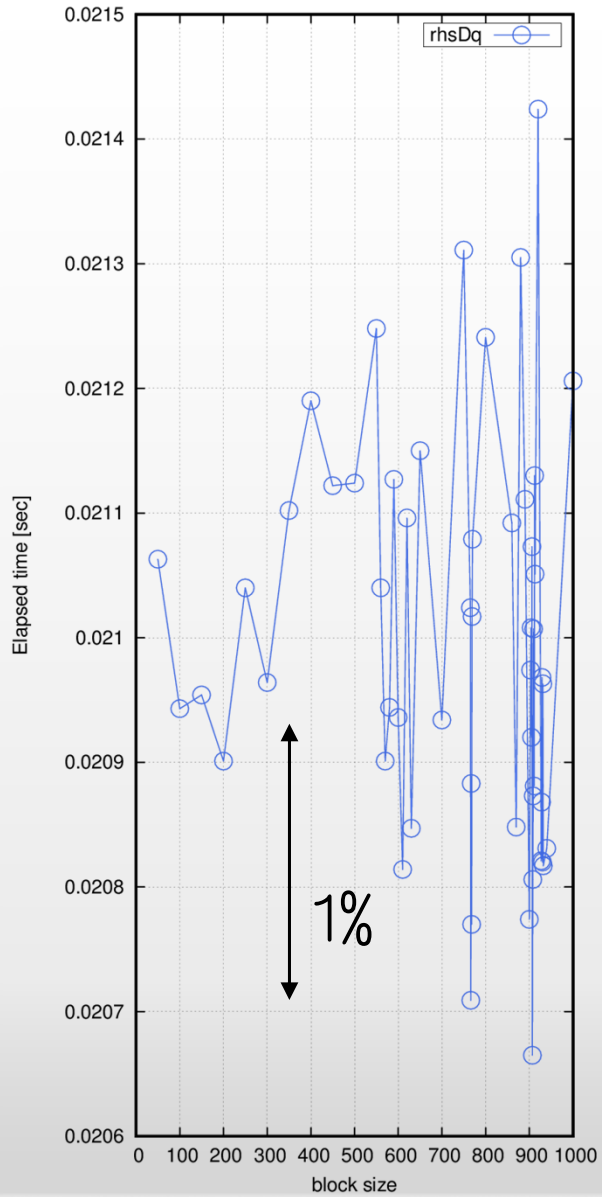
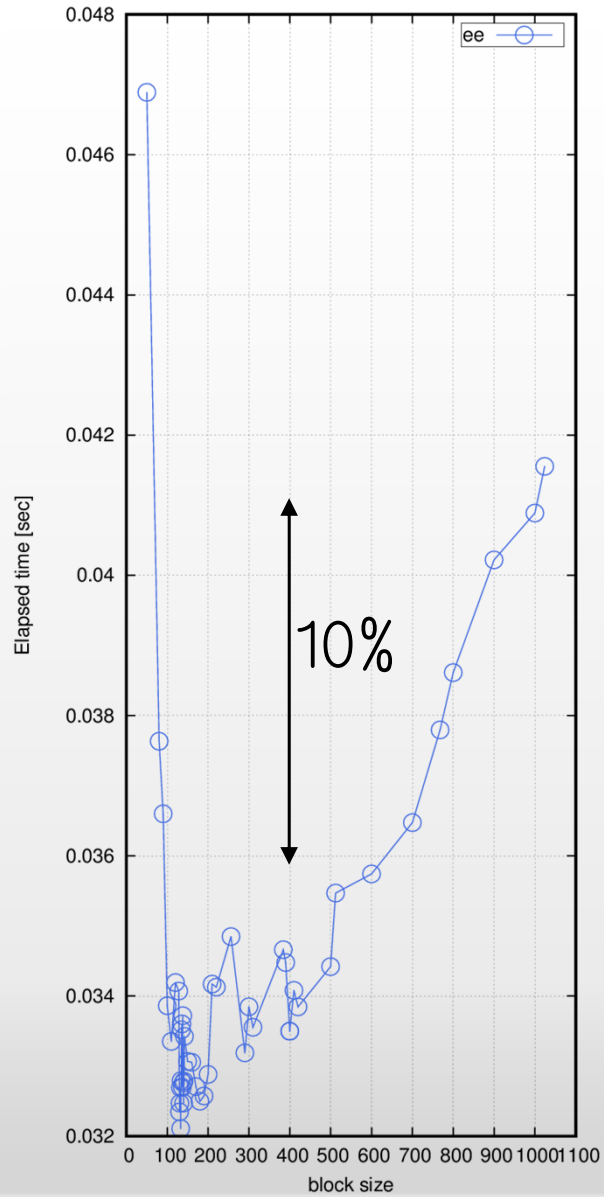
多重ループの高速化(FX1000の課題)

- レジスタ不足(FX100:256→FX1000:32)
 - S/W、SIMD、ZFILL(XFILL)の同時適用が困難
 - ループボディが大きい
- メモリアクセス性能を出し切るためには
 - 連続アクセスかつ長いループ長が必要
 - ✓ 多重ループの1次元のループ長(<0(100))では不足
□ XFILL@FX100では256以上
 - ✓ キヤッショウも含め短ループは性能が出ない
 - ✓ 実利用領域は短ループが多い
 - 多次元配列の多重ループの場合1重化が必要

ブロックサイズの最適化(64)

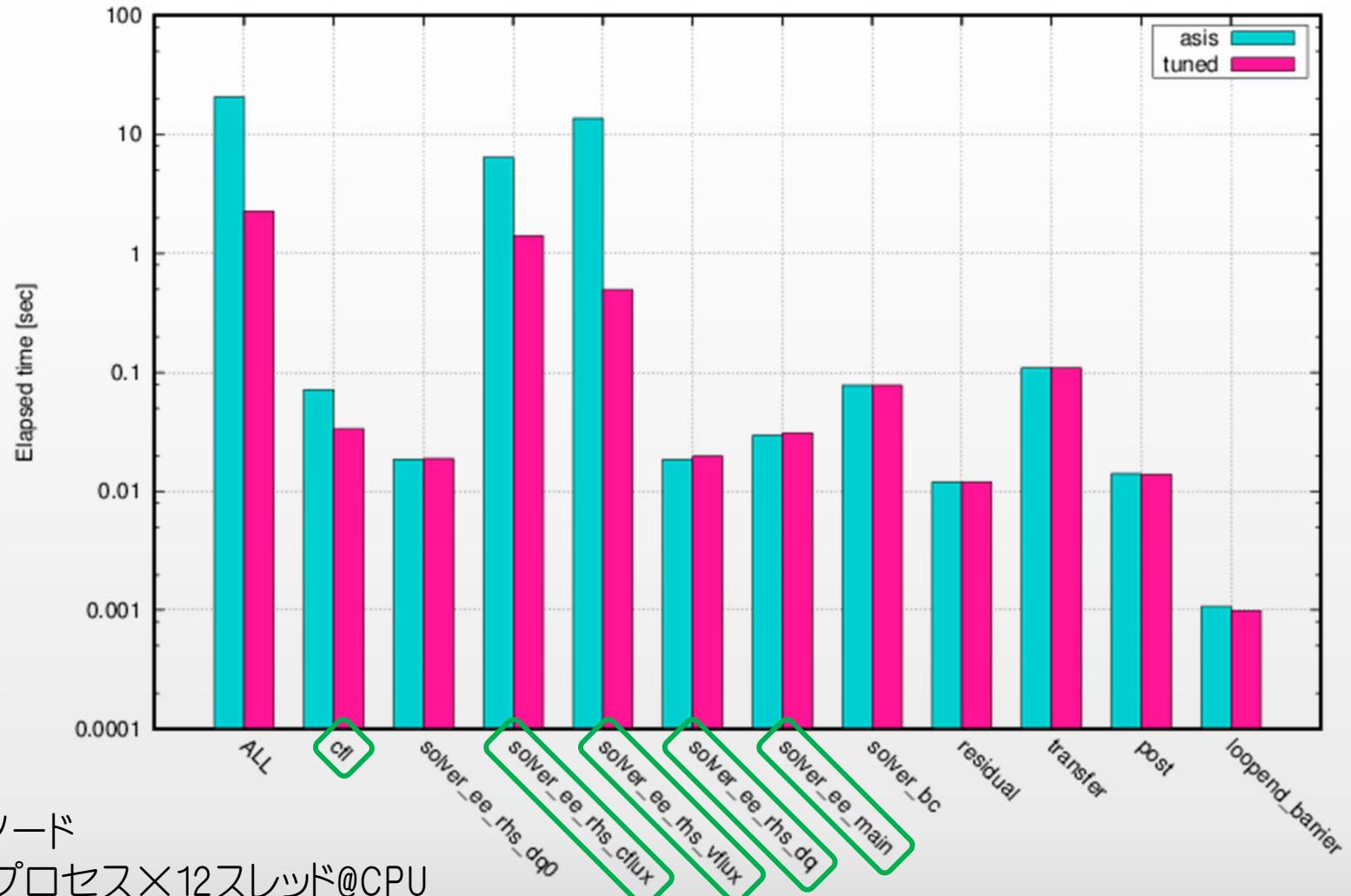


ブロックサイズの最適化(64)



- cflux:174
- vflux:192
- cfl:990
- ee:133
- dq:907

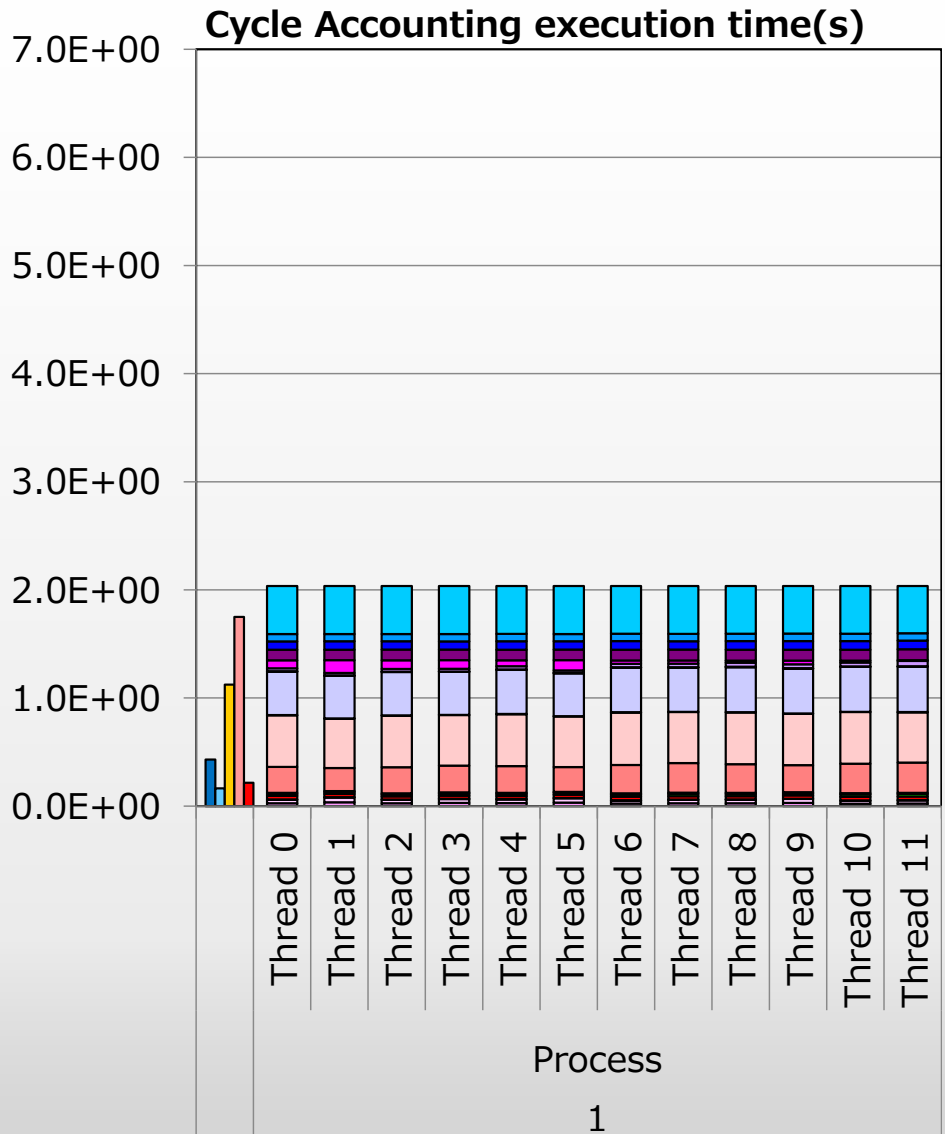
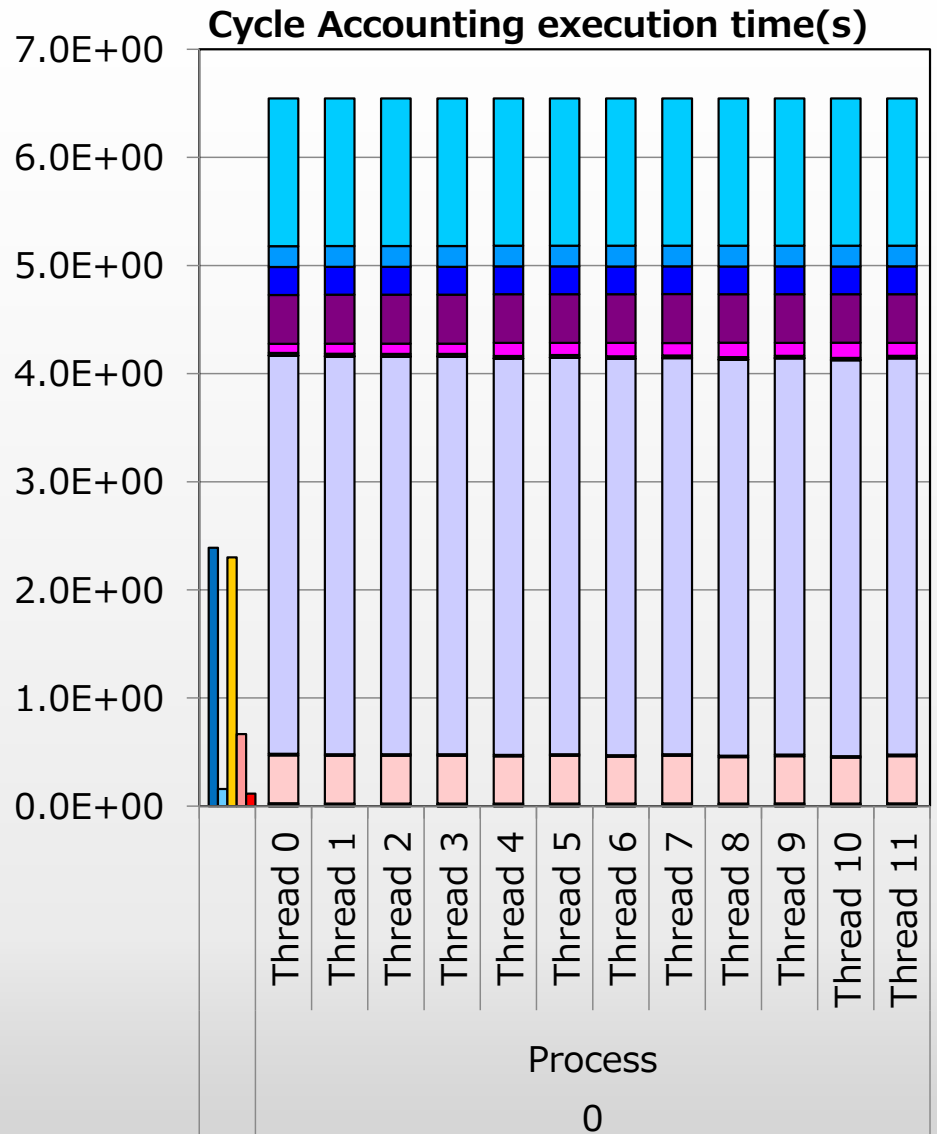
高速化結果



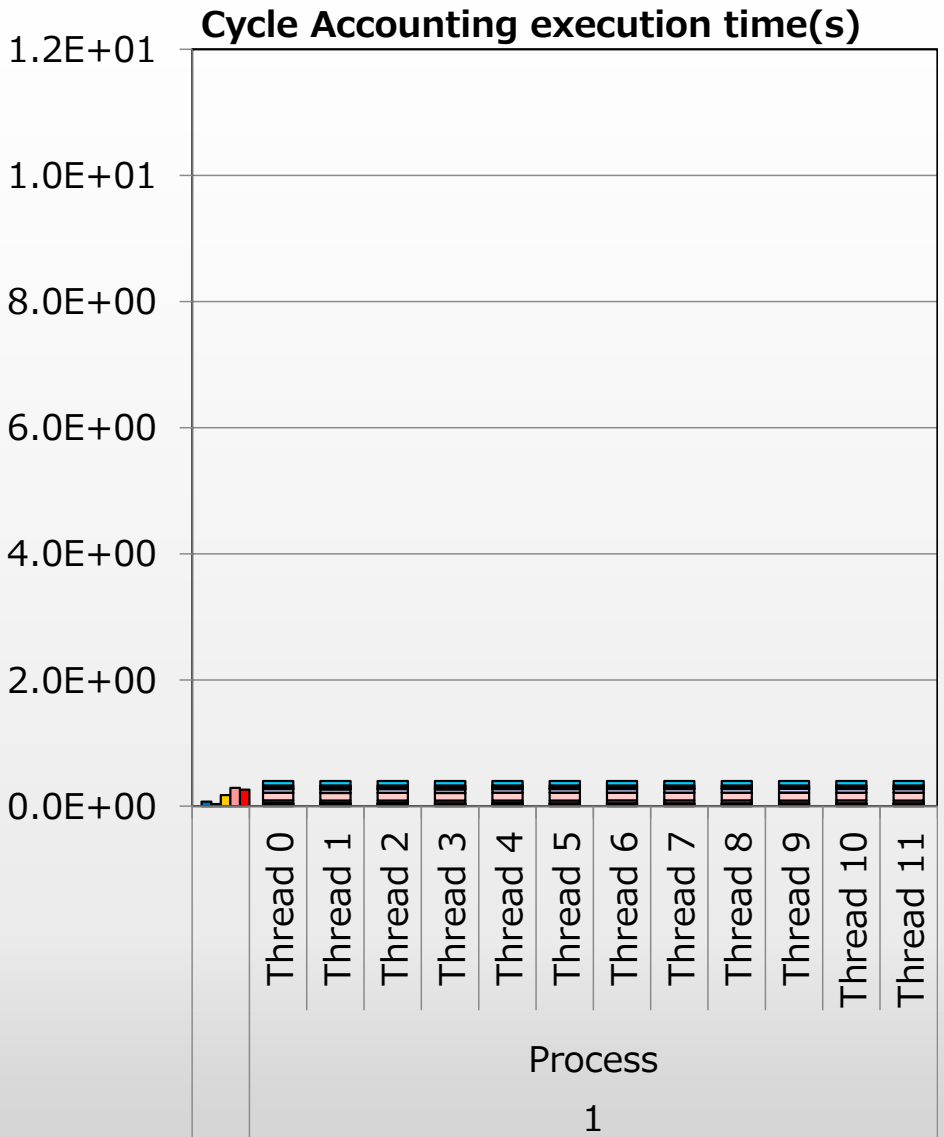
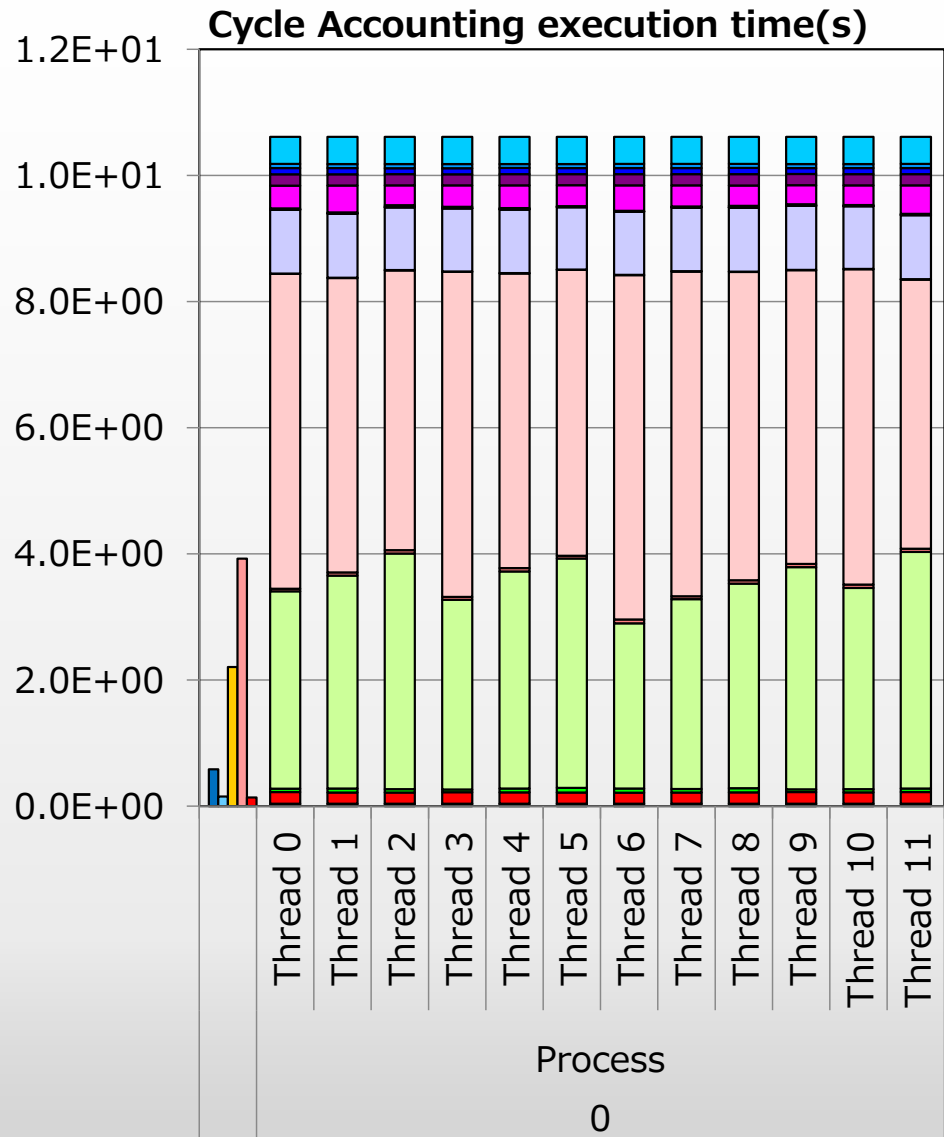
- 1ノード
- 4プロセス×12スレッド@CPU
- セル数:16.7M(20.1M)、 $64^3 \times 64$ ブロック、10GB
- 壁率:0.18[%]

ブロックサイズの最適化を実施

cflux(asis->tuned)



vflux(asis->tuned)



loop_fission_thresholdの影響

- `!ocl loop_fission_threshold(N)`
 - N:デフォルトは50
- パラスタ
 - N=30～54(連続的に)
 - ブロックサイズ:100～8,000(離散的に)
- 大きな影響はない?

	default(N=50)	cflux最速(N=34)	vflux最速(N=53)
cflux	2.136(166)	2.019(191)	-
vflux	0.3889(160)	-	0.3885(160)

A64FXシステムアプリ性能検討WG

ループ分割機能のAIについて

2022年8月23日

ミッションクリティカルシステム事業本部
UNIX&FXシステム事業部 FX言語ソフトウェア部
渡邊 雄二



- 高木先生

- コンパイラのループ分割を試したが、L2ビジーで思ったよりも性能が向上していない。
→AI：コンパイラのループ分割機能でL2ビジーを改善できるかどうか確認する。

コンパイラのループ分割機能

○ ループ分割機能の起動オプション

○ -Kloop_fission

- コンパイラのループ分割機能を起動する。
- -O2から誘導される。

○ 2つのループ分割機能

○ 位置指定分割

- *fission_point* 指示行で指定した分割位置でループを分割する機能
 - 多重ループの分割も可能

○ ループ指定分割

- *loop_fission_target* 指示行で指定したループをコンパイラが自動的に分割方法(分割数、分割位置)を判断して分割する機能
 - ループ間のデータ授受のための一時領域へのstore/loadを少なくしつつ、ソフトウェアパイプライン化できるように分割
 - 分割対象は最内ループのみ

位置指定分割機能の概要

- *fission_point*指示行を指定した位置でループを分割

```
do i = 1,n  
  x=a(i)+b(i)  
!ocl fission_point  
  c(i)=d(i)+x  
  e(i)=f(i)+x  
enddo
```

指示行の
位置で分割

```
do i = 1,n  
  tmp(i)=a(i)+b(i)  
enddo  
do i = 1,n  
  c(i)=d(i)+tmp(i)  
  e(i)=f(i)+tmp(i)  
enddo  
X=tmp(n)
```

- 指示行の仕様

- *!ocl fission_point[(n)]*

○ 内側からn番目までのループの分割を指示する。nの範囲は1～6、nを省略すると最内ループを分割(n=1)

```
do k = 1,n  
  do j = 1,n  
    do i = 1,n  
      a(i,j,k)=b(i,j,k)+c(i,j,k)  
!ocl fission_point(2)  
      d(i,j,k)=e(i,j,k)+f(i,j,k)  
    enddo  
  enddo  
enddo
```

内側から2つの
ループを分割

```
do k = 1,n  
  do j = 1,n  
    do i = 1,n  
      a(i,j,k)=b(i,j,k)+c(i,j,k)  
    enddo  
  enddo  
  do j = 1,n  
    do i = 1,n  
      d(i,j,k)=e(i,j,k)+f(i,j,k)  
    enddo  
  enddo  
enddo
```

- *loop_fission_target* 指示行で指定したループをコンパイラが自動的に分割方法(分割数、分割位置)を判断して分割

- ループ間のデータ授受のための一時領域への store/loadを少なくしつつ、ソフトウェアパイプライン化できるように分割
- 分割対象は最内ループのみ

○ 指示行の仕様

- *!ocl loop_fission_target[({cl|ls})]*

- 分割対象のループと自動分割のアルゴリズム(cl、ls)を指定する。省略時はcl(コンパイル時間を重視)

○ オプショナルな指示行

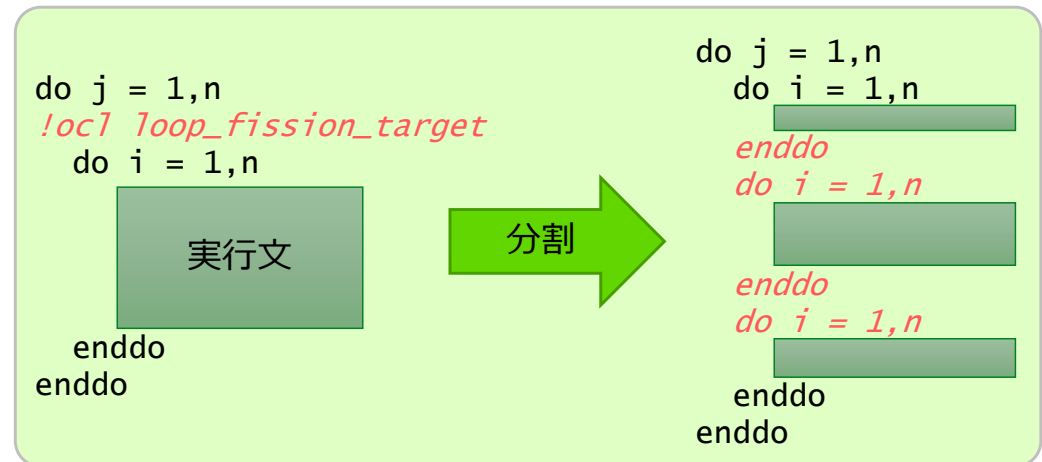
- *!ocl loop_fission_threshold(n)*

- 分割後のループの大きさを指定する。**省略値は50**。nの範囲は1～100で、大きくする程ループのボディが大きく分割数が少なくなる。

- *!ocl loop_fission_stripmining[({n|level})]*

* : キャッシュ溢れ改善のための最適化、ブロッキングの一種

- 一時領域によるキャッシュ溢れの削減のために分割対象ループにstripminig*を適用する。
levelにはキャッシュ溢れの削減対象のキャッシュを指定(l1またはl2)、nで最内ループの回転数の直接指定も可 (nの範囲は2～100,000,000)



JAXA 高木先生のプログラム

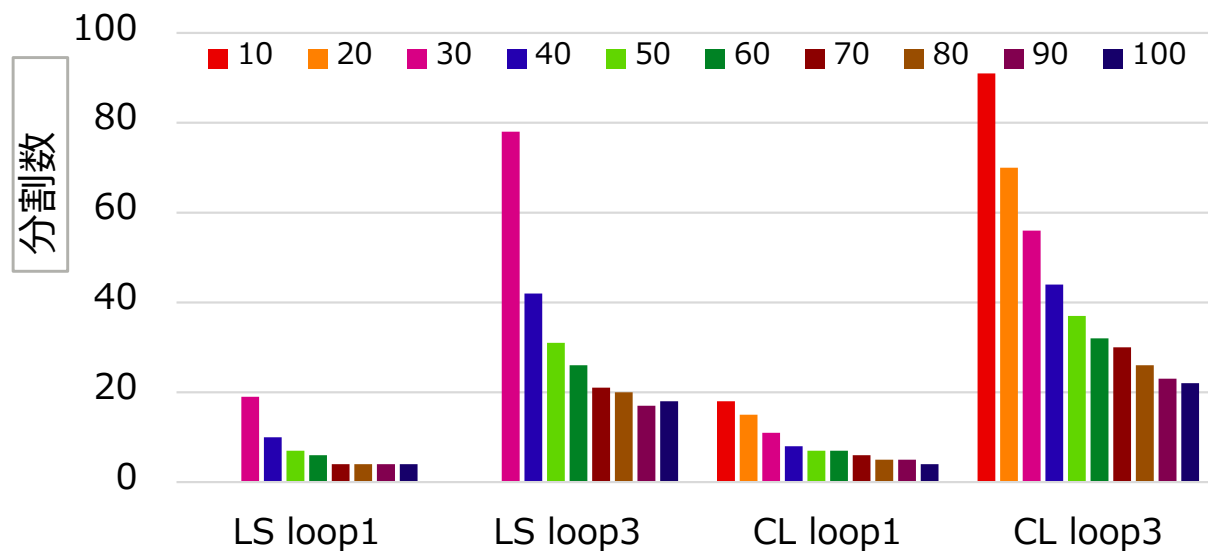
AI : コンパイラのループ分割機能でL2ビジーを改善できるかどうか確認する

ループ指定分割の状況：threshold値と分割数

FUJITSU

- ループのコストから右の2つのループを調査
- ループ指定分割による分割状況は以下の通り

対象ループ	分割アルゴリズム	分割状況										
		threshold値	10	20	30	40	50	60	70	80	90	100
Loop1 (58行)	LS	分割数	分割しない	分割しない	19	10	7	6	4	4	4	4
	CL	分割数	18	15	11	8	7	7	6	5	5	4
Loop3 (116行)	LS	分割数	分割しない	分割しない	78	42	31	26	21	20	17	18
	CL	分割数	91	70	56	44	37	32	30	26	23	22



threshold値と分割数

solverConflux.f90

```

Loop1:
772 !$omp do
773   do lb=lbsrt,lbend,lbsize
774     !ocl simd,swp
775     !!ocl swp_ireq_rate(200%)
776     !!ocl swp_freq_rate(200%)
777     !!ocl swp_preq_rate(200%)
778     !ocl loop_fission_target(LS)
779     !ocl
loop_fission_threshold(fissionTH_cflux)
780     !ocl prefetch_sequential(soft)
781     do l=lb,lb+lbsize-1
782       !
783 #include "cflux_dq.inc" !! 58行
784       !
785     enddo
786   enddo

..
Loop3:
801 !$omp do
802   do lb=lbsrt,lbend,lbsize
803     !ocl simd,swp
804     !!ocl swp_ireq_rate(200%)
805     !!ocl swp_freq_rate(200%)
806     !!ocl swp_preq_rate(200%)
807     !ocl loop_fission_target(LS)
808     !ocl
loop_fission_threshold(fissionTH_cflux)
809     !ocl prefetch_sequential(soft)
810     do l=lb,lb+lbsize-1
811       !
812 #include "cflux_kernel.inc" !! 116行
813       !
814     enddo
815   enddo

```

回転数200

回転数200

実行性能とL2ビジーの改善

FUJITSU

○ 実行性能

- デフォルト(threshold:50)ではCLの方が若干性能が良く、最速はCLのthreshold:90

アルゴリズム	分割無し	自動分割			
	CL	LS			
threshold	—	デフォルト (50)	90	デフォルト (50)	30
実行時間(秒)	6.20	4.85	4.73	4.96	4.84
性能比	1.00	1.28	1.31	1.25	1.28

PAの測定区間：
blk_rhsConFlux_tune
関数の呼び出し前後

○ L2ビジー改善

- ループ指定分割のstripmining機能でL2ビジーの改善を試行

- L1ミスが削減されL2ビジー率は減少したが、実行時間は増加
- 最内ループの回転数の減少によるソフトウェアパイプラインの効率低下とstripminingの制御に伴う実行命令数の増加が影響していると推測

アルゴリズム	threshold	stripmining	Execution time (s)	性能比	Effective instruction	Floating-point operation	L1 busy rate (%)	L2 busy rate (%)	L1D miss	L2 miss	ループ回転数 (SIMD化前)
CL	90	無し	4.73	1.00	9.36E+10	8.78E+10	31.39%	32.68%	1.03E+09	4.04E+08	200
		L1	4.96	0.95	1.07E+11	8.78E+10	29.76%	21.74%	7.22E+08	4.01E+08	32

Vlasov5d(プラズマ分布関数コード) 及びPIC2d(プラズマ粒子コード)の性能測定

➤ Vlasov5d: 5次元分布関数を扱うコード

- ・最内ループ長が短い(ex. $40^3 * 128^2 \sim 24\text{GB}$)
⇒ !OCL SWP_POLICY(SMALL)を指定
- ・FX100では、ソフトウェアパイプライン無し+ループアンローリングが有効だった
⇒ FX1000では、ソフトウェアパイプラインの積極活用がより有効
- ・!OCL SWP_FREG_RATE(r)により、浮動小数点レジスタ利用率を調整することで実効性能が15%まで向上 ⇒ ただし、調整は職人技

➤ PIC2d: 粒子が2次元格子内を自由に動き回る(particle-in-cell)コード、粒子の位置から電磁場格子へのデータアクセスがランダム

- ・粒子データをソートして連続的なメモリアクセスにする、また外側ループを格子、最内ループを粒子で回すことで、実効性能20%を達成
- ・最内ループの計算量が多く、コンパイラのソフトウェアパイプラインが効かない
⇒ 手動ループ分割により、実効性能30%を達成
- ・!OCL FISSION_POINTの挿入により、ソース改変が最小限でループ分割可能

事例) 外側ループのSIMD化

GF-based NN predictor kernel

- 周辺グリッドの情報をローカルな節点に畳み込む計算
- 節点に関する3重ループ（ループ長：長）の内部に周辺グリッドに関する3重ループ（ループ長：短）が含まれているシンプルな構造
- 精度は全て単精度
- 外側のk, jループに対して
OMP collapse(2)をかけ,
iループ方向にSIMD化をかけたい

```
nef=3
nd=3(コンパイル時既知)

do k=1+nef-1,nez+1-nef+1
do j=1+nef-1,ney+1-nef+1
do i=1+nef-1,nex+1-nef+1
    we1=wei(1,i,j,k)
    we2=wei(2,i,j,k)
    ...
    we8=wei(8,i,j,k)

    grs1=0.0
    grs2=0.0
    grs3=0.0
    do k1=1,nd*2+1
    do j1=1,nd*2+1
    do i1=1,nd*2+1
        rs1=rs(i1+i-nd-1,j1+j-nd-1,k1+k-nd-1,1)
        rs2=rs(i1+i-nd-1,j1+j-nd-1,k1+k-nd-1,2)
        rs3=rs(i1+i-nd-1,j1+j-nd-1,k1+k-nd-1,3)
        cocs1=cocs(i1,j1,k1,1)
        cocs2=cocs(i1,j1,k1,2)
        cocs3=cocs(i1,j1,k1,3)
        ww1=we1+we2*cocs1+we3*cocs2+we4*cocs3
        ww2=we5+we6*cocs1+we7*cocs2+we8*cocs3
        grs1=grs1+rs1*ww1*coe1s(i1,j1,k1,1)
        grs1=grs1+rs2*ww2*coe1s(i1,j1,k1,2)
        grs1=grs1+rs3*ww2*coe1s(i1,j1,k1,3)
        grs2=grs2+rs1*ww2*coe2s(i1,j1,k1,1)
        grs2=grs2+rs2*ww2*coe2s(i1,j1,k1,2)
        grs2=grs2+rs3*ww2*coe2s(i1,j1,k1,3)
        grs3=grs3+rs1*ww2*coe3s(i1,j1,k1,1)
        grs3=grs3+rs2*ww2*coe3s(i1,j1,k1,2)
        grs3=grs3+rs3*ww1*coe3s(i1,j1,k1,3)
    enddo
    enddo
    enddo

    zs(i,j,k,1)=grs1
    zs(i,j,k,2)=grs2
    zs(i,j,k,3)=grs3
    enddo
    enddo
    enddo
```

富士通コンパイラでの最適化

- 実行環境
 - PRIMEHPC FX700 @ 理化学研究所
 - プロセッサ名: A64FX
 - プロセッサ数: 1 (48)
 - 動作周波数: 2.2 GHz
 - 理論演算性能: 3.3792 TFLOPS (倍精度)
 - メモリバンド幅: 1024 GB/s
- コンパイラ
 - singularity shell /cloud_opt/singularity/x86_64/fx700xos_v1.1.0.s if
 - mpifrtpx frtpx (FRT) 4.2.0 20200615
- コンパイルオプション
 - -Klargepage -Kfast,openmp,ocl,parallel -Kautoobjstack,temparraystack -Kloop_nofission -Nfjompplib -Koptmsg=2 -V -Nlst=t
- 実行時環境変数
 - export OMP_NUM_THREADS=12 (x4 MPIプロセス)
 - export PARALLEL=12

```
!$OMP PARALLEL DO default(None), collapse(2)
do k=1+nef-1,nez+1-nef+1
do j=1+nef-1,ney+1-nef+1
!OCL NORECURRANCE
!OCL SIMD
do i=1+nef-1,nex+1-nef+1
    we1=wei(1,i,j,k)
    we2=wei(2,i,j,k)
    ...
    we8=wei(8,i,j,k)

    grs1=0.0
    grs2=0.0
    grs3=0.0
    do k1=1,nd*2+1
    do j1=1,nd*2+1
    do i1=1,nd*2+1
        rs1=rs(i1+i-nd-1,j1+j-nd-1,k1+k-nd-1,1)
        rs2=rs(i1+i-nd-1,j1+j-nd-1,k1+k-nd-1,2)
        rs3=rs(i1+i-nd-1,j1+j-nd-1,k1+k-nd-1,3)
        coxs1=coxs(i1,j1,k1,1)
        coxs2=coxs(i1,j1,k1,2)
        coxs3=coxs(i1,j1,k1,3)
        ww1=we1+we2*coxs1+we3*coxs2+we4*coxs3
        ww2=we5+we6*coxs1+we7*coxs2+we8*coxs3
        grs1=grs1+rs1*ww1*coe1s(i1,j1,k1,1)
        grs1=grs1+rs2*ww2*coe1s(i1,j1,k1,2)
        grs1=grs1+rs3*ww2*coe1s(i1,j1,k1,3)
        grs2=grs2+rs1*ww2*coe2s(i1,j1,k1,1)
        grs2=grs2+rs2*ww1*coe2s(i1,j1,k1,2)
        grs2=grs2+rs3*ww2*coe2s(i1,j1,k1,3)
        grs3=grs3+rs1*ww2*coe3s(i1,j1,k1,1)
        grs3=grs3+rs2*ww2*coe3s(i1,j1,k1,2)
        grs3=grs3+rs3*ww1*coe3s(i1,j1,k1,3)
    enddo
    enddo
    enddo

    zs(i,j,k,1)=grs1
    zs(i,j,k,2)=grs2
    zs(i,j,k,3)=grs3
enddo
enddo
enddo
!$OMP END PARALLEL DO
```

富士通コンパイラでの最適化レポート

- 実際にSIMD化がかかったのは内側のi1ループ
 - ループ長が7しかないので性能が出ず

.lstファイル

```

1023      !$OMP PARALLEL DO default(None), collapse(2)
1024      !$OMP& shared(nef,nez,ney,nex,wei,rs,zs,coefs,nnum,
1025      !$OMP& ns1,ns2,coefs,coefs),
1026      !$OMP& private(i,j,k,i1,is,k1,j1,iit,ww1,ww2,
1027      !$OMP&
grs1,grs2,grs3,itt,rs1,rs2,rs3,coocs1,coocs2,coocs3,
1028      !$OMP& we1,we2,we3,we4,we5,we6,we7,we8)
1029      1 p          do k1=nef-1,ney+1-nef+1
1030      2 p          do j1=nef-1,ney+1-nef+1
1031      2          !OCL NORECURRANCE
1032      2          !OCL SIMD
1033      3 p          do i1=1+nef-1,nex+1-nef+1
1034      3 p          we1=wei(1,i,j,k)
1035      3 p          we2=wei(2,i,j,k)
1036      3 p          we3=wei(3,i,j,k)
1037      3 p          we4=wei(4,i,j,k)
1038      3 p          we5=wei(5,i,j,k)
1039      3 p          we6=wei(6,i,j,k)
1040      3 p          we7=wei(7,i,j,k)
1041      3 p          we8=wei(8,i,j,k)
1042      3
1043      3 p          grs1=0.0
1044      3 p          grs2=0.0
1045      3 p          grs3=0.0

```

```

1047      5 p f      <<< Loop-information Start >>>
1047      5 p f      <<< [OPTIMIZATION]
1047      5 p f      <<< FULL UNROLLING
1047      5 p f      <<< Loop-information End >>>
1047      5 p f      do j1=1,nd*2+1
1047      5 p f      <<< Loop-information Start >>>
1047      5 p f      <<< [OPTIMIZATION]
1047      5 p f      <<< SIMD(VL: 8)
1047      5 p f      <<< Loop-information End >>>
1047      5 p f      do i1=1,nd*2+1
1047      5 p f      rs1=rs(i1+i-nd-1,j1+j-nd-1,k1+k-nd-1,1)
1048      6 p fv
1049      6 p fv
1050      6 p fv
1051      6 p fv
1052      6 p fv
1053      6 p fv
1054      6 p fv
1055      6 p fv
1056      6 p fv
1057      6 p fv
1058      6 p fv
1059      6 p fv
1060      6 p fv
1061      6 p fv
1062      6 p fv
1063      6 p fv
1064      6 p fv
1065      6 p fv
1066      6 p fv
1067      5 p f
1068      4 p
1069      3 p
1070      3 p
1071      3 p
1072      3 p
1073      2 p
1074      1 p
1075      !$OMP END PARALLEL DO
1076      end

      <<< Loop-information Start >>>
      <<< [OPTIMIZATION]
      <<< FULL UNROLLING
      <<< Loop-information End >>>
      do j1=1,nd*2+1
      <<< Loop-information Start >>>
      <<< [OPTIMIZATION]
      <<< SIMD(VL: 8)
      <<< Loop-information End >>>
      do i1=1,nd*2+1
      rs1=rs(i1+i-nd-1,j1+j-nd-1,k1+k-nd-1,1)
      rs2=rs(i1+i-nd-1,j1+j-nd-1,k1+k-nd-1,2)
      rs3=rs(i1+i-nd-1,j1+j-nd-1,k1+k-nd-1,3)
      coocs1=coocs(i1,j1,k1,1)
      coocs2=coocs(i1,j1,k1,2)
      coocs3=coocs(i1,j1,k1,3)
      ww1=we1+we2*coocs1+we3*coocs2+we4*coocs3
      ww2=we5+we6*coocs1+we7*coocs2+we8*coocs3
      grs1=grs1+rs1*ww1*coe1s(i1,j1,k1,1)
      grs1=grs1+rs2*ww2*coe1s(i1,j1,k1,2)
      grs1=grs1+rs3*ww3*coe1s(i1,j1,k1,3)
      grs2=grs2+rs1*ww2*coe2s(i1,j1,k1,1)
      grs2=grs2+rs2*ww2*coe2s(i1,j1,k1,2)
      grs2=grs2+rs3*ww2*coe2s(i1,j1,k1,3)
      grs3=grs3+rs1*ww2*coe3s(i1,j1,k1,1)
      grs3=grs3+rs2*ww2*coe3s(i1,j1,k1,2)
      grs3=grs3+rs3*ww2*coe3s(i1,j1,k1,3)
      grs1=grs1+rs1*ww1*coe1s(i1,j1,k1,1)
      grs1=grs1+rs2*ww2*coe1s(i1,j1,k1,2)
      grs1=grs1+rs3*ww3*coe1s(i1,j1,k1,3)
      grs2=grs2+rs1*ww2*coe2s(i1,j1,k1,1)
      grs2=grs2+rs2*ww2*coe2s(i1,j1,k1,2)
      grs2=grs2+rs3*ww2*coe2s(i1,j1,k1,3)
      grs3=grs3+rs1*ww2*coe3s(i1,j1,k1,1)
      grs3=grs3+rs2*ww2*coe3s(i1,j1,k1,2)
      grs3=grs3+rs3*ww2*coe3s(i1,j1,k1,3)
      grs1=grs1+rs1*ww1*coe1s(i1,j1,k1,1)
      grs1=grs1+rs2*ww2*coe1s(i1,j1,k1,2)
      grs1=grs1+rs3*ww3*coe1s(i1,j1,k1,3)
      grs2=grs2+rs1*ww2*coe2s(i1,j1,k1,1)
      grs2=grs2+rs2*ww2*coe2s(i1,j1,k1,2)
      grs2=grs2+rs3*ww2*coe2s(i1,j1,k1,3)
      grs3=grs3+rs1*ww2*coe3s(i1,j1,k1,1)
      grs3=grs3+rs2*ww2*coe3s(i1,j1,k1,2)
      grs3=grs3+rs3*ww2*coe3s(i1,j1,k1,3)
      enddo
      enddo
      enddo
      zs(i,j,k,1)=grs1
      zs(i,j,k,2)=grs2
      zs(i,j,k,3)=grs3
      enddo
      enddo
      enddo
      !$OMP END PARALLEL DO
      end

```

```

!$OMP PARALLEL DO default(None), collapse(2)
do k1=1+nef-1,ney+1-nef+1
do j1=1+nef-1,ney+1-nef+1
!OCL NORECURRANCE
!OCL SIMD
do i1=1+nef-1,nex+1-nef+1
we1=wei(1,i,j,k)
we2=wei(2,i,j,k)
...
we8=wei(8,i,j,k)

grs1=0.0
grs2=0.0
grs3=0.0
do k1=1,nd*2+1
do j1=1,nd*2+1
do i1=1,nd*2+1
rs1=rs(i1+i-nd-1,j1+j-nd-1,k1+k-nd-1,1)
rs2=rs(i1+i-nd-1,j1+j-nd-1,k1+k-nd-1,2)
rs3=rs(i1+i-nd-1,j1+j-nd-1,k1+k-nd-1,3)
coocs1=coocs(i1,j1,k1,1)
coocs2=coocs(i1,j1,k1,2)
coocs3=coocs(i1,j1,k1,3)
ww1=we1+we2*coocs1+we3*coocs2+we4*coocs3
ww2=we5+we6*coocs1+we7*coocs2+we8*coocs3
grs1=grs1+rs1*ww1*coe1s(i1,j1,k1,1)
grs1=grs1+rs2*ww2*coe1s(i1,j1,k1,2)
grs1=grs1+rs3*ww3*coe1s(i1,j1,k1,3)
grs2=grs2+rs1*ww2*coe2s(i1,j1,k1,1)
grs2=grs2+rs2*ww2*coe2s(i1,j1,k1,2)
grs2=grs2+rs3*ww2*coe2s(i1,j1,k1,3)
grs3=grs3+rs1*ww2*coe3s(i1,j1,k1,1)
grs3=grs3+rs2*ww2*coe3s(i1,j1,k1,2)
grs3=grs3+rs3*ww2*coe3s(i1,j1,k1,3)
grs1=grs1+rs1*ww1*coe1s(i1,j1,k1,1)
grs1=grs1+rs2*ww2*coe1s(i1,j1,k1,2)
grs1=grs1+rs3*ww3*coe1s(i1,j1,k1,3)
grs2=grs2+rs1*ww2*coe2s(i1,j1,k1,1)
grs2=grs2+rs2*ww2*coe2s(i1,j1,k1,2)
grs2=grs2+rs3*ww2*coe2s(i1,j1,k1,3)
grs3=grs3+rs1*ww2*coe3s(i1,j1,k1,1)
grs3=grs3+rs2*ww2*coe3s(i1,j1,k1,2)
grs3=grs3+rs3*ww2*coe3s(i1,j1,k1,3)
grs1=grs1+rs1*ww1*coe1s(i1,j1,k1,1)
grs1=grs1+rs2*ww2*coe1s(i1,j1,k1,2)
grs1=grs1+rs3*ww3*coe1s(i1,j1,k1,3)
grs2=grs2+rs1*ww2*coe2s(i1,j1,k1,1)
grs2=grs2+rs2*ww2*coe2s(i1,j1,k1,2)
grs2=grs2+rs3*ww2*coe2s(i1,j1,k1,3)
grs3=grs3+rs1*ww2*coe3s(i1,j1,k1,1)
grs3=grs3+rs2*ww2*coe3s(i1,j1,k1,2)
grs3=grs3+rs3*ww2*coe3s(i1,j1,k1,3)
enddo
enddo
enddo
zs(i,j,k,1)=grs1
zs(i,j,k,2)=grs2
zs(i,j,k,3)=grs3
enddo
enddo
enddo
!$OMP END PARALLEL DO

```

Arm C Language Extensions (ACLE)での実装

• Intrinsic (ACLE)での記述により手動でSIMD化

```
#pragma omp parallel for collapse(3)
for (k = 1+nef-1 - 1; k < nez+1-nef+1; ++k) {
    for (j = 1+nef-1 - 1; j < ney+1-nef+1; ++j) {
        for (i = 1+nef-1 - 1; i < nex+1-nef+1; i += 32) {
            pred1 = svwhilelt_b32_s32(i, nex+1-nef+1);
            pred2 = svwhilelt_b32_s32(i+16, nex+1-nef+1);

            we1_v1 = svld1_f32(pred1, wei + (nex+1)*(ney+1)*(nez+1)*0 + (nex+1)*(ney+1)*k + (nex+1)*j + i);
            we2_v1 = svld1_f32(pred1, wei + (nex+1)*(ney+1)*(nez+1)*1 + (nex+1)*(ney+1)*k + (nex+1)*j + i);
            ...
            we8_v1 = svld1_f32(pred1, wei + (nex+1)*(ney+1)*(nez+1)*7 + (nex+1)*(ney+1)*k + (nex+1)*j + i);
            we1_v2 = svld1_f32(pred2, wei + (nex+1)*(ney+1)*(nez+1)*0 + (nex+1)*(ney+1)*k + (nex+1)*j + i+16);
            we2_v2 = svld1_f32(pred2, wei + (nex+1)*(ney+1)*(nez+1)*1 + (nex+1)*(ney+1)*k + (nex+1)*j + i+16);
            ...
            we8_v2 = svld1_f32(pred2, wei + (nex+1)*(ney+1)*(nez+1)*7 + (nex+1)*(ney+1)*k + (nex+1)*j + i+16);
            ...
        }
    }
}
```

	Elapsed time (s)	TFLOPS	Peak to FP64
i1ループをSIMD化 (コンパイラによる 自動並列化)	0.3452	$0.07 \times 4 = 0.28$	8.3%
iループをSIMD化 (ACLE)	0.0598	$0.42 \times 4 = 1.68$	49.7%

• 最内ループ以外のループのSIMD化で約5.8倍の高速化

```
!$OMP PARALLEL DO default(None), collapse(2)
do k=1+nef-1,nez+1-nef+1
do j=1+nef-1,ney+1-nef+1
!OCL NORECURRANCE
!OCL SIMD
do i=1+nef-1,nex+1-nef+1
    we1=wei(1,i,j,k)
    we2=wei(2,i,j,k)
    ...
    we8=wei(8,i,j,k)

    grs1=0.0
    grs2=0.0
    grs3=0.0
    do k1=1,nd*2+1
    ...
    do j1=1,nd*2+1
    do i1=1,nd*2+1
        rs1=rs(i1+i-nd-1,j1+j-nd-1,k1+k-nd-1,1)
        rs2=rs(i1+i-nd-1,j1+j-nd-1,k1+k-nd-1,2)
        rs3=rs(i1+i-nd-1,j1+j-nd-1,k1+k-nd-1,3)
        cocs1=cocs(i1,j1,k1,1)
        cocs2=cocs(i1,j1,k1,2)
        cocs3=cocs(i1,j1,k1,3)
        ww1=we1+we2*coes1+we3*coes2+we4*coes3
        ww2=we5+we6*coes1+we7*coes2+we8*coes3
        grs1=grs1+rs1*ww1*coe1s(i1,j1,k1,1)
        grs1=grs1+rs2*ww2*coe1s(i1,j1,k1,2)
        grs1=grs1+rs3*ww3*coe1s(i1,j1,k1,3)
        grs2=grs2+rs1*ww1*coe2s(i1,j1,k1,1)
        grs2=grs2+rs2*ww2*coe2s(i1,j1,k1,2)
        grs2=grs2+rs3*ww3*coe2s(i1,j1,k1,3)
        grs3=grs3+rs1*ww1*coe3s(i1,j1,k1,1)
        grs3=grs3+rs2*ww2*coe3s(i1,j1,k1,2)
        grs3=grs3+rs3*ww3*coe3s(i1,j1,k1,3)
    enddo
    enddo
    enddo

    zs(i,j,k,1)=grs1
    zs(i,j,k,2)=grs2
    zs(i,j,k,3)=grs3
    enddo
    enddo
    enddo
!$OMP END PARALLEL DO
```

A64FXシステムアプリ性能検討WG

東大）藤田先生のリゾルバー の性能問題について

2022年02月24日, 2022年06月14日(追加報告)

ミッションクリティカルシステム事業本部

UNIX&FXシステム事業部 FX言語ソフトウェア部



- GF-based NN predictor

- カーネルは外側のdo k, do j, do i のループと、内側のdo k1, do j1, do i1 からなる6重ループ
 - 外側 k, j ループに対して OMP collapse(2)をかけ、iループ方向にSIMD化をしたい。

- 富士通コンパイラの最適化レポート

- 最内ループ'i1'でSIMD化したがループ長7のため性能が出ず

- ACLE(intrinsic)の記述により手動でSIMD化(iのloop)

- As is 対して 約5.8倍の高速化

- Intelコンパイラでの最適化

- 狹い通りに !DIR\$ SIMDでのループ'I' でSIMD化

- 富士通コンパイラで'I'のループでSIMD化したい。

```
19 !$OMP PARALLEL DO default(none),collapse(2)
20 !$OMP& shared(nef,nez,ney,nex,nd,wei,rs,zs,cozs,
21 !$OMP& coe1s,coe2s,coe3s),
22 !$OMP& private(i,j,k,i1,j1,k1,ww1,ww2)
23 !$OMP&
grs1,grs2,grs3,rs1,rs2,rs3,cozs1,cozs2,cozs3,
24 !$OMP& we1,we2,we3,we4,we5,we6,we7,we8)
25   do k=1+nef-1,nez+1-nef+1
26   do j=1+nef-1,ney+1-nef+1
27 !!OCL NORECURRANCE
28 !!OCL SIMD
29   do i=1+nef-1,nex+1-nef+1
30     we1=wei(1,i,j,k)
... (略) ...
38 c
39   grs1=0.0
40   grs2=0.0
41   grs3=0.0
42 !!OCL NOSIMD
43 !!OCL UNROLL('full')
44   do k1=1,nd*2+1
45 !!OCL NOSIMD
46 !!OCL UNROLL('full')
47   do j1=1,nd*2+1
48 !!OCL SIMD
49 !!OCL UNROLL('full')
50   do i1=1,nd*2+1
51     rs1=rs(i1+i-nd-1,j1+j-nd-1,k1+k-nd-1,1)
```

○【課題】 多重ループの外側でSIMD化したい

```
do i=1,n  
  we1=wei(1,i)  
  we2=wei(2,i)  
  s = 0.0  
  do k1=1,nd*2+1  
    do j1=1,nd*2+1  
      do i1=1,nd*2+1  
        rs1=rs(i1+i-nd-1,j1-nd-1,k1-nd-1)  
        s=s+rs1*we1+we2*cocs(i1,j1,k1)  
      end do  
    end do  
  end do  
  zs(i)=s  
end do
```

問題を縮小化した例

解析の範囲とはしている。

【阻害原因】 富士通のSIMD化機能は最内のループを対象としているためSIMDできません。

OpenMP SIMDも同様です。SIMD化の解析処理では、上記のk1,j1,i1のループを一重化やループ交換を目的としてSIMD化の解析対象としています。

しかしながら、最終的に最内を対象としているためSIMD化できません。

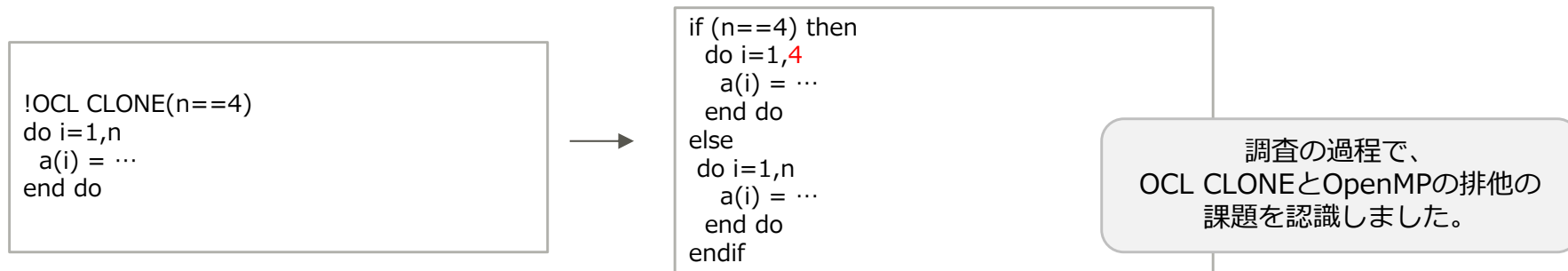
外側ループのSIMD化については、規模の大きい新規開発となるため、今のところ改善の計画はありません。

外側SIMD以外のチューニングの結果

- ループ長が短い場合の対処として以下が考えられます

- !OCL CLONE ($n==$ 定数) を活用

- ループの回転数に偏りがあり回転数が少ない場合に、専用のループを作成します。



- !OCL ITERATIONS(max=m, min=m, avg=a)の活用

- ループ回転数のmax/min/avgを指定します。
ループのunrollingやsoftware pipeliningの重ね具合を調整します。

- !OCL SIMD_NOREDUNDUNT_VLの活用

- 例えば回転数が9であり、SIMD長が8の時に1回転分が余ります。
その部分がSIMD化されると遅くなります。
 - この場合に、余りループのSIMD化を抑止します。

性能改善の結果

FUJITSU

- ループの回転数を単純に定数に置換

試行	経過時間	性能差	備考
基本オリジナル性能	1.288s	-	5回測定
ソースで変数ndを4で置換	0.941s	1.368倍	
上記+内側3重ループをfull-unroll	4.953s	0.26倍	SIMDできず遅い(レジスタ不足)
上記+内側2重ループをfull-unroll	4.275s	0.3倍	SIMDはできたが遅い(レジスタ不足)

- OpenMPとの組み合わせでOCL_CLONEが適応できなかつたので、可能性としての評価をソース書換で実施

試行	経過時間	性能差	
ソースで関数全体でclone	0.938s	1.372倍	
ソースでSIMD範囲だけでclone	0.971s	1.325倍	

- その他のOCLの適用

試行	経過時間	性能差	
ocl iterations(avg=9)	1.287s	0.999倍	
ocl iterations(max=9)	1.211s	1.06倍	少し効果あり
ocl simd_noredunduntant_vl	2.651s	0.49倍	劣化

○ 結論

- コンパイラオプションやOCLでの改善は最大で1.3倍程度の見込みに留まり、先生の作成されたACLE(intrinsic)版の効果の約5.8倍には大きく及びませんでした。
- OpenMPと!OCL_CLONEの課題を認識しました。

事例) AI計算の高速化



AI計算の高速化

昔のChainerとconvolution性能の評価

R-CCS 運用技術部門 ソフトウェア開発技術ユニット 黒田明義
2022年(令和4年)2月24日(木)

富岳に向けてのChainerの高速化

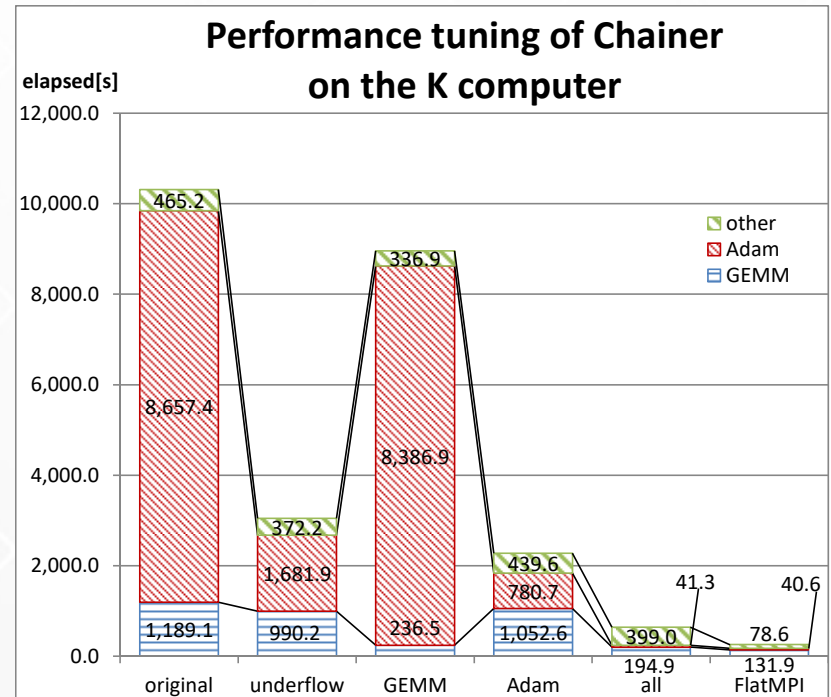
富岳に向けてのChainerの高速化

- 背景

- 2014年から行なわれてきたFS2020富岳開発プロジェクトで扱ってきた9本のターゲットアプリに加え、**2018年の理研改組を機に、富岳の汎用CPU特性を生かした大規模AI計算の実現**を目指して、（当時の南ユニットにて）調査並びにインポート、チューニングが行なわれた。
- **TensorFlowはbazel**による構築が必要で、「京」での導入は困難を極めたが、**Chainer**は依存するライブラリが少なく、Pythonのsetup.pyを使って比較的容易に導入できた。

- 「京」/FX100でのMNIST問題の高速化

- 主にChainerを用いて性能チューニングを行い、CPUでのAI計算での実行や高速化の問題点を洗い出した。
- 専用の高速化ライブラリ（DNNL）を持たない「京」のCPUでは、**numpyの高速化が鍵**であり、**SSL2数値ライブラリの結合は必要**であった。でないとOpenBLASで動作する（青色）。
- **optimizer処理の1/sqrt計算**にて、**SWPL**がきかず**浮動小数点アンダーフロー**の対応が必要であった。これらのnumpy処理をまとめて**Fortranにおきかえて高速化**した（赤色）。
- PythonによるNN処理ルーチン特有の**スレッド非並列をMPIによるプロセス分割**を行い高速化できた。しかし分散並列のこの手法はメモリ使用量が増えるため万能ではない（緑色）。
- 「京」で**36.4倍**、**ピーク比で35.9%**にまで高速化され、富岳でもAI計算を十分できる見込みが立った。



富岳に向けてのChainerの高速化

● 富岳でのResnet-50性能

- 関連する様々なマシン環境にてDeep Learningのフレームワーク性能を評価し、性能阻害要因を調べ、高速化の可能性や指針を調査した。
- FX100では、numpy GEMM処理でOpenBLASさえもインポートされず、最終的に1000倍もの高速化率を達成、富岳ではResnet-50性能で66ipsを達成し、ピーク性能比でVoltaに匹敵する性能を実現した。
- 現在、富士通研が開発したDNN高速化ライブラリ(MKL DNN/oneDNN)を組み込んだPyTorch/TensorFlowにて、110ipsを達しており、富岳並びにFX1000で使えるようになっている。

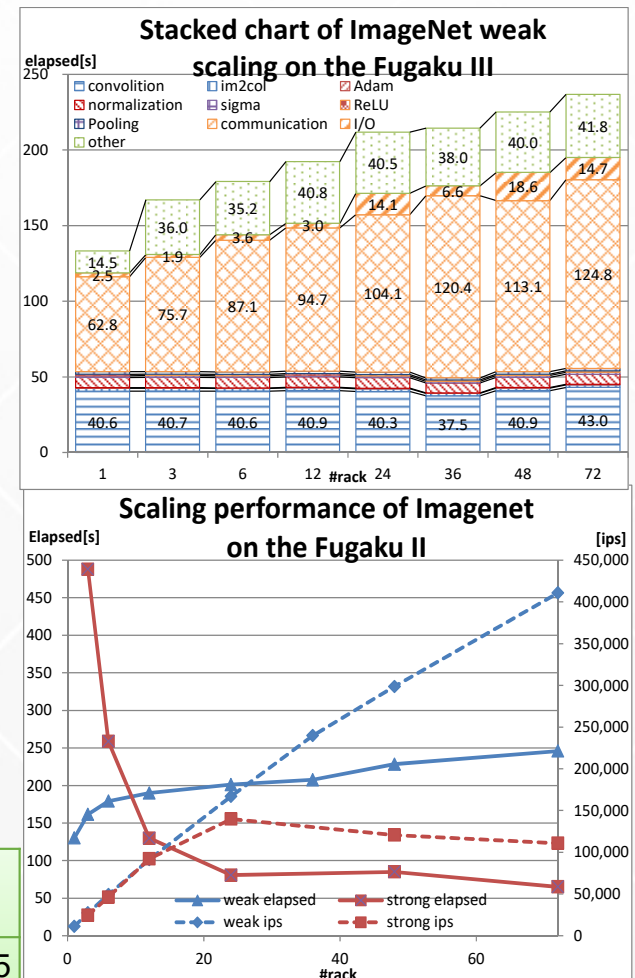
Performance of Chainer			ASIS	TUNED		
system name	unit	model	elapsed	elapsed	peak ratio	speedup rate
K computer	CPU	MNIST	10,300.0 [s]	283.4 [s]	35.9%	36.4 x
FX100	CPU	MNIST	49,200.0 [s]	47.8 [s]	13.5%	1030.0 x
ThunderX2	CORE	MNIST	5,340.0 [s]	1,100.0 [s]	35.7%	4.8 x
			performance	performance	peak ratio	speedup rate
ThunderX2	CORE	Resnet-50		0.75 [ips]	54.4%	
ThunderX2	CPU	Resnet-50		11.95 [ips]	31.0%	
Fugaku	CPU	Resnet-50	16.30 [ips]	* 55.20 [ips]	22.6%	3.4 x
Appollo70+Volta	GPU x2	Resnet-50		471.90 [ips]	39.2%	
			* estimation: 44.7-63.6 [ips]			

富岳に向けてのChainerの高速化

● おまけ

- 「Deep Learningの並列性能の調査
 - Chainerを用い、「富岳」での学習の並列性能を調査した。
 - Weak Scalingな問題に対して、演算時間(右上図：青赤)はスケールすることが分かった。
 - しかし、高並列で通信やI/O(右上図：オレンジ)がネックになる。特に多ファイルから構成されるPython libraryのimportがMDSアクセス集中を生み出し、問題となることが分かった。
 - LLIOが使えない「富岳」の開発段階にて、BIOを利用したステージングを提案し、このアクセス集中を回避できることが分かり、72rack規模までは拡張可能であることを初めて示した。
 - この手法は、現在、「富岳」の共用前評価環境での標準的な利用方法として提供された。
- 大規模実問題ベンチマークMLPerf HPC性能
 - MLPerf HPCの評価・計測を実施した。主要演算の高速化には富士通研が開発した高速化ライブラリoneDNNを用いている。
 - I/O関係では、BIO上の/tmpやLLIOに変わり、BoB単位で共有できるSSD領域の利用を提案・導入し、ステージング時間を1/10程度まで削減した。
 - 通信関係では、BoB内データ共有のモデル並列に対し、BoB内隣接通信と全体の集団通信を同時に最適化するランク配置を提案・作製し測定に用いた。
 - 3次元画像解析問題のCosmoFlowにて、ABCIには及ばなかったものの2位の性能を達成し、CPUとしての単体性能並びに並列性能の両面で他を凌駕がし、日本がHPCでのAIを牽引していることを示した。「富岳」での16,384並列の並列性能を示したことは内外にその存在価値をアピールできたといえる。

MLPerf HPC			frequency (GHz)	performance	top performance	difference (magnification)
benchmark	division	#nodes				
CosmoFlow	closed	512	2.2	228.77 min	34.42 min	0.15
CosmoFlow	closed	8192	2.2	101.49 min		0.34
CosmoFlow	open	16384	2.2	30.07 min	13.21 min	0.44



まとめ

- **numpy sqrtの問題から**

- 本来sqrt計算は、富岳は**京ほどではないにせよ得意**なはずである。
- 「京」ほどではないの意味は、**演算レイテンシの増加**により、レジスタ(OoO資源も)不足によるSWPLがうまくいかず、演算を隠せなくなっている**HWの仕様**によるものであり反省すべきである。
- コンパイラの問題としては、難しいのは承知していますが、もっと**指示子の権限を強くする方法**が欲しい。norecurrenceを入れてもポインタでループを回すとSIMD化やSWPL、スレッド並列はきかない。
- しかし一番の問題は、**ユーザがOSSをブラックボックスとして使用**していることであり、**ユーザの意識向上やOSSの高速化をどうするか**が大きな課題になる。

- **convolution性能について**

- CPUでも効率的には**GPUに劣らないことが分った**。
- cuDNNなどの高速化ライブラリでは**どのアルゴリズムでも最終的に小さなGEMMの処理に帰着**していた。
- 但し、SIMD長が大きくなってしまったシステムでは**一般の方法(GEMM+前処理)**では効率は出ない。**Pythonではスレッド並列ちゃんと書かないと難しい**。
- CPUではGPU単体と比べてピーク性能が低い分、**並列化でカバーする必要があるが、(Python moduleと学習データの)I/O(と通信)がネックになりスケールしにくい**。
- また精度の問題から全体のbatch sizeは大きくすることができず、**モデル並列が必要**になる。

その他の実施事項

- AI計算の高速化
 - 富岳に向けてのChainerの高速化
 - NumPy sqrtの問題
 - convolution性能
- OpenMP TASK構文による通信・演算オーバーラップの検討
- GPUに対する性能評価
- C++最適化に関する性能評価
- 低B/Fアーキテクチャ向けの三重対角行列解法
- 混合精度演算と消費電力を考慮した自動チューニング

発表内容

- A64FXシステムアプリ性能検討WGのご紹介
- 活動事例
- おわりに

おわりに

- ・「A64FXシステムアプリ性能検討WG」では、ユーザのプログラムを持ち込み問題を提起し、富士通コンパイラGに課題解析を依頼
- ・成功事例
 - ・適するコンパイラオプションの提案
 - ・SIMD化促進のための技法提案
 - ・OCL指示子、スカラ化などの書き方、等
 - ・ループ分割支援
 - ・自動ループ分割機能、ループ分割の指定
- ・今後の課題
 - ・さらなるループ分割の自動化
 - ・SIMD化の対象拡大
 - ・最外ループのSIMD化をする機能
 - ・C++の最適化機能向上
 - ・GNU等の一般的なコンパイラが実現しているインライン関数や条件分岐文の最適化が機能せず、手動による関数のインライン化やマスク処理が必要、など

など